

COLLEGE DE FRANCE

COURS DE PHYSIQUE  
ATOMIQUE ET MOLECULAIRE

---

CLAUDE COHEN-TANNOUDJI

ANNEES SCOLAIRES

1987-1988

TABLE DES MATIERES

<u>INTRODUCTION GENERALE</u>	I-1
A- Résumé du cours 1986-87	I-1
B- Objet du cours 1987-88	I-8
<u>APPENDICE A</u>	App-1
A- Formulaire sur l'électrodynamique en jauge de Coulomb	App-1
<u>ELECTRODYNAMIQUE QUANTIQUE EN JAUGE DE COULOMB</u>	
<u>PHOTONS REELS ET PHOTONS VIRTUELS</u>	II-1
1- Amplitude de transition en électrodynamique quantique	II-1
2- Exemples de processus physiques	II-3
3- Exemples d'effets physiques associés à des photons virtuels	II-4
<u>LA TRANSFORMATION DE PAULI-FIERZ</u>	III-1
1- Champ transverse "lié" à une particule classique	III-1
2- Détermination de la transformation de Pauli-Fierz pour une particule quantique localisée	III-4
3- Transformation de quelques observables	III-6
4- Etude du nouvel hamiltonien	IV-1
5- Généralisation à 2 particules localisées	IV-5
<u>ETUDE DE QUELQUES APPLICATIONS DE LA TRANSFORMATION DE PAULI-FIERZ</u>	V-1
1- Rayonnement de freinage d'une charge $q_\alpha$ dans un potentiel extérieur $V_e$ ("Bremsstrahlung")	V-1

2- Corrections radiatives à la diffusion par un potentiel $V_e$	V-6
3- La "catastrophe infrarouge". Etude à l'ordre le plus bas en $q_\alpha$	V-7
4- La "catastrophe infrarouge". Etude à tous les ordres en $q_\alpha$	VI-1

DIFFUSION PAR UN POTENTIEL EN PRESENCE

<u>D'UN RAYONNEMENT LASER</u>	VII-1
1- Champ laser décrit comme un champ extérieur	VII-1
2- Description quantique du champ laser	VII-4
3- Exemple de résultats expérimentaux	VII-8

CALCUL NON RELATIVISTE DU DEPLACEMENT DE LAMB

1- Points de vue utilisés - Hamiltoniens	VIII-1
2- Point de vue de Coulomb	VIII-3
3- Point de vue de Pauli-Fierz	VIII-4
4- Point de vue de Göppert-Mayer	VIII-7

GENERALISATIONS DE LA TRANSFORMATION DE

PAULI-FIERZ IX-1

1- Généralisation à une particule sans spin non localisée	IX-1
2- Généralisation à des particules avec spin. Modèle simple se spins situés en des points fixes	X-1
3- Généralisation à des particules avec spin non localisées. Principe du calcul et quelques résultats	X-5

ERRATUM

dernière page

# Introduction générale

I - 1

## Résumé du cours 1986-87

Le cours de l'année 1986-1987 est le premier d'une série de deux cours consacrés à l'étude de « diverses formulations équivalentes de l'électrodynamique quantique ». Le but poursuivi est de préciser les motivations qui sont à l'origine de ces formulations, de comparer leurs avantages et inconvénients respectifs et d'analyser les éclairages physiques nouveaux qu'elles donnent sur les processus d'interaction entre matière et rayonnement.

### *Introduction générale*

Le cours commence par des rappels généraux sur l'électrodynamique quantique. Les variables dynamiques décrivant l'état des deux systèmes en interaction, le champ électromagnétique d'une part, les particules chargées de l'autre, sont précisées. Une attention particulière est portée à l'identification des degrés de liberté réellement indépendants du champ. On montre en particulier que le champ électrique longitudinal n'est pas une variable indépendante dans la mesure où il peut être réexprimé en fonction des coordonnées des particules. L'approche lagrangienne et hamiltonienne est également présentée, ce qui permet d'introduire la notion de lagrangiens équivalents.

### *Le lagrangien standard*

Le lagrangien le plus couramment utilisé en électrodynamique classique est le « lagrangien standard » dont l'expression est donnée ainsi que la décomposition en un lagrangien des particules, un lagrangien du rayonnement et un lagrangien d'interaction. Après avoir vérifié que les équations de Lagrange associées à un tel lagrangien coïncident bien avec les équations de Maxwell pour les champs et les équations de Newton-Lorentz pour les particules, on étudie les symétries de ce lagrangien, et notamment son invariance relativiste et son invariance de jauge.

Les difficultés du lagrangien standard tiennent au fait qu'il ne contient pas la dérivée temporelle du potentiel scalaire. Le moment conjugué du potentiel scalaire est donc nul, ce qui rend impossible l'application de la procédure de quantification canonique consistant à associer au couple formé par une variable dynamique et son moment conjugué deux opérateurs dont le commutateur vaut  $i\hbar$ . On expose alors deux solutions possibles à une telle difficulté.

### *Electrodynamique quantique en jauge de Coulomb*

La première solution consiste à éliminer le potentiel scalaire  $U$  du lagrangien au moyen de l'équation de Lagrange relative à  $U$ , équation qui permet d'exprimer  $U$  en fonction des autres variables dynamiques du champ et des particules. On trouve alors que, dans le nouveau lagrangien ainsi obtenu, le potentiel vecteur longitudinal  $\vec{A}_\parallel$  n'apparaît que dans une dérivée totale et peut donc être choisi arbitrairement sans que la dynamique du système global ne soit changée. Le choix le plus simple consiste à prendre  $\vec{A}_\parallel$  nul, c'est-à-dire à choisir la jauge de Coulomb. Un autre avantage de ce choix est de faire apparaître l'interaction de Coulomb entre particules, qui est prépondérante à basse énergie, dans le lagrangien des particules.

A partir du lagrangien en jauge de Coulomb, il est facile d'obtenir les moments conjugués des diverses variables du champ et des particules, puis d'en déduire l'expression de l'hamiltonien du système global ainsi que celle des diverses grandeurs physiques importantes. La forme simple des équations de Hamilton-Jacobi satisfaites par les coordonnées du champ et leurs moments conjugués suggère également d'introduire des combinaisons linéaires de ces grandeurs qui possèdent la propriété importante d'évoluer indépendamment les unes des autres en l'absence de sources. Ce sont les variables normales du champ qui sont associées aux modes normaux de vibration du champ libre et qui deviennent, lors de la quantification canonique de la théorie, les opérateurs de création et d'annihilation de photons.

#### *Formulation covariante*

Une autre solution pour résoudre les difficultés liées au lagrangien standard consiste à choisir un nouveau lagrangien, dans lequel apparaissent toutes les dérivées temporelles des variables du champ, de sorte que toutes ces variables possèdent chacune un moment conjugué. Ce nouveau lagrangien n'est cependant pas équivalent au lagrangien standard et il faut donc imposer une condition supplémentaire pour sélectionner parmi toutes les solutions possibles des nouvelles équations du mouvement celles qui satisfont aussi aux équations de Maxwell. Une telle démarche, qui est utilisée dans les formulations covariantes de l'électro-dynamique quantique, est exposée tout d'abord dans le cas plus simple du champ libre ou du champ couplé à des sources extérieures.

On introduit pour cela le lagrangien de Fermi qui conduit bien aux équations de Maxwell lorsque la condition supplémentaire de Lorentz est imposée, et à partir duquel il est possible de calculer les moments conjugués des potentiels, l'hamiltonien et les variables normales. La quantification canonique de la théorie ainsi élaborée permet bien d'établir des relations de commutation covariantes pour les opérateurs associés aux potentiels. Des difficultés apparaissent cependant dans la construction de l'espace des états quantiques du champ. Les relations de commutation covariantes conduisent en effet à des états de photons scalaires de norme négative, ce qui est incompatible avec l'interprétation probabiliste de la mécanique quantique.

Une solution possible à la difficulté précédente est alors exposée. Elle consiste à introduire une deuxième métrique (indéfinie) dans l'espace des états quantiques et à renoncer à l'hermiticité (au sens habituel) du potentiel scalaire, ce qui n'est pas grave dans la mesure où ce sont les champs électrique et magnétique, et non les potentiels, qui sont des grandeurs mesurables. On montre alors que pour toutes les grandeurs véritablement physiques et pour tous les états physiques, sélectionnés au moyen de la condition supplémentaire de Lorentz, l'interprétation probabiliste habituelle de la mécanique quantique demeure valable.

Toute la démarche précédente est illustrée sur un exemple très simple, celui du champ quantique couplé à des charges fixes. Le déplacement de l'état fondamental du champ est calculé, tout d'abord perturbativement puis de manière exacte, ce qui permet de retrouver l'interaction de Coulomb entre les deux particules et de l'interpréter comme étant due à un échange de photons scalaires entre les deux particules.

#### *Transformation unitaire associée à un changement de lagrangien*

Tout le reste du cours de cette année est consacré à l'étude de formulations équivalentes de l'électrodynamique quantique construites à partir de lagrangiens qui diffèrent du lagrangien standard en jauge de Coulomb par la dérivée totale d'une fonction des coordonnées généralisées du système champ + particules. Le problème général de la correspondance entre deux descriptions quantiques construites à partir de deux lagrangiens différent par une dérivée totale est donc analysé en premier lieu sur le cas simple d'un système à un seul degré de liberté. On montre que les deux descriptions quantiques se déduisent l'une de l'autre par une transformation unitaire. L'accent est mis sur le fait que la même grandeur physique n'est pas représentée par le même opérateur mathématique dans les deux points de vue. Réciproquement, le même opérateur mathématique n'a pas le même sens physique dans un point de vue et dans l'autre. L'équivalence des prédictions physiques des deux formulations est démontrée de manière générale.

### H.3

#### Transformation de Göppert-Mayer pour des particules dans un champ extérieur

Le premier exemple choisi pour illustrer les considérations précédentes concerne des systèmes globalement neutres de particules chargées localisées autour d'un point et interagissant avec des champs électromagnétiques extérieurs de grande longueur d'onde. Une telle situation est fréquemment rencontrée en physique atomique et moléculaire puisque les dimensions des atomes et des molécules sont en général petites devant les longueurs d'onde des rayonnements (optiques ou microondes) utilisés dans les expériences. Dans le lagrangien standard, il est donc légitime de négliger la variation spatiale des champs extérieurs sur l'étendue du système des particules (approximation des grandes longueurs d'onde). L'interaction entre les particules et le rayonnement ne fait plus alors intervenir que le moment dipolaire électrique  $\vec{d}$  du système de charges, le lagrangien d'interaction s'écrivant  $d\vec{A}_e(\vec{O}, t)$ , où  $\vec{A}_e$  est le potentiel vecteur du champ extérieur évalué au centre  $\vec{O}$  du système de charges.

La transformation de Göppert-Mayer consiste à ajouter au lagrangien standard la dérivée totale de la fonction  $-d\vec{A}_e(\vec{O}, t)$ , ce qui conduit à un nouveau lagrangien d'interaction  $d\vec{E}_e(\vec{O}, t)$  décrivant le couplage du moment dipolaire  $\vec{d}$  avec le champ électrique  $\vec{E}_e$  du rayonnement. On étudie également comment la transformation de Göppert-Mayer change l'hamiltonien d'interaction et remplace l'hamiltonien habituel en «  $\vec{A} \cdot \vec{p}$  » (couplage entre le potentiel vecteur  $\vec{A}$  et l'impulsion  $\vec{p}$  des particules) par un nouvel hamiltonien en «  $\vec{E} \cdot \vec{r}$  » (couplage entre le champ électrique  $\vec{E}$  et la position  $\vec{r}$  des particules).

#### *Equivalence des points de vue $\vec{A} \cdot \vec{p}$ et $\vec{E} \cdot \vec{r}$ . Illustration sur des processus à un ou deux photons*

Pour démontrer de manière concrète l'équivalence entre la formulation standard habituelle et celle associée à la transformation de Göppert-Mayer, les amplitudes de transition sont calculées dans un point de vue puis dans l'autre pour des processus d'absorption résonnante à un ou deux photons. L'égalité entre les deux amplitudes est vérifiée par un calcul direct des éléments de matrice de l'opérateur d'évolution.

Les avantages du nouveau point de vue sont illustrés sur l'exemple important de la transition à deux photons  $1\ s \rightarrow 2\ s$  de l'atome d'hydrogène. L'amplitude de transition apparaît dans les deux points de vue comme une somme de contributions relatives à chaque état intermédiaire. Bien que les sommes des deux séries soient identiques, on montre que la série obtenue dans le point de vue  $\vec{E} \cdot \vec{r}$  converge beaucoup plus vite et permet d'obtenir un résultat plus précis si on se limite à un petit nombre d'états intermédiaires.

La discussion précédente est enfin étendue à des processus non résonnants. On montre que les processus non résonnantes à un photon se ramènent

souvent à des processus résonnantes à deux photons, ce qui permet de résoudre plusieurs paradoxes et de corriger plusieurs erreurs rencontrées dans la littérature au sujet de l'équivalence des deux points de vue pour le calcul des formes de raie. La discussion est illustrée sur l'exemple de la transition  $2\ s - 2\ p$  de l'atome d'hydrogène (transition de Lamb).

#### *La transformation de Power-Zienau-Woolley*

La transformation de Göppert-Mayer est limitée à l'ordre le plus bas en  $a_0/\lambda$  (où  $a_0$  caractérise les dimensions atomiques et  $\lambda$  la longueur d'onde du rayonnement) et est relative à des rayonnements extérieurs dont la dépendance temporelle est donnée. Ces deux restrictions sont levées par la transformation de Power-Zienau-Woolley qui permet d'obtenir un lagrangien d'interaction contenant le développement multipolaire complet de l'interaction entre un atome (ou une molécule) et le rayonnement, considéré comme un système ayant sa dynamique propre.

On montre tout d'abord qu'un système de charges localisées autour d'un point peut être décrit par des densités de polarisation et de magnétisation auxquelles sont associés des courants de polarisation et de magnétisation. On introduit également l'induction électrique qui est un champ transverse, coïncidant (à un facteur multiplicatif près) avec le champ électrique total en dehors du système de charges supposé globalement neutre.

La transformation de Power-Zienau-Woolley consiste à ajouter au lagrangien standard en jauge de Coulomb la dérivée totale de la fonction  $-\int d^3r \vec{P}(\vec{r}) \cdot \vec{A}_\perp(\vec{r})$ , où  $\vec{P}(\vec{r})$  est la densité de polarisation et  $\vec{A}_\perp(\vec{r})$  le potentiel vecteur transverse. Elle conduit à un nouveau lagrangien d'interaction faisant intervenir le couplage de la densité de polarisation  $\vec{P}(\vec{r})$  au champ électrique  $\vec{E}_\perp(\vec{r})$  et celui de la densité de magnétisation  $\vec{M}(\vec{r})$  au champ magnétique  $\vec{B}(\vec{r})$ . Le développement multipolaire de l'interaction en découle immédiatement, de même que le calcul des nouveaux moments conjugués et du nouvel hamiltonien.

Les avantages du nouveau point de vue sont discutés en détail. Ils tiennent au fait que le nouveau moment conjugué du potentiel vecteur transverse est l'induction électrique. Le nouvel hamiltonien d'interaction ne fait donc plus intervenir que des champs transverses purement retardés en dehors des systèmes de charges, comme l'induction électrique ou le champ magnétique. Il en résulte des grandes simplifications pour le calcul des interactions électromagnétiques entre atomes neutres.

# Équivalence de 2 points de vue se déduisant l'un de l'autre par une transformation unitaire

I-4

## ① Considérations générales

- Transformation unitaire  $T(t)T^+(t) = T^+(t)T(t) = \mathbb{1}$
- Correspondance entre kets décrits un même état physique dans un point de vue et dans l'autre

$$|\psi^{(2)}(t)\rangle = T(t) |\psi^{(1)}(t)\rangle$$

- Correspondance entre observables décrits une même grandeur physique

$$G^{(2)} = T(t) G^{(1)} T^+(t)$$

- Evolution dans le temps

$$i\hbar \frac{d}{dt} |\psi^{(2)}(t)\rangle = H^{(2)}(t) |\psi^{(2)}(t)\rangle$$

$$i\hbar \frac{d}{dt} |\psi^{(1)}(t)\rangle = H^{(1)}(t) |\psi^{(1)}(t)\rangle$$

$$H^{(2)}(t) = T(t) H^{(1)}(t) T^+(t) + i\hbar \left( \frac{dT(t)}{dt} \right) T^+(t)$$

- Opérateur d'évolution

$$|\psi^{(2)}(t)\rangle = U^{(2)}(t, t_0) |\psi^{(2)}(t_0)\rangle$$

$$|\psi^{(1)}(t)\rangle = U^{(1)}(t, t_0) |\psi^{(1)}(t_0)\rangle$$

$$U^{(2)}(t, t_0) = T(t) U^{(1)}(t, t_0) T^+(t_0)$$

- Etat initial

$$|\psi^{(1)}(t_i)\rangle$$

$$|\psi^{(2)}(t_i)\rangle = T(t_i) |\psi^{(1)}(t_i)\rangle$$

- Etat final

$$|\chi^{(1)}(t_f)\rangle$$

$$|\chi^{(2)}(t_f)\rangle = T(t_f) |\chi^{(1)}(t_f)\rangle$$

- Identité des amplitudes de transition

$$\langle \chi^{(1)}(t_f) | U^{(1)}(t_f, t_i) | \psi^{(1)}(t_i) \rangle = \langle \chi^{(2)}(t_f) | U^{(2)}(t_f, t_i) | \psi^{(2)}(t_i) \rangle$$

Attention à ne pas prendre le même ket pour décrire l'état initial (ou final) dans un point de vue et dans l'autre.

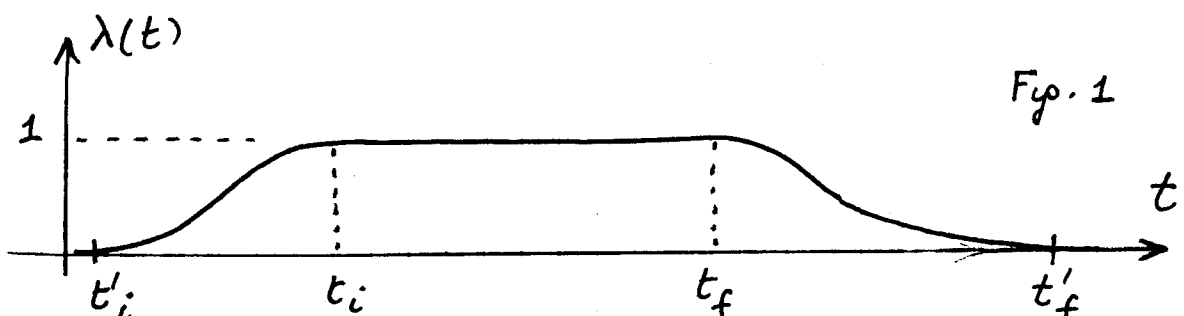
## ② Forme simplifiée de l'équivalence pour les matrices S [I-5]

Si le problème physique peut être posé en termes de collisions, on peut dans certains cas ne pas transformer les vecteurs d'état représentant l'état initial et l'état final et obtenir cependant des amplitudes de transition identiques dans les 2 points de vue.

Physiquement, une telle simplification est due au fait qui on peut négliger l'hamiltonien d'interaction dans le passé lointain et dans le futur lointain.

### Matrice S dans le point de vue (1)

- Hamiltonien  $H^{(1)} = H_0 + H_I$   
 $H_I$ : interaction entre systèmes physiques d'énergie  $H_0$ .
- Introduction formelle d'un nouvel hamiltonien  
 $H^{(1)}(\lambda) = H_0 + \lambda H_I$        $\lambda$  réel,  $0 < \lambda < 1$
- Description d'un processus de collision



Manière commode de "simuler" l'approche de 2 paquets d'ondes quasimonochromatiques, puis la séparation des 2 systèmes, tout en prenant comme états asymptotiques des états propres de  $H_0$ , comme  $|1\varphi_a\rangle$  ou  $|1\varphi_b\rangle$ , d'énergies  $E_a$  et  $E_b$ .

Élément de matrice de l'opérateur d'évolution  $V^{(1)}(t'_f, t'_i)$  associé à  $H_0 + \lambda(t) H_I$  (en représentation d'interaction par rapport à  $H_0$ ), pris entre  $\langle\varphi_b|$  et  $|1\varphi_a\rangle$   
 Matrice S : limite de cet élément de matrice quand  $t'_i \rightarrow -\infty$ ,  $t'_f \rightarrow +\infty$

- Résultat du calcul pour la matrice S

$$S_{ba}^{(1)} = \delta_{ba} - 2\pi i \delta(E_b - E_a) C_{ba}^{(1)}$$

$$C_{ba}^{(1)} = \langle\varphi_b|H_I|\varphi_a\rangle + \lim_{\epsilon \rightarrow 0^+} \sum_c \frac{\langle\varphi_b|H_I|\varphi_c\rangle \langle\varphi_c|H_I|\varphi_a\rangle}{E_a - E_c + i\epsilon} + \dots$$

## Matrice S dans le point de vue (2)

I-6

- Passage de (1) à (2) par  $T = \exp(i F/\hbar)$  où  $F = F^+$  indépendant de  $t$   
 $\hookrightarrow H^{(2)} = T H^{(1)} T^+$
  - Introduction formelle de  
 $T(\lambda) = \exp\left(\frac{i}{\hbar} \lambda F\right)$   
où  $\lambda$  est la même constante que dans  $H^{(1)}(\lambda) = H_0 + \lambda H_I$
  - $H^{(2)}(\lambda) = T(\lambda) H^{(1)}(\lambda) T^+(\lambda) = T(\lambda) [H_0 + \lambda H_I] T^+(\lambda)$ 
    - Pour  $\lambda = 0$ ,  $T(0) = \mathbb{1}$        $H^{(2)}(0) = H_0 = H^{(1)}(0)$
    - Pour  $\lambda = 1$ ,  $T(1) = T$        $H^{(1)}(1) = H^{(1)}$   
 $H^{(2)}(1) = H^{(2)} = T H^{(1)} T^+$

On peut donc écrire :

$$H^{(2)}(\lambda) = H_0 + \lambda H'_I(\lambda) \quad \text{avec} \quad H'_I(1) = H'_I$$

Attention,  $H_I' \neq T H_I T^+$  can  $T H_0 T^+ \neq H_0$

- Description de la collision dans le point de vue 2.  
Variations de  $\lambda$  avec  $t$  toujours données par la figure 1
  - Etat initial à  $t'_i$        $\lambda(t'_i) = 0 \rightarrow T(\lambda(t'_i)) = \mathbb{I}$   
 $\hookrightarrow |\psi_a^{(2)}\rangle = |\psi_a^{(1)}\rangle = |\psi_a\rangle$
  - Etat final à  $t'_f$        $\lambda(t'_f) = 0 \rightarrow T(\lambda(t'_f)) = \mathbb{I}$   
 $\hookrightarrow |\psi_b^{(2)}\rangle = |\psi_b^{(1)}\rangle = |\psi_b\rangle$
  - Comme  $\lambda$  dépend de  $t$  dans  $T(\lambda(t))$ , l'évolution dans le point de vue (2) est décrite par l'hamiltonien  

$$T(\lambda) H^{(1)}(\lambda) T^+(\lambda) + i \hbar \left[ \frac{d}{dt} T(\lambda(t)) \right] T^+(\lambda(t)) =$$

$$H_0 + \lambda(t) H'_I(\lambda(t)) - \dot{\lambda}(t) F$$

$$\hookrightarrow U_{ba}^{(1)}(t'_f, t'_i) = U_{ba}^{(2)}(t'_f, t'_i)$$

Opérateur d'évolution  
associé à  
 $H_0 + \lambda(t) H_I$

↑  
Opérateur d'évolution  
associé à  
 $H_0 + \lambda(t) H'_I(\lambda(t)) - \dot{\lambda}(t) F$

- Comme  $\lambda(t)$  varie très lentement,  $i(t)$  est très petit. Dans de nombreux cas, il est possible de négliger le terme  $-\lambda(t)F$  devant  $H_0 + \lambda(t)H'_I(\lambda(t))$  (I-7)

Quel est l'opérateur d'évolution associé à  $H_0 + \lambda(t)H'_I(\lambda(t))$  ?

Comme  $\lambda(t)H'_I(\lambda(t))$  varie très lentement de 0 à  $H'_I(1) = H'_I$  entre  $t'_i$  et  $t_i$ , puis de  $H'_I$  à 0 entre  $t_f$  et  $t'_f$ , l'opérateur d'évolution associé à  $H_0 + \lambda(t)H'_I(\lambda(t))$  tend (à la limite  $t'_i \rightarrow -\infty$ ,  $t'_f \rightarrow +\infty$ ) vers la matrice  $\mathcal{C}$  associée à  $H'_I$ .

- Donc, si le terme  $-\lambda(t)F$  peut être négligé, l'égalité du bas de la page I-6 entraîne

$$\varphi_{ba}^{(1)} = \varphi_{ba}^{(2)}$$

où  $\varphi_{ba}^{(2)} = \delta_{ba} - 2\pi i \delta(E_b - E_a) \mathcal{C}_{ba}^{(2)}$

avec  $\mathcal{C}_{ba}^{(2)} = \langle \varphi_b | H'_I | \varphi_a \rangle + \lim_{E \rightarrow 0^+} \sum_c \frac{\langle \varphi_b | H'_I | \varphi_c \rangle \langle \varphi_c | H'_I | \varphi_a \rangle}{E_a - E_c + iE} + \dots$

On a donc

$$\boxed{\mathcal{C}_{ba}^{(2)} = \mathcal{C}_{ba}^{(1)} \quad \text{si } E_b = E_a}$$

Résultat qui permet de simplifier considérablement les calculs, puisqu'on peut prendre dans les 2 points de vue, le même état propre de  $H_0$  pour décrire l'état initial (ou final).

### Quelques écueils à éviter

- Résultat valable seulement si le problème peut être posé en termes de collisions.
- Il faut prendre pour  $|\varphi_a\rangle$  et  $|\varphi_b\rangle$  des états stables, on alors s'assurer que leur instabilité peut être négligée dans le problème étudié.  
Sinon, il faut prendre les états finaux stables résultant de la désintégration de  $|\varphi_a\rangle$  ou  $|\varphi_b\rangle$
- Les matrices  $\mathcal{C}$  ne sont égales que sur la couche d'énergie ( $E_a = E_b$ ). Si  $E_b \neq E_a$   $\mathcal{C}_{ba}^{(2)} \neq \mathcal{C}_{ba}^{(1)}$

Références "Photons et Atomes - Introduction à l'Electromagnétique Quantique" - Chapitre IV, § D

C. Cohen-Tannoudji, J. Dupont-Roc, G. Grynberg  
InterEditions - Éditions du CNRS Paris 1987

Poursuivre l'étude de diverses formulations équivalentes de l'Electrodynamique Quantique.

Le cours portera plus particulièrement sur l'étude de transformations unitaires visant à soustraire des champs total le champ "lié" aux particules. L'objectif poursuivi est de faire apparaître ainsi, dans l'hamiltonien transformé, des termes d'interaction effective entre particules.

- Tentative d'élimination du champ transverse lié aux particules. Transformation de Pauli - Fierz - Kramers.
- Application à une charge localisée. Corrections de masse et déplacement de Lamb dans le point de vue de Pauli - Fierz.
- Généralisation à plusieurs systèmes de charges localisées. Établissement d'hamiltoniens d'interaction magnétiques.
- Transformation de Hennelberger. Diffusion par un potentiel en présence d'un rayonnement laser.
- Élimination des potentiels longitudinaux et scalaires en électrodynamique quantique relativiste. Passage de la jauge de Lorentz à la jauge de Coulomb.

Appendice A : Formulaire sur  
l'electrodynamique en jauge de Coulombs

App. 1

Variables dynamiques

Coordonnées et vitesses généralisées (formalisme lagrangien)

Particules  $\alpha$  (de charges  $q_\alpha$  et masses  $m_\alpha$ ) :  $\{\vec{r}_\alpha, \dot{\vec{r}}_\alpha\}$

$$\rho(\vec{r}) = \sum_\alpha q_\alpha \delta(\vec{r} - \vec{r}_\alpha) \quad \vec{J}(\vec{r}) = \sum_\alpha q_\alpha \dot{\vec{r}}_\alpha \delta(\vec{r} - \vec{r}_\alpha) \quad (\text{A.1})$$

Champs (transverses) :  $\{\vec{A}_\perp(\vec{r}), \dot{\vec{A}}_\perp(\vec{r})\}$  ou  $\{\vec{A}_\perp(\vec{k}), \dot{\vec{A}}_\perp(\vec{k})\}$

- Transformée de Fourier spatiale  $\vec{V}(\vec{k})$  de  $V(\vec{r})$  (lettres cursives)

$$\vec{V}(\vec{k}) = \frac{1}{\sqrt{(2\pi)^3}} \int d^3 r e^{-i\vec{k} \cdot \vec{r}} \vec{V}(\vec{r}) \quad (\text{A.2})$$

Champ transverse :  $\vec{V}_\perp(\vec{k}) \perp \vec{k}$  :  $\vec{k} \cdot \vec{V}_\perp = 0$  ou  $\vec{\nabla} \cdot \vec{V} = 0$

Champ longitudinal :  $\vec{V}_{||}(\vec{k}) \parallel \vec{k}$  :  $\vec{k} \times \vec{V}_{||} = \vec{0}$  ou  $\vec{\nabla} \times \vec{V} = \vec{0}$

- Que valent  $\vec{E}_{||}$  et  $\vec{B}_{||}$ ? Fixés par 2 équations de Maxwell

$$\vec{\nabla} \cdot \vec{B} = 0 \rightarrow i\vec{k} \cdot \vec{B} = 0 \rightarrow \vec{B}_{||} = \vec{0} \quad (\text{A.3})$$

$$\vec{\nabla} \cdot \vec{E} = \frac{\rho}{\epsilon_0} \rightarrow i\vec{k} \cdot \vec{E} = \frac{\rho}{\epsilon_0} \rightarrow \vec{E}_{||}(\vec{k}) = -i\frac{\vec{k}}{\epsilon_0 k^2} \rho(\vec{k}) \rightarrow \quad (\text{A.4})$$

$$\rightarrow \vec{E}_{||}(\vec{r}, t) = \frac{1}{4\pi\epsilon_0} \int d^3 r' \rho(\vec{r}', t) \frac{\vec{r} - \vec{r}'}{|\vec{r} - \vec{r}'|^3} = \text{Champ de Coulomb de la distribution de charges fixée à l'instant } t$$

- Que valent  $\vec{A}_{||}$  et  $V$ ?

• Dans un changement de jauge défini par  $F$

$$\vec{A} \rightarrow \vec{A}' = \vec{A} + \vec{\nabla} F \quad \vec{A} \rightarrow \vec{A}' = \vec{A} + i\vec{k} \vec{F} \quad (\text{A.5})$$

$$\hookrightarrow \vec{A}'_\perp = \vec{A}_\perp \quad \vec{A}'_{||} = \vec{A}_{||} + i\vec{k} \vec{F} \quad (\text{A.6})$$

$\vec{A}_\perp$  est invariant de jauge.  $\vec{A}_{||}$  peut être changé à volonté.

En jauge de Coulomb  $\vec{A}_{||} = \vec{0}$  (A.7)

• Liens entre champs et potentiels

$$\begin{cases} \vec{E} = -\dot{\vec{A}} - \vec{\nabla} V \\ \vec{B} = \vec{\nabla} \times \vec{A} \end{cases} \rightarrow \begin{cases} \vec{E} = -\dot{\vec{A}} - i\vec{k} U \\ \vec{B} = i\vec{k} \times \vec{A} \end{cases} \quad (\text{A.8})$$

$$\hookrightarrow \vec{E}_{||} = -\dot{\vec{A}}_{||} - i\vec{k} U = -i\vec{k} U \quad (\text{en jauge de Coulomb}) \quad (\text{A.9})$$

$$\hookrightarrow U = \frac{i\vec{k} \cdot \vec{E}_{||}}{k^2} = \frac{1}{\epsilon_0 k^2} \rho \rightarrow V(\vec{r}, t) = \frac{1}{4\pi\epsilon_0} \int d^3 r' \frac{\rho(\vec{r}', t)}{|\vec{r} - \vec{r}'|} \quad (\text{A.10})$$

$U$  : Potentiel de Coulomb de la distribution de charge

- Que valent  $\vec{E}_\perp$  et  $\vec{B}$ ? (en fonction de  $\vec{A}_\perp$  et  $\dot{\vec{A}}_\perp$ )

$$\begin{cases} \vec{E}_\perp = -\dot{\vec{A}}_\perp \\ \vec{B} = \vec{\nabla} \times \vec{A}_\perp \end{cases} \rightarrow \begin{cases} \vec{E}_\perp = -\dot{\vec{A}}_\perp \\ \vec{B} = i\vec{k} \times \vec{A}_\perp \end{cases} \quad (\text{A.11})$$

- Energie du champ :  $\frac{\epsilon_0}{2} \int d^3r (\vec{E}^2 + c^2 \vec{B}^2) = \frac{\epsilon_0}{2} \int d^3k (|\vec{E}|^2 + c^2 |\vec{B}|^2) = H_{\text{long}} + H_{\text{trans}}$  [App. 2]

$$H_{\text{long}} = \frac{\epsilon_0}{2} \int d^3k |\vec{E}_{||}|^2 = \frac{1}{2\epsilon_0} \int d^3k \frac{\rho^* \rho}{k^2} = \frac{1}{8\pi\epsilon_0} \int d^3r d^3r' \frac{\rho(\vec{r}) \rho(\vec{r}')}{|\vec{r} - \vec{r}'|} = V_{\text{Coul}}$$
 (A.12)

$$= \sum_{\alpha} \epsilon_{\text{Coul}}^{\alpha} + \sum_{\alpha \neq \beta} \frac{1}{8\pi\epsilon_0} \frac{q_{\alpha} q_{\beta}}{|\vec{r}_{\alpha} - \vec{r}_{\beta}|}$$
 (A.13)

$$\epsilon_{\text{Coul}}^{\alpha} = \frac{1}{2\epsilon_0} \int d^3k \frac{\rho_{\alpha}^* \rho_{\alpha}}{k^2} = \frac{q_{\alpha}^2}{2\epsilon_0 (2\pi)^3} \int \frac{d^3k}{k^2} = \frac{q_{\alpha}^2 k_c}{4\pi^2 \epsilon_0} \quad (\text{Comparé à } k_c)$$
 (A.14)

$$H_{\text{trans}} = \frac{\epsilon_0}{2} \int d^3k (|\vec{E}_{\perp}|^2 + c^2 |\vec{B}_{\perp}|^2) = \frac{\epsilon_0}{2} \int d^3k (|\vec{B}_{\perp}|^2 + c^2 k^2 |\vec{E}_{\perp}|^2)$$
 (A.15)

Coordonnées et moments conjugués (formalisme hamiltonien)

Particules  $\alpha$   $\{ \vec{r}_{\alpha}, \vec{p}_{\alpha} \}$

$$\dot{\vec{r}}_{\alpha} = \frac{1}{m_{\alpha}} [\vec{p}_{\alpha} - q_{\alpha} \vec{A}_{\perp}(\vec{r}_{\alpha})] \quad (A.16)$$

champs transverses  $\{ \vec{A}_{\perp}(\vec{r}), \vec{\Pi}(\vec{r}) \}$  ou  $\{ \vec{B}_{\perp}(k), \vec{\Pi}(k) \}$

$$\dot{\vec{A}}_{\perp} = \frac{1}{\epsilon_0} \vec{\Pi} \quad \rightarrow \quad \vec{\Pi}(\vec{r}) = -\epsilon_0 \vec{E}_{\perp}(\vec{r}) \quad (A.17)$$

- Energie du champ transverse

$$H_{\text{trans}} = \frac{1}{2} \int d^3k \left( \frac{|\vec{\Pi}|^2}{\epsilon_0} + \epsilon_0 \omega^2 |\vec{B}_{\perp}|^2 \right) \quad \omega = ck \quad (A.18)$$

Somme d'hamiltoniens d'oscillateurs harmoniques

## Hamiltonien

- Système global champ + particules

$$H = \sum_{\alpha} \frac{1}{2m_{\alpha}} [\vec{p}_{\alpha} - q_{\alpha} \vec{A}_{\perp}(\vec{r}_{\alpha})]^2 + V_{\text{Coul}} + H_{\text{transv}} \quad (A.19)$$

= Energie cinétique des particules + Energie du champ  
 $V_{\text{Coul}} + H_{\text{trans}}$

- Décomposition de  $H$  en  $H = H_p + H_R + H_I$  (A.20)

$$H_p = \sum_{\alpha} \frac{\vec{p}_{\alpha}^2}{2m_{\alpha}} + V_{\text{Coul}} = \sum_{\alpha} \frac{\vec{p}_{\alpha}^2}{2m_{\alpha}} + \sum_{\alpha} \epsilon_{\text{Coul}}^{\alpha} + \sum_{\alpha \neq \beta} \frac{q_{\alpha} q_{\beta}}{8\pi\epsilon_0 |\vec{r}_{\alpha} - \vec{r}_{\beta}|}$$
 (A.21)

$$H_R = H_{\text{trans}} \quad (A.22)$$

$$H_I = H_{I1} + H_{I2} = \text{Terme linéaire} + \text{Terme quadratique (en champs)} \quad (A.23)$$

$$H_{I1} = -\sum_{\alpha} \frac{q_{\alpha}}{m_{\alpha}} \vec{p}_{\alpha} \cdot \vec{A}_{\perp}(\vec{r}_{\alpha}) \quad H_{I2} = \sum_{\alpha} \frac{q_{\alpha}^2}{2m_{\alpha}} \vec{A}_{\perp}(\vec{r}_{\alpha})^2 \quad (A.24)$$

Hamiltonien d'interaction supplémentaire lié aux spins  $\vec{S}_{\alpha}$

$$H_{I1}^S = -\sum_{\alpha} g_{\alpha} \frac{q_{\alpha}}{m_{\alpha}} \vec{S}_{\alpha} \cdot \vec{B}(\vec{r}_{\alpha}) \quad g_{\alpha} : \text{Facteur } g \text{ de } \alpha \quad (A.25)$$

## Variables normales

En l'absence de particules,  $H = H_{\text{trans}}$  a la structure d'une somme d'hamiltoniens d'oscillateurs harmoniques  $\rightarrow$  Possibilité d'introduire, pour chaque  $\vec{k}$ , des combinaisons linéaires de  $\hat{R}_\perp$  et  $\hat{\Pi}$  qui évoluent indépendamment les unes des autres.

Variables normales décrivant les modes normaux de vibration du champ libre

### Mode $(\vec{k}, \vec{E})$

Défini par un vecteur d'onde  $\vec{k}$  et un vecteur polarisation  $\vec{E}$ , unitaire, L à  $\vec{k}$  (2 vecteurs  $\vec{E}$  et  $\vec{E}'$  pour chaque  $\vec{k}$ ,  $\vec{E} \cdot \vec{E}' = 0$ )

### Définition des variables normales $\alpha_E(\vec{k})$

$$\alpha_E(\vec{k}) = N(k) [\omega \hat{R}_E(\vec{k}) + \frac{i}{\epsilon_0} \hat{\Pi}_E(\vec{k})] \quad \begin{cases} \hat{R}_E(\vec{k}) = \vec{E} \cdot \hat{R}_\perp(\vec{k}) \\ \hat{\Pi}_E(\vec{k}) = \vec{E} \cdot \hat{\Pi}(\vec{k}) \end{cases} \quad (\text{A.26})$$

$N(k)$  constante de normalisation, qui il est commode pour la suite de choisir égale à  $\sqrt{\epsilon_0 / 2\pi\hbar\omega}$

### Équation d'évolution des variables normales

$$\dot{\alpha}_E(\vec{k}, t) + i\omega \alpha_E(\vec{k}, t) = \frac{i}{\sqrt{2\epsilon_0 \hbar \omega}} j_E(\vec{k}, t) \quad (\text{A.27})$$

$$j_E(\vec{k}, t) = \vec{E} \cdot \vec{j}(\vec{k}, t) = \frac{1}{\sqrt{(2\pi)^3}} \int d^3r \vec{E} \cdot \vec{j}(\vec{r}, t) e^{-i\vec{k} \cdot \vec{r}} = \frac{1}{\sqrt{(2\pi)^3}} \sum_\alpha q_\alpha \vec{E} \cdot \vec{r}_\alpha e^{-i\vec{k} \cdot \vec{r}_\alpha} \quad (\text{A.28})$$

$$\text{En l'absence de particules, } j_E = 0 \rightarrow \alpha_E(\vec{k}, t) = \alpha_E(\vec{k}) e^{-i\omega t} \quad (\text{A.29})$$

### Expression des grandeurs physiques en fonction des variables normales

$$\vec{A}_\perp(\vec{r}) = \int d^3k \sum_{\vec{E} \perp \vec{k}} \hat{R}_\omega [\vec{E} \alpha_E(\vec{k}) e^{i\vec{k} \cdot \vec{r}} + \vec{E} \alpha_E^*(\vec{k}) e^{-i\vec{k} \cdot \vec{r}}] \quad (\text{A.30})$$

$$\vec{E}_\perp(\vec{r}) = -\frac{1}{\epsilon_0} \vec{\Pi}(\vec{r}) = i \int d^3k \sum_{\vec{E} \perp \vec{k}} \hat{E}_\omega [\vec{E} \alpha_E(\vec{k}) e^{i\vec{k} \cdot \vec{r}} - \vec{E} \alpha_E^*(\vec{k}) e^{-i\vec{k} \cdot \vec{r}}] \quad (\text{A.31})$$

$$\vec{B}(\vec{r}) = i \int d^3k \sum_{\vec{E} \perp \vec{k}} \hat{B}_\omega [(\vec{k} \times \vec{E}) \alpha_E(\vec{k}) e^{i\vec{k} \cdot \vec{r}} - (\vec{k} \times \vec{E}) \alpha_E^*(\vec{k}) e^{-i\vec{k} \cdot \vec{r}}] \quad (\text{A.32})$$

$$\hat{R}_\omega = \sqrt{\frac{\hbar}{2\epsilon_0 \omega (2\pi)^3}} \quad \hat{E}_\omega = \omega \hat{R}_\omega \quad \hat{B}_\omega = \frac{\epsilon_0}{c} \hat{R}_\omega \quad \omega = ck \quad \vec{k} = \frac{\vec{k}}{k} \quad (\text{A.33})$$

$$H_{\text{trans}} = H_R = \int d^3k \sum_{\vec{E} \perp \vec{k}} \hbar \omega \alpha_E^*(\vec{k}) \alpha_E(\vec{k}) \quad (\text{A.34})$$

$$\vec{P}_{\text{trans}} = \epsilon_0 \int d^3r \vec{E}_\perp \times \vec{B} = \int d^3k \sum_{\vec{E} \perp \vec{k}} \hbar \vec{k} \alpha_E^*(\vec{k}) \alpha_E(\vec{k}) \quad (\text{A.35})$$

$$\vec{P}_{\text{total}} = \vec{P}_{\text{trans}} + \sum_\alpha \vec{P}_\alpha \quad (\text{A.36})$$

### Quantification canonique

- Les  $\hat{R}_E$  et  $\hat{\Pi}_E$  définissent des opérateurs satisfaisant à

$$[\hat{R}_E(\vec{k}), \hat{\Pi}_{E'}^+(\vec{k}')] = i\hbar \delta_{EE'} \delta(\vec{k} - \vec{k}') \quad (\text{A.37})$$

- Opérateurs de création et d'annihilation ( $\alpha_{\epsilon}(\vec{k})$ ,  $\alpha_{\epsilon}^+(\vec{k})$ ) définis à partir des opérateurs  $\hat{a}_{\epsilon}(\vec{k})$  et  $\hat{a}_{\epsilon}^*(\vec{k})$  par les mêmes formules que  $\alpha_{\epsilon}(\vec{k})$  et  $\alpha_{\epsilon}^*(\vec{k})$ ).

$$[\alpha_{\epsilon}(\vec{k}), \alpha_{\epsilon'}^+(\vec{k}')] = \delta_{\epsilon\epsilon'}, \delta(\vec{k}-\vec{k}') \quad (\text{A.38})$$

### Discretisation des modes

- Conditions aux limites périodiques dans un cube de côté  $L$ .

$$\vec{k} \rightarrow \vec{k}_i \quad \text{avec} \quad k_{ix} = \frac{2\pi}{L} n_{ix} \quad n_i \text{ entier} \geq 0$$

- Mode  $\vec{k}_{\epsilon} \rightarrow$  Mode  $\vec{k}_i \vec{\epsilon}_i$  également nommé mode  $i$

- $\alpha_{\epsilon}(\vec{k}) \rightarrow \alpha_{\vec{k}_i \vec{\epsilon}_i}$  noté aussi  $a_i$

$$[a_i, a_j^+] = \delta_{ij} \quad (\text{A.39})$$

- Développement des grandeurs physiques en  $a_i, a_i^+$

$$\vec{A}(\vec{r}) = \sum_i A_{\omega_i} [\vec{\epsilon}_i a_i e^{i \vec{k}_i \cdot \vec{r}} + \vec{\epsilon}_i^+ a_i^+ e^{-i \vec{k}_i \cdot \vec{r}}] \quad (\text{A.40})$$

$$\vec{E}_L(\vec{r}) = i \sum_i E_{\omega_i} [\vec{\epsilon}_i a_i e^{i \vec{k}_i \cdot \vec{r}} - \vec{\epsilon}_i^+ a_i^+ e^{-i \vec{k}_i \cdot \vec{r}}] \quad (\text{A.41})$$

$$\vec{B}(\vec{r}) = i \sum_i B_{\omega_i} [\vec{k}_i \times \vec{\epsilon}_i a_i e^{i \vec{k}_i \cdot \vec{r}} - \vec{k}_i \times \vec{\epsilon}_i^+ a_i^+ e^{-i \vec{k}_i \cdot \vec{r}}] \quad (\text{A.42})$$

$$A_{\omega_i} = \sqrt{\frac{\hbar}{2 \epsilon_0 \omega_i L^3}} \quad E_{\omega_i} = \omega_i A_{\omega_i} \quad B_{\omega_i} = \frac{E_{\omega_i}}{c} \quad \vec{k}_i = \vec{k}_i / k_i \quad (\text{A.43})$$

$$H_R = \sum_i \frac{\hbar \omega_i}{2} (a_i^+ a_i + a_i a_i^+) = \sum_i \hbar \omega_i (a_i^+ a_i + \frac{1}{2}) \quad (\text{A.44})$$

$$\vec{P}_{\text{trans}} = \vec{P}_R = \sum_i \frac{\hbar \vec{k}_i}{2} (a_i^+ a_i + a_i a_i^+) = \sum_i \hbar \vec{k}_i a_i^+ a_i \quad (\text{A.45})$$

### Espace des états $\mathcal{E}$

- $\mathcal{E} = \mathcal{E}_P \otimes \mathcal{E}_R$        $\mathcal{E}_P$  espace des états des particules      (A.46)  
 $\mathcal{E}_R$  " " " du rayonnement

$$\mathcal{E}_R = \mathcal{E}_1 \otimes \mathcal{E}_2 \otimes \dots \otimes \mathcal{E}_i \otimes \dots \quad (\text{A.47})$$

$\mathcal{E}_i$  : espace des états du mode  $i$   
 oscillateur harmonique de fréquence  $\omega_i$ )

- Base de  $\mathcal{E}$

$$\{|s; n_1, \dots, n_i, \dots\rangle\} \quad (\text{A.48})$$

Particules dans l'état  $|s\rangle$  en présence de  
 $n_1$  photons  $\vec{k}_1 \vec{\epsilon}_1$ , ...  $n_i$  photons  $\vec{k}_i \vec{\epsilon}_i$ , ...

Electrodynamique quantique en jauge de Coulomb  
Photons réels et photons virtuels

II - 1

① Amplitude de transition en électrodynamique quantique

- Hamiltonien en jauge de Coulomb.
- Amplitudes de transition - Calcul perturbatif.
- Représentation diagrammatique.
- Quelques résultats généraux.

② Exemples de processus physiques

- Absorption et émission de photons par un atome.
- Diffusion Compton par une particule
- "Bremsstrahlung".
- Emission et réabsorption de photons par une particule.
- Echange de photons entre 2 particules

③ Exemples d'effets physiques associés à des photons virtuels

- Corrections de masse pour une particule libre.
- Corrections radiatives à la diffusion par un potentiel
- Interactions magnétiques et effets de retard.

Hamiltonien (voir Appendice A)  $H = H_0 + H_I$

$$H_0 = H_P + H_R \quad H_P = \sum_{\alpha} \frac{\vec{p}_{\alpha}^2}{2m_{\alpha}} + V_{\text{Coul}} \quad H_R = \sum_i t_i \omega_i (a_i^+ a_i + \frac{1}{2})$$

$$H_I = H_{I1} + H_{I1}^S + H_{I2}$$

$$H_{I1} = - \sum_{\alpha} \frac{q_{\alpha}}{m_{\alpha}} \vec{p}_{\alpha} \cdot \vec{A}_1(\vec{r}_{\alpha}) \quad H_{I1}^S = \sum_{\alpha} -g_{\alpha} \frac{q_{\alpha}}{m_{\alpha}} \vec{S}_{\alpha} \cdot \vec{B}(\vec{r}_{\alpha})$$

$$H_{I2} = \sum_{\alpha} \frac{q_{\alpha}^2}{2m_{\alpha}} \vec{A}_1^2(\vec{r}_{\alpha})$$

Amplitude de transition entre un état initial  $|\Psi_i\rangle$  à  $t_i$  et un état final  $|\Psi_f\rangle$  à  $t_f$ .

$$\langle \Psi_f | U(t_f, t_i) | \Psi_i \rangle$$

$U(t_f, t_i)$  Opérateur d'évolution associé à  $H = H_0 + H_I$   
(en représentation d'interaction par rapport à  $H_0$ )

Expression perturbative de  $U$  (II-2)

$$U = \mathbb{I} + \sum_{n=1}^{\infty} U^{(n)}(t_f, t_i)$$

$$U^{(n)}(t_f, t_i) = \frac{1}{(i\hbar)^n} \int \dots \int_{t_f \geq \tau_n \geq \tau_{n-1} \dots \geq \tau_1 \geq t_i} d\tau_n \dots d\tau_1$$

$$e^{iH_0\tau_n/\hbar} H_I e^{-iH_0(\tau_n-\tau_{n-1})/\hbar} H_I \dots H_I e^{-iH_0(\tau_2-\tau_1)/\hbar} H_I e^{-iH_0\tau_1/\hbar}$$

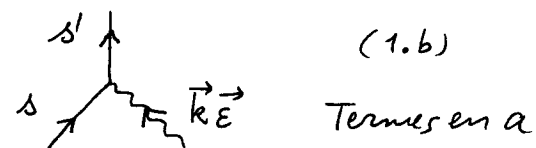
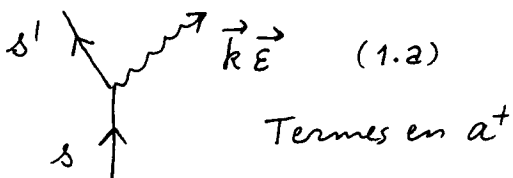
Produit alterné d'opérateurs  $H_I$  et d'opérateurs d'évolution libre

↪ Amplitude d'ordre  $n$  (en  $H_I$ ) entre états propres de  $H_0$

$$\langle \psi_f | U^{(n)}(t_f, t_i) | \psi_i \rangle \quad H_0 |\psi_f\rangle = E_f |\psi_f\rangle \quad H_0 |\psi_i\rangle = E_i |\psi_i\rangle$$

### Représentations diagrammatiques

Eléments de matrice de  $H_{I1}$  ou  $H_{I1}^S$  (termes à 1 photon en  $a$  ou  $a^\dagger$ )

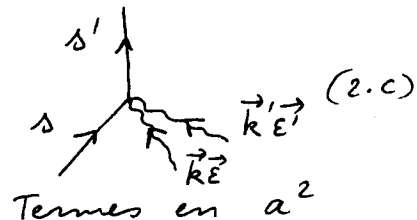
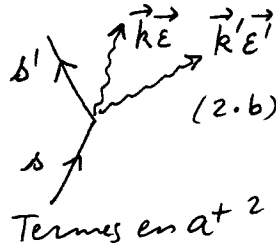
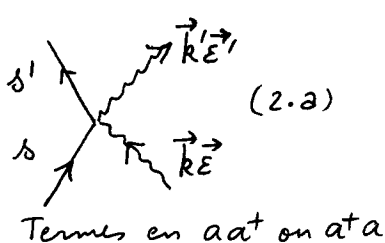


$s$ : nombre quantique du système des particules

$s = \vec{p}, \mu$  pour une particule d'impulsion  $\vec{p}$ , d'état de spin  $\mu$

$s = \vec{k}, b$  pour un atome d'impulsion globale  $\hbar \vec{k}$  (centre de masse), dans l'état interne  $b$

Eléments de matrice de  $H_{I2}$  (termes à 2 pho en  $a^2, a^\dagger a^\dagger, a a^\dagger, a^\dagger a$ )



### Amplitudes

Juxtaposition de lignes de particules ou de photons (associées à des propagations libres) séparées par des "vertex" (associés aux éléments de matrice de  $H_I$  entre l'état arrivant au vertex et l'état partant du vertex). Voir par exemple diagrammes des §§ 2 et 3.

Intégration sur tous les temps intermédiaires et sommation sur tous les états intermédiaires sous-entendues.

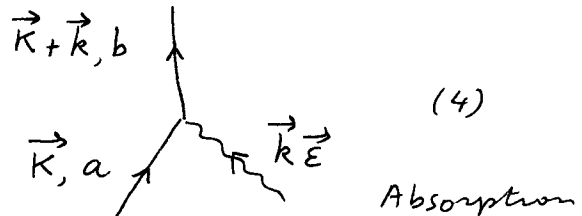
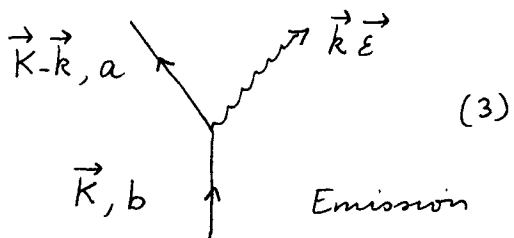
### Quelques résultats généraux

- L'intégration sur les temps intermédiaires fait apparaître une fonction  $\delta^{(T)}(E_f - E_i)$  (fonction delta de largeur  $\hbar/T$  où  $T = t_f - t_i$ ) exprimant la conservation de l'énergie non perturbée à  $\hbar/T$  près entre l'état initial et l'état final.

- L'énergie non perturbée peut par contre n'être pas conservée dans les états intermédiaires (Transitions "virtuelles")  
↳ Dénominateur d'énergie d'autant plus grand que le défaut d'énergie est plus grand.
- Conservation de l'impulsion globale à chaque vertex (Invariance de  $H_{I1}$ ,  $H_{I1}^S$  et  $H_{I2}$  par translation globale)

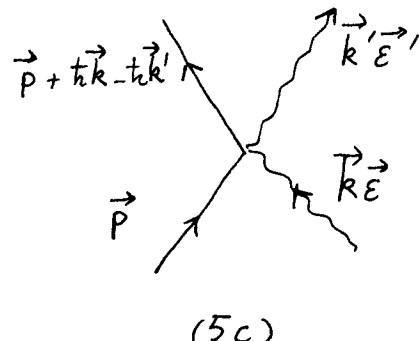
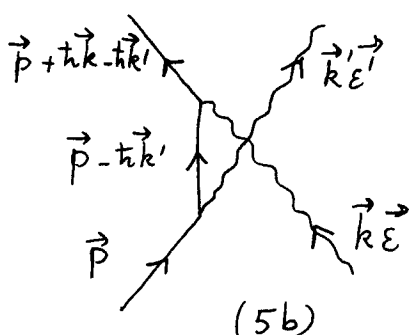
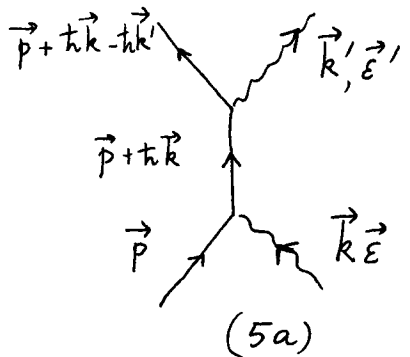
### Exemples de processus physiques

- Emission et absorption de photons par un atome



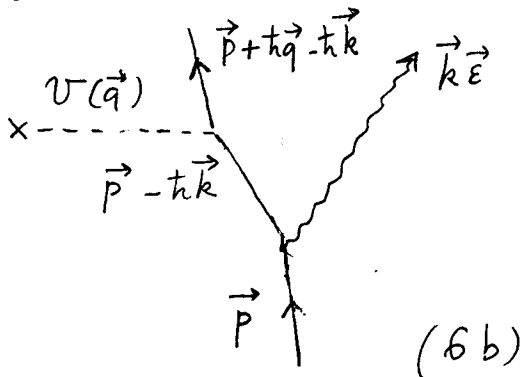
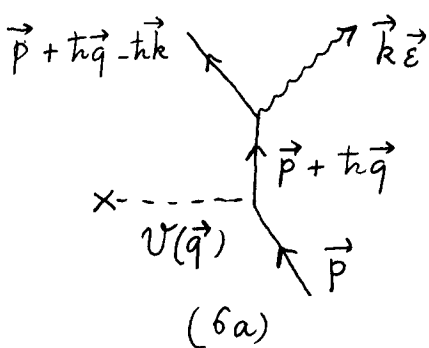
Une particule libre ne pourrait pas émettre ou absorber réellement un photon (impossibilité de conserver l'énergie et l'impulsion globales)

- Diffusion Compton par une particule chargée libre



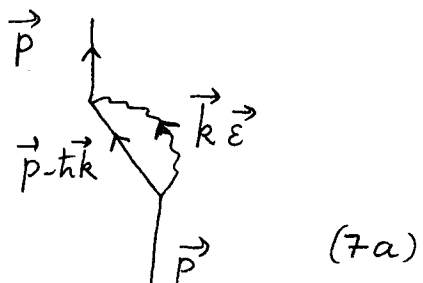
- "Bremsstrahlung"

(Emission d'un photon par une particule chargée en présence d'un potentiel)

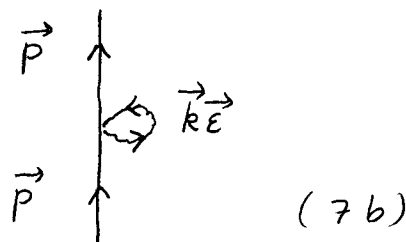


Le potentiel fournit l'impulsion nécessaire pour rendre l'émission d'un photon réel possible.

- Emission et réabsorption d'un photon par une particule chargée [II-4]



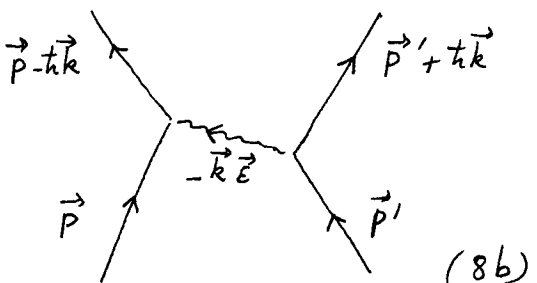
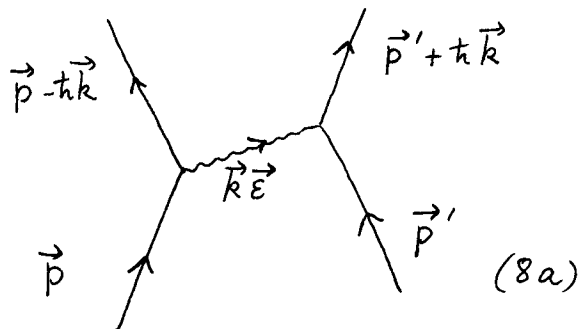
$H_{I1}$  au 2<sup>e</sup> ordre



$H_{I2}$  au 1<sup>e</sup> ordre  
(termes en  $a_{k\bar{\epsilon}} a_{k\bar{\epsilon}}^+$ )

Le photon émis en (7a) ne peut rester indefiniment (car l'énergie n'est pas conservée). Il doit être réabsorbé. Transition réelle de  $| \vec{p}; 0 \rangle$  à  $| \vec{p}; 0 \rangle$  avec une transition virtuelle vers l'état intermédiaire  $| \vec{p}-\hbar\vec{k}; \vec{k}\bar{\epsilon} \rangle$

- Echange d'un photon entre 2 particules chargées



Dans les 2 derniers exemples, un photon est émis et réabsorbé et n'apparaît ni dans l'état initial ni dans l'état final.

De tels photons (émis et réabsorbés) sont appelés parfois photons "virtuels" par opposition aux photons "réels" qui apparaissent dans l'état initial ou final.

Correction de masse pour une particule libre

1 - Effet physique associé au diagramme (7a)

- Amplitude d'ordre 0  $\uparrow \vec{p} + \text{Amplitude (7a)} \left. \begin{array}{c} \vec{p}-\hbar\vec{k} \\ \vec{k}\bar{\epsilon} \end{array} \right\}$
- = Début du développement de  $e^{-i\delta E_1 T/\hbar} = 1 - i\delta E_1 T/\hbar + \dots$   
où  $\delta E_1$  représente le déplacement de l'état  $| \vec{p}; 0 \rangle$  du couplage introduit par  $H_I$  au second ordre avec  $| \vec{p}-\hbar\vec{k}; \vec{k}\bar{\epsilon} \rangle$

$$\delta E_1 = \sum_{\vec{k}\bar{\epsilon}} \frac{| \langle \vec{p}-\hbar\vec{k}; \vec{k}\bar{\epsilon} | H_I, | \vec{p}; 0 \rangle |^2}{\frac{\vec{p}^2}{2m} - (\frac{\vec{p}-\hbar\vec{k}}{2m})^2 - \hbar\omega}$$

Remarque : l'amplitude (7a) est proportionnelle à  $T$  car II - 5  
 $\delta^{(T)}(E_i - E_f)$  se réduit à  $\delta^{(T)}(0)$  puisque  $|\varphi_i\rangle = |\varphi_f\rangle$  et  
 $\delta^{(T)}(0)$  est proportionnel à  $T$  (une fonction de la forme  $t/T$  et  
d'intégrale égale à 1 a une hauteur proportionnelle à  $T$ )

- le diagramme (7a) est donc associé à une correction d'énergie de l'état  $|\vec{p}; 0\rangle$
- Résultats du calcul de  $\delta E_1$  (voir calcul de  $\delta E_1$ , page II-7)

$$\delta E_1 = -\frac{\vec{p}^2}{2m} \frac{\delta m_1}{m} \quad \text{avec} \quad \delta m_1 = \frac{q^2 k_c}{3\pi^2 \epsilon_0 c^2}$$

$k_c$  apparaît dans l'intégrale (divergente) sur  $k$  apparaissant dans l'expression donnant  $\delta E_1$

$$\delta m_1 c^2 = \frac{q^2 k_c}{3\pi^2 \epsilon_0} = \frac{4}{3} \epsilon_{\text{coul}}$$

$$\frac{\delta m_1}{m} = \frac{4}{3} \frac{\alpha}{\pi} \frac{t w_c}{m c^2} \quad \text{avec} \quad \alpha = \frac{q^2}{4\pi \epsilon_0 t c} = \frac{1}{137} \quad w_c = ck_c$$

$$\frac{\delta m_1}{m} \ll 1 \quad \text{si} \quad t w_c \ll m c^2 \quad (\text{Calcul non relativiste})$$

- Interprétation de  $\delta E_1$ . Regroupement de  $\delta E_1$  avec l'énergie non perturbée  $\vec{p}^2/2m$  de l'état  $|\vec{p}\rangle$

$$\frac{\vec{p}^2}{2m} + \delta E_1 = \frac{\vec{p}^2}{2m} \left(1 - \frac{\delta m_1}{m}\right) \simeq \frac{\vec{p}^2}{2(m + \delta m_1)}$$

$\delta m_1$  : corrections de masse pour la particule représentant l'onde électromagnétique (équation de Abraham-Lorentz)

- Fonction d'onde perturbée associée à  $|\vec{p}; 0\rangle$

$$|\tilde{\vec{p}}; 0\rangle = \sqrt{Z} |\vec{p}; 0\rangle + \sum_{\vec{k}\vec{\epsilon}} |\vec{p} - \hbar\vec{k}; \vec{k}\vec{\epsilon}\rangle \frac{\langle \vec{p} - \hbar\vec{k}; \vec{k}\vec{\epsilon} | H_{I1} | \vec{p}; 0 \rangle}{\frac{\vec{p}^2}{2m} - \frac{(\vec{p} - \hbar\vec{k})^2}{2m} - \hbar w}$$

$Z$  : coefficient de normalisation

$$Z = 1 - \sum_{\vec{k}\vec{\epsilon}} \frac{|\langle \vec{p} - \hbar\vec{k}; \vec{k}\vec{\epsilon} | H_{I1} | \vec{p}; 0 \rangle|^2}{[\frac{\vec{p}^2}{2m} - \frac{(\vec{p} - \hbar\vec{k})^2}{2m} - \hbar w]^2}$$

Image d'un nuage de photons virtuels "habillant" la particule.

Équivalent quantique des champs transverses liés à une particule classique en mouvement uniforme (voir cours III)

## 2 Effet physique associé au diagramme 7b

$$\begin{aligned} \delta E_2 &= \langle \vec{p}; 0 | H_{I2} | \vec{p}; 0 \rangle = \frac{q^2}{2m} \langle \vec{p}; 0 | \vec{A}_\perp^2(\vec{r}) | \vec{p}; 0 \rangle \\ &= \sum_{\vec{k}\vec{\epsilon}} \frac{q^2}{2m} \partial_w^2 = \sum_{\vec{k}\vec{\epsilon}} \frac{q^2 \epsilon_w^2}{2m \omega^2} \end{aligned}$$

- Interprétation physique de  $\delta E_2$  : énergie cinétique de vibrations de la charge sous l'effet des "fluctuations du vide"
- Calcul de  $\delta E_2 \rightarrow \delta E_2 = \frac{q^2 h}{8\pi^2 E_0} \frac{k c^2}{m}$
- $\delta E_2 = \delta m_2 c^2$

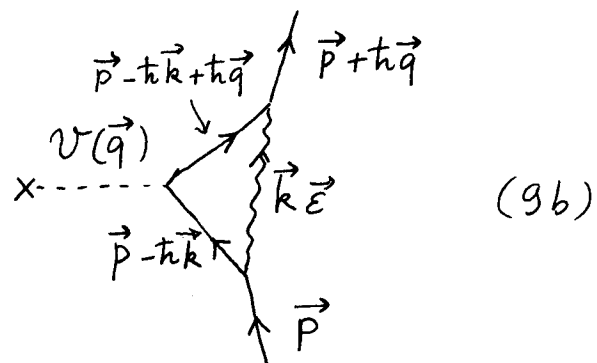
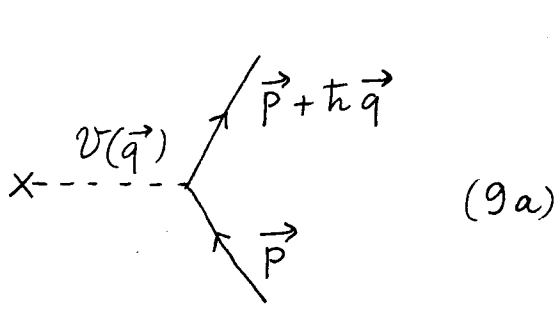
Pourquoi n'apparaît-il pas un terme en  $-\frac{P^2}{2m} \frac{\delta m_2}{\delta m}$  analogue à celui trouvé plus haut pour  $\delta m_1$  ?

$\frac{\delta m_2}{m_2}$  est d'un ordre plus élevé en  $\frac{1}{c}$  que  $\frac{\delta m_1}{m_1}$

$$\frac{\delta m_1}{m} = \frac{4}{3} \frac{\alpha}{\pi} \frac{h \omega_c}{mc^2} \quad \frac{\delta m_2}{m} = \frac{1}{2} \frac{\alpha}{\pi} \left( \frac{h \omega_c}{mc^2} \right)^2$$

Il faut pousser le calcul plus loin en  $1/c$  pour voir apparaître un tel terme

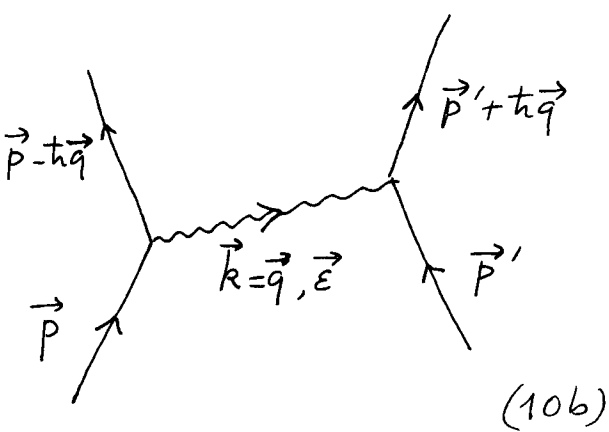
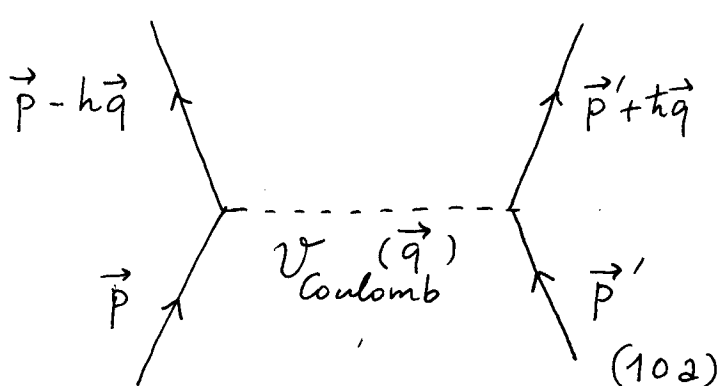
### Corrections radiatives à la diffusion par un potentiel



Le diagramme (9b) est un exemple de processus (faisant intervenir un photon virtuel) qui corrige l'amplitude de diffusion à l'ordre le plus bas associé au diagramme (9a).

Apparition d'un "facteur de forme"  $f(\vec{q})$  qui corrige  $V(\vec{q})$ . Justification de l'image de l'électron vibrant sous l'effet des fluctuations du vide et moyennant le potentiel  $V(\vec{r})$  sur l'étendue de son mouvement de vibrations (Welton).

### Interactions magnétiques et effet de retard



L'amplitude associée à l'échange d'un photon transverse (diagramme 10-b) corrige l'amplitude associée à l'interaction de Coulomb instantanée entre les 2 particules (diagramme 10-a)

L'amplitude 10-b représente donc ~~l'approximation~~ la contribution (d'ordre 2 en  $q$ ) des effets de retard et des effets magnétiques

### Calcul de $\delta E_1$

- Numérateur de l'expression donnant  $\delta E_1$  (bas page II-4)
 
$$\langle \vec{p} - \hbar \vec{k}; \vec{k} \vec{\epsilon} | H_I | \vec{p}; 0 \rangle = -\frac{q}{m} A_\omega \langle \vec{p} - \hbar \vec{k} | \vec{\epsilon} \cdot \vec{p} e^{-i\vec{k} \cdot \vec{r}} | \vec{p} \rangle$$

$$= -\frac{q}{m} A_\omega \vec{\epsilon} \cdot (\vec{p} - \hbar \vec{k}) \langle \vec{p} - \hbar \vec{k} | \vec{p} - \hbar \vec{k} \rangle = -\frac{q}{m} A_\omega \vec{\epsilon} \cdot \vec{p} \quad (\text{car } \vec{\epsilon} \cdot \vec{k} = 0)$$
- Dénominateur
 
$$-\hbar \omega + 2\hbar \frac{\vec{k} \cdot \vec{p}}{m} - \frac{\hbar^2 k^2}{2m}$$

$2^{eue}$  terme plus petit que le  $1^{er}$  par un facteur  $\frac{P}{mc} \sim \frac{v}{c}$

$3^{eue}$  terme plus petit que le  $1^{er}$  par un facteur  $\frac{\hbar \omega}{mc^2}$

Dans le domaine non relativistique ( $\hbar \omega \ll mc^2$ ,  $v \ll c$ ), il est légitime de remplacer le dénominateur par  $-\hbar \omega$
- $\delta E_1 = - \sum_{\vec{k} \vec{\epsilon}} \left( \frac{q}{m} \right)^2 \frac{\hbar}{2\epsilon_0 \omega L^3} \frac{(\vec{\epsilon} \cdot \vec{p})^2}{\hbar \omega}$ 

Si  $L \rightarrow \infty$   $\sum_{\vec{k} \vec{\epsilon}} \sim \frac{L^3}{(2\pi)^3} \int k^2 dk d\Omega \sum_{\vec{\epsilon} \perp \vec{k}}$
- Sommation sur les polarisations  $\sum_{\vec{\epsilon} \perp \vec{k}} \epsilon_i \epsilon_j p_i p_j$  avec  $i, j = x, y, z$ 

$$\epsilon_i \epsilon_j + \epsilon'_i \epsilon'_j + \kappa_i \kappa_j = \delta_{ij}$$

Relations de fermeture sur  $\{\vec{\epsilon}, \vec{\epsilon}', \vec{\kappa} = \vec{k}/k\}$

$$\hookrightarrow \sum_{\vec{\epsilon} \perp \vec{k}} \epsilon_i \epsilon_j = \delta_{ij} - \kappa_i \kappa_j = \delta_{ij} - \frac{\kappa_i \kappa_j}{k^2}$$
- Intégration angulaire sur les angles polaires de  $\vec{k}$   $\int d\Omega \left( \delta_{ij} - \frac{\kappa_i \kappa_j}{k^2} \right) = 4\pi \left( 1 - \frac{1}{3} \right) \delta_{ij} = \frac{8\pi}{3} \delta_{ij}$ 

$$\hookrightarrow \delta E_1 = - \frac{q^2}{m^2 c^2} \frac{1}{6\pi^2 \epsilon_0} \vec{p}^2 \int_0^{k_c} dk$$

$$\hookrightarrow \delta E_1 = - \frac{\vec{p}^2}{2m} \frac{q^2 k_c}{3\pi^2 \epsilon_0 m c^2}$$

① Champ transverse "lié" à une particule classique

- Particule libre en mouvement uniforme
- Particule diffusée par un potentiel. Champ lié et champ rayonné.

② Détermination de la transformation de Pauli-Fierz pour une particule quantique localisée

- Hypothèses simplificatrices. Approximations.
- Définition approchée adoptée pour le champ lié.
- Conditions imposées sur la transformation unitaire  $T$ .
- Calcul de  $T$

③ Transformation de quelques observables

- Transformation des champs transverses
- Transformation des variables dynamiques de la particule

Particule classique libre

Particule  $\alpha$  ( $q_\alpha, m_\alpha$ )

- Vitesse  $\vec{v}_\alpha$  constante :  $\vec{r}_\alpha(t) = \vec{r}_\alpha + \vec{v}_\alpha t$  (1.1)

- Équation d'évolution de la variable normale  $\alpha_E(\vec{k})$  du champ associé à cette particule (appendice A, (A.27) et (A.28))

$$\dot{\alpha}_E(\vec{k}, t) + i\omega \alpha_E(\vec{k}, t) = \frac{i}{\sqrt{2\varepsilon_0 \hbar w (2\pi)^3}} q_\alpha \vec{E} \cdot \vec{v}_\alpha e^{-i\vec{k} \cdot \vec{r}_\alpha(t)} \quad (1.2)$$

Solution générale de cette équation = solution générale de l'équation sans second membre (varié en  $e^{-i\omega t}$  et représente donc un champ libre) + solution particulière de l'équation avec second membre.

- Solution particulière correspondant au régime forcé en  $\exp(-i\vec{k} \cdot \vec{v}_\alpha t)$  (on remplace, dans (1.2),  $\vec{r}_\alpha(t)$  par (1.1))

$$\beta_E(\vec{k}, t) = \frac{i q_\alpha}{\sqrt{2\varepsilon_0 \hbar w (2\pi)^3}} \frac{\vec{E} \cdot \vec{v}_\alpha e^{-i\vec{k} \cdot \vec{r}_\alpha(t)}}{i(\omega - \vec{k} \cdot \vec{v}_\alpha)} \quad (1.3)$$

Représente le champ obtenu quand, partant d'un champ nul

à  $t = -\infty$ , on "branche" lentement le couplage entre la particule et le champ transverse.

$\beta_E(\vec{k}, t)$  donné en (1.3) représente la variable normale du champ transverse créé par la particule et qu'elle entraîne avec elle dans son mouvement uniforme  $\rightarrow$  champ transverse "lié".

Introduction de quelques approximations.

(i) Ordre 1 en  $v_\alpha/c \rightarrow 0$ . On peut négliger  $\vec{k} \cdot \vec{v}_\alpha$  devant  $\omega$  au dénominateur de (1.3)

$$\hookrightarrow \beta_E(\vec{k}, t) = \frac{q_\alpha}{\omega \sqrt{2\varepsilon_0 \hbar \omega (2\pi)^3}} \vec{\epsilon} \cdot \vec{v}_\alpha e^{-i\vec{k} \cdot \vec{r}_\alpha(t)} \quad (1.4)$$

(ii) Si la particule passe près de l'origine, on peut, tant qu'elle reste à une distance  $l$  de 0 telle que  $kl \ll 1$  ( $l \ll \lambda$ ), remplacer dans (1.4)  $e^{-i\vec{k} \cdot \vec{r}_\alpha(t)}$  par 1

(iii) Remplacement de  $\vec{v}_\alpha$  par  $[\vec{P}_\alpha - q_\alpha \vec{A}_{\perp}(\vec{r}_\alpha)]/m_\alpha$   
Si on se limite à l'ordre 1 en  $q_\alpha$ , on peut remplacer  $\vec{v}_\alpha$  par  $\vec{P}_\alpha/m_\alpha$  dans (1.4)

Avec (ii) et (iii), (1.4) devient

$$\beta_E(\vec{k}, t) = \frac{q_\alpha}{m_\alpha \omega \sqrt{2\varepsilon_0 \hbar \omega (2\pi)^3}} \vec{\epsilon} \cdot \vec{P}_\alpha \quad (1.5)$$

Potentiel vecteur transverse associé aux variables normales (1.4)

- Noté  $\vec{A}_{\perp P}$ , car représente le potentiel vecteur transverse lié à la particule (à l'ordre 1 en  $v_\alpha/c$ )
- Report de (1.4) dans la formule (A.30) de l'appendice A

$$\vec{A}_{P\perp}(\vec{r}, t) = \frac{q_\alpha}{2\varepsilon_0 c^2} \frac{1}{(2\pi)^3} \int d^3k \sum_{\vec{\epsilon} \perp \vec{k}} \vec{\epsilon} (\vec{\epsilon} \cdot \vec{v}_\alpha) \frac{e^{i\vec{k} \cdot (\vec{r} - \vec{r}_\alpha(t))}}{k^2} + \text{c.c.} \quad (1.6)$$

Représente la partie transverse du potentiel vecteur

$$\vec{A}_P(\vec{r}, t) = \frac{q_\alpha \vec{v}_\alpha}{\varepsilon_0 c^2} \frac{1}{(2\pi)^3} \int d^3k \frac{e^{i\vec{k} \cdot (\vec{r} - \vec{r}_\alpha(t))}}{k^2} = \frac{q_\alpha \vec{v}_\alpha}{4\pi \varepsilon_0 c^2 |\vec{r} - \vec{r}_\alpha(t)|} \quad (1.7)$$

On reconnaît bien en (1.7) le potentiel vecteur utilisé en électrocinétique pour écrire (au 1<sup>er</sup> ordre en  $v_\alpha/c$ ) le champ magnétique créé par la particule en mouvement et qu'elle entraîne avec elle.

- Si on fait en plus les approximations (ii) et (iii), l'équation (1.6) devient

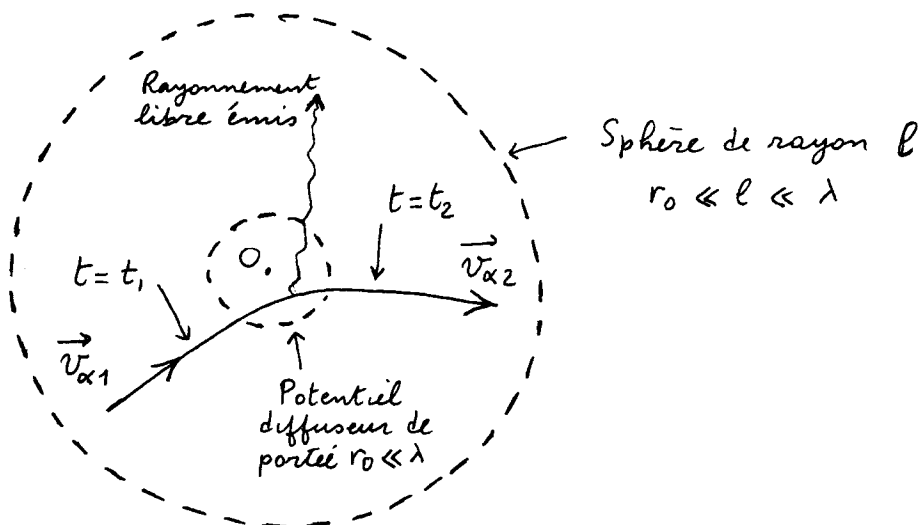
$$\vec{A}_{P\perp}(\vec{r}, t) = \frac{q_\alpha}{\varepsilon_0 m_\alpha c^2} \frac{1}{(2\pi)^3} \int d^3k \sum_{\vec{\epsilon} \perp \vec{k}} \vec{\epsilon} (\vec{\epsilon} \cdot \vec{P}_\alpha) \frac{e^{i\vec{k} \cdot \vec{r}}}{k^2} \quad (1.8)$$

On a limité la somme sur  $k$  à  $k \leq k_m$  avec  $k_m l \ll 1$  (notation  $\int_L$ ) de manière à pouvoir faire l'approximation (ii)

# Particule diffusée par un potentiel

III-3

## Hypothèses sur la diffusion



- Particule libre arrivant avec la vitesse initiale  $\vec{v}_{\alpha 1}$ , diffusé par le potentiel, émettant du rayonnement libre, et partant avec la vitesse finale  $\vec{v}_{\alpha 2}$ .
- On néglige la réaction du rayonnement libre émis par la particule sur son mouvement  $\rightarrow \vec{r}_{\alpha}(t)$  considérée comme une fonction donnée de  $t$
- Portée  $r_0$  du potentiel petite devant la longueur d'onde des modes considérés. La collision peut se dérouler entièrement dans une sphère de rayon  $l \ll \lambda$ , de sorte qu'on peut, avant ( $t \leq t_1$ ) et après ( $t \geq t_2$ ) la collision, remplacer  $\exp(-ik \cdot \vec{r}_{\alpha}(t))$  par 1.

## Équation du mouvement de la variable normale $\alpha_{\epsilon}(\vec{k}, t)$

$$\dot{\alpha}_{\epsilon}(\vec{k}, t) + i\omega \alpha_{\epsilon}(\vec{k}, t) = \frac{i}{\sqrt{2\epsilon_0 \hbar \omega (2\pi)^3}} q_{\alpha} \vec{E} \cdot \vec{v}_{\alpha}(t) \quad (1.9)$$

- Avant collision ( $t \leq t_1$ ) :  $\vec{v}_{\alpha}(t) = \vec{v}_{\alpha 1}$ , pas de rayonnement libre

$$\hookrightarrow \alpha_{\epsilon}(\vec{k}) = \frac{q_{\alpha}}{\omega \sqrt{2\epsilon_0 \hbar \omega (2\pi)^3}} \vec{E} \cdot \vec{v}_{\alpha 1} \quad (1.10)$$

Champ transverse lié à la particule incidente

- Après collision ( $t \geq t_2$ )

$$\alpha_{\epsilon}(\vec{k}, t) = \frac{q_{\alpha}}{\omega \sqrt{2\epsilon_0 \hbar \omega (2\pi)^3}} \vec{E} \cdot \vec{v}_{\alpha 2} + K e^{-i\omega t} \quad (1.11)$$

↑

Solution particulière de  
l'équation avec 2<sup>eme</sup> membre  
Représente le champ transverse  
lié à la particule s'éloignant de O

Solutions de l'équation  
sans 2<sup>eme</sup> membre  
Représente le champ  
de rayonnement libre  
émis par la particule au  
cours de la collision

$K$  : constante d'intégration déterminée par le raccord entre (1.10) et (1.11)

- Intégration de l'équation (1.9) entre  $t_1$  et  $t_2$

III-4

$$\alpha_{\epsilon}(\vec{k}, t_2) = \alpha_{\epsilon}(\vec{k}, t_1) e^{-i\omega(t_2-t_1)} + \frac{i q_{\alpha}}{\sqrt{2\varepsilon_0 \hbar \omega (2\pi)^3}} \int_{t_1}^{t_2} \vec{E} \cdot \vec{v}_{\alpha}(t') e^{i\omega(t'-t_2)} dt' \quad (1.12)$$

Intégration par parties du dernier terme de (1.12), puis comparaison avec (1.10) et (1.11)

$$\hookrightarrow K = - \frac{q_{\alpha}}{\omega \sqrt{2\varepsilon_0 \hbar \omega (2\pi)^3}} \int_{t_1}^{t_2} \vec{E} \cdot \vec{f}_{\alpha}(t') e^{i\omega t'} dt' \quad (1.13)$$

où  $\vec{f}_{\alpha}(t') = \partial \vec{v}_{\alpha}(t') / \partial t'$  est l'accélération de la particule

Comme  $\vec{f}_{\alpha}(t') = \vec{0}$  pour  $t \leq t_1$  et  $t \geq t_2$ , on peut dans (1.13) remplacer  $\int_{t_1}^{t_2}$  par  $\int_{-\infty}^{+\infty}$

$\hookrightarrow$  Le champ rayonné dans le mode  $\vec{k} \vec{E}$  est proportionnel à la composante de Fourier à la fréquence  $\omega$  de la composante sur  $\vec{E}$  de l'accélération de la particule.

Récapitulation des résultats : champ lié et champ rayonné

(i) Le champ rayonné dépend de l'accélération  $\vec{f}_{\alpha}$ .

(ii) Le champ transverse lié dépend de  $\vec{v}_{\alpha}$ . Il n'est pas le même avant et après la collision.

(iii) Comme le champ lié change au cours de la collision, le champ rayonné n'est pas simplement égal à la variation du champ transverse (total) au cours de la collision.

$\hookrightarrow$  Importance de soustraire le champ transverse lié pour déterminer le champ réellement émis.

## Particule quantique localisée

### Hypothèses simplificatrices. Approximations

- 1 seule particule  $\alpha$  (généralisation à plusieurs particules plus loin)
- Potentiel extérieur  $V_e(\vec{r})$ , de portée  $r_0 \ll \lambda$
- La particule reste localisée près de 0, où une distance de l'ordre de  $\ell \ll \lambda$
- On ne tient compte dans le développement en modes que des modes  $k \ll k_m$  avec  $k_m, \ell \ll 1$  (approximation des grandes longueurs d'onde ( $\int_{\vec{k}} = \sum_{k \leq k_m}$ ))

$\hookrightarrow$  Hamiltonien en jauge de Coulomb

$$H = \frac{1}{2m_{\alpha}} [\vec{p}_{\alpha} - q_{\alpha} \vec{A}_1(0)]^2 + \epsilon_{\text{coul}}^{\alpha} + q_{\alpha} V_e(\vec{r}_{\alpha}) + \int_{\vec{k}} d^3k \sum_{\vec{E}} \hbar \omega [a_{\epsilon}^{\dagger}(\vec{k}) a_{\epsilon}(\vec{k}) + \frac{1}{2}] \quad (2.1)$$

$$\vec{A}_L(\vec{r}) = \int d^3k \sum_{\epsilon} \sqrt{\frac{t}{2\epsilon_0 \omega(2\pi)^3}} [\vec{e} \alpha_{\epsilon}(\vec{k}) + \vec{e} \alpha_{\epsilon}^+(\vec{k})]$$

Définition approchée adoptée pour le champ lié

- A chaque instant  $t$ , l'état dynamique d'une particule classique évoluant dans  $V_e(\vec{r})$  caractérisé par  $\{\vec{r}_x, \vec{p}_x\}$ . A cause de  $V_e(\vec{r})$ ,  $\vec{p}_x$  change au cours du temps.
- Variable normale du champ transverse lié à une particule en mouvement uniforme et d'état dynamique  $\vec{r}_x, \vec{p}_x$  à  $t$  (mouvement uniforme "tangent" à  $t$  au mouvement réel étudié ici) :  $\beta_e(\vec{k})$  donné en (1.5). Potentiel vecteur correspondant donné en (1.8).
- Dans le § 1b précédent, on n'a considéré le champ lié que dans les états asymptotiques ( $t \leq t_1$  et  $t \geq t_2$ ) où la particule est libre. Ici, même lorsque la particule n'est pas libre ( $r \leq r_0$ ), nous prenons (1.5) et (1.8) pour définir le champ lié à la particule d'état dynamique  $\vec{r}_x, \vec{p}_x$  (champ lié au mouvement uniforme tangent à chaque instant  $t$ ).
- En théorie quantique,  $\vec{r}_x$  et  $\vec{p}_x$  deviennent des opérateurs.  $\beta_e(\vec{k})$  et  $\hat{A}_{PL}(\vec{r})$  deviennent des opérateurs de particules (ne dépendant que de  $\vec{p}_x$ ).

Conditions imposées sur la transformation unitaire  $T$ .

Point de vue (1)

Coulomb

Transfo unitaire

$$\overrightarrow{TT^+ = T^+T = 1}$$

Point de vue (2)

Pauli - Fierz

- Dans le point de vue (1),  $\alpha_e(\vec{k})$  est un opérateur d'annihilation associé au champ transverse total.
- Dans le point de vue (2), au même champ total est associé l'opérateur  $T \alpha_e(\vec{k}) T^+$ .
- Supposons que  $T$  soit tel que
 
$$\left\{ \begin{array}{l} T \alpha_e(\vec{k}) T^+ = \alpha_e(\vec{k}) + \beta_e(\vec{k}) = \alpha_e(\vec{k}) + \frac{q_x \vec{E} \cdot \vec{p}_x}{m_x \omega \sqrt{2\epsilon_0 \hbar \omega (2\pi)^3}} \\ T \alpha_e^+(\vec{k}) T^+ = \alpha_e^+(\vec{k}) + \beta_e(\vec{k}) = \alpha_e^+(\vec{k}) + \frac{q_x \vec{E} \cdot \vec{p}_x}{m_x \omega \sqrt{2\epsilon_0 \hbar \omega (2\pi)^3}} \end{array} \right.$$

Au champ total alors associé dans le point de vue (2) l'opérateur  $\alpha_e(\vec{k}) + \beta_e(\vec{k})$ . Comme, avec la définition prise plus haut,  $\beta_e(\vec{k})$  représente le champ lié (on verra plus loin que cette propriété reste valable dans le point de vue (2)), on en déduit que, dans le point de vue (2),  $\alpha_e(\vec{k})$  est associé au champ libre (champ total - champ lié).

## Calcul de $T$

III - 6

- Les opérateurs  $\beta_{\epsilon}(\vec{k})$ ,  $\beta_{\epsilon'}(\vec{k}')$ ... commutent entre eux (puisque ils ne dépendent que de l'opérateur atomique  $\vec{P}_{\alpha}$ ) et commutent avec les opérateurs de rayonnement  $a_{\epsilon}$  et  $a_{\epsilon}^+$ .
- La transformation  $a_{\epsilon} \rightarrow a_{\epsilon} + \beta_{\epsilon}$ ,  $a_{\epsilon}^+ \rightarrow a_{\epsilon}^+ + \beta_{\epsilon}$  conserve donc les relations de commutations entre les  $a$  et  $a^+$ . C'est donc bien une transformation unitaire  $T$  qui est une translation des  $a$  et  $a^+$ , donnée par

$$T = \exp \left\{ \int d^3k \sum_{\epsilon} \beta_{\epsilon}(\vec{k}) [a_{\epsilon}(\vec{k}) - a_{\epsilon}^+(\vec{k})] \right\} \quad (2.4)$$

Pour démontrer que (2.4) redonne bien (2.3), il suffit d'utiliser l'identité de Glauber

$$e^{A+B} = e^A e^B e^{-\frac{1}{2}[A, B]} \quad (2.5)$$

valable si  $A$  et  $B$  commutent avec  $[A, B]$ , et l'identité

$$[a, f(a^+)] = \frac{\partial f(a^+)}{\partial a^+} \quad (2.6)$$

## Autre expression de $T$

- Comme  $\beta_{\epsilon}(\vec{k})$  est proportionnel à  $\vec{P}_{\alpha}$ , on peut mettre  $\vec{P}_{\alpha}$  en facteur dans l'argument de l'exponentielle de (2.4)

$$\hookrightarrow T = \exp \left[ \frac{i}{\hbar} \frac{q_{\alpha}}{m_{\alpha}} \vec{P}_{\alpha} \cdot \vec{Z}(\vec{0}) \right] \quad (2.7)$$

où  $\vec{Z}(\vec{r}) = \int d^3k \sum_{\epsilon} \sqrt{\frac{\hbar}{2\epsilon_0 \omega (2\pi)^3}} \left[ \vec{\epsilon} \frac{a_{\epsilon}(\vec{k})}{i\omega} e^{i\vec{k} \cdot \vec{r}} - \vec{\epsilon} \frac{a_{\epsilon}^+(\vec{k})}{i\omega} e^{-i\vec{k} \cdot \vec{r}} \right]$  (2.8)

est un opérateur champ, appelé parfois "vecteur de Hertz"

- Pour le champ libre,  $\dot{a} = -i\omega a$ ,  $\dot{a}^+ = i\omega a^+$ , de sorte que

$$\begin{aligned} \vec{Z}(\vec{r}) &= - \int d^3k \sum_{\epsilon} \sqrt{\frac{\hbar}{2\epsilon_0 \omega (2\pi)^3}} \left[ \vec{\epsilon} a_{\epsilon}(\vec{k}) e^{i\vec{k} \cdot \vec{r}} + \vec{\epsilon} a_{\epsilon}^+(\vec{k}) e^{-i\vec{k} \cdot \vec{r}} \right] \\ &= - \vec{A}_L(\vec{r}) \end{aligned} \quad (2.9)$$

Pour le champ libre,  $\vec{Z}$  est donc pour  $\vec{A}_L$  ce que  $\vec{A}_L$  est pour  $\vec{E}_L$  ( $\vec{A}_L = -\vec{E}_L$ ) .

## Transformation du potentiel vecteur transverse

- L'opérateur mathématique

$$\vec{A}_L(\vec{r}) = \int d^3k \sum_{\epsilon} \sqrt{\frac{\hbar}{2\epsilon_0 \omega (2\pi)^3}} \left[ \vec{\epsilon} a_{\epsilon}(\vec{k}) e^{i\vec{k} \cdot \vec{r}} + \vec{\epsilon} a_{\epsilon}^+(\vec{k}) e^{-i\vec{k} \cdot \vec{r}} \right] \quad (2.10)$$

représente dans le point de vue (1) le potentiel vecteur transverse

$$\vec{A}_L(\vec{r}) = \vec{A}_L^{(1)}(\vec{r}) \quad (2.11)$$

- Dans le point de vue (2), l'opérateur représentant le potentiel vecteur transverse, noté  $\vec{A}_\perp^{(2)}$  est le transformé de  $\vec{A}_\perp^{(1)}$  par  $T$

$$\vec{A}_\perp^{(2)}(\vec{r}) = T \vec{A}_\perp^{(1)}(\vec{r}) T^+ \quad (2.12)$$

D'après (2.3) (2.10 et 2.11)

$$\vec{A}_\perp^{(2)}(\vec{r}) = \vec{A}_\perp(\vec{r}) + \vec{A}_{\perp P}(\vec{r}) \quad (2.13)$$

où  $\vec{A}_{\perp P}(\vec{r})$  est l'opérateur obtenu en remplaçant dans (2.10)  $a_\varepsilon$  par  $\beta_\varepsilon$  et  $a_\varepsilon^+$  par  $\beta_\varepsilon^+$ , c'est à dire encore (1.8).

- L'opérateur (1.8) représente dans le point de vue (1) le potentiel vecteur transverse lié

$$\vec{A}_{\perp P}(\vec{r}) = \vec{A}_{\perp P}^{(1)}(\vec{r}) \quad (2.14)$$

Comme  $T$  commute avec  $\vec{P}_\alpha$ , et donc avec  $\vec{A}_{\perp P}$

$$\vec{A}_{\perp P}^{(2)}(\vec{r}) = T \vec{A}_{\perp P}^{(1)}(\vec{r}) T^+ = \vec{A}_{\perp P}^{(1)}(\vec{r}) = \vec{A}_{\perp P}(\vec{r}) \quad (2.15)$$

- On peut donc écrire (2.13) sous la forme

$$\vec{A}_\perp(\vec{r}) = \vec{A}_\perp^{(2)}(\vec{r}) - \vec{A}_{\perp P}(\vec{r}) = \vec{A}_\perp^{(2)}(\vec{r}) - \vec{A}_{\perp P}^{(2)}(\vec{r}) \quad (2.16)$$

Dans le point de vue (2), l'opérateur  $\vec{A}_\perp(\vec{r})$  écrit en (2.10) représente donc le potentiel vecteur total moins le potentiel vecteur lié, c'est à dire le potentiel vecteur libre.

### Transformations du champ électrique transverse

$$\vec{E}_\perp(\vec{r}) = i \int d^3k \sum_{\vec{\varepsilon}} \left[ \vec{\varepsilon} a_\varepsilon(\vec{k}) e^{i\vec{k}\cdot\vec{r}} - \vec{\varepsilon} a_\varepsilon^+(\vec{k}) e^{-i\vec{k}\cdot\vec{r}} \right] = \vec{E}_\perp^{(1)}(\vec{r}) \quad (2.17)$$

$$\hookrightarrow \vec{E}_\perp^{(2)}(\vec{r}) = T \vec{E}_\perp^{(1)}(\vec{r}) T^+ = \vec{E}_\perp(\vec{r}) + \vec{E}_{\perp P}(\vec{r}) \quad (2.18)$$

où  $\vec{E}_{\perp P}(\vec{r}) = i \int d^3k \left[ \vec{\varepsilon} \beta_\varepsilon(\vec{k}) e^{i\vec{k}\cdot\vec{r}} - \vec{\varepsilon} \beta_\varepsilon^+(\vec{k}) e^{-i\vec{k}\cdot\vec{r}} \right] = \vec{0}$  (2.19)

Interprétation : le champ électrique transverse lié est d'ordre 2 en  $v_\alpha/c$ , et n'apparaît donc pas dans le calcul d'ordre 1 fait ici.

### Transformations de la position de la particule

- Dans le point de vue (1), la position de la particule  $\alpha$ , notée  $\vec{r}_\alpha^{(1)}$ , est représentée par l'opérateur  $\vec{r}_\alpha$  (multiplication par  $\vec{r}_\alpha$ )

$$\vec{r}_\alpha^{(1)} = \vec{r}_\alpha \quad (2.20)$$

- Dans le point de vue (2), la position de la particule  $\alpha$ , notée  $\vec{r}_\alpha^{(2)}$ , est représentée par

$$\vec{r}_\alpha^{(2)} = T \vec{r}_\alpha^{(1)} T^+ = T \vec{r}_\alpha T^+ \quad (2.21)$$

- Comme  $\vec{P}_\alpha$  commute avec  $\vec{Z}(\vec{o})$  dans (2.7),  $T$  est III-8 aussi un opérateur de translation pour  $\vec{r}_\alpha$

$$T \vec{r}_\alpha T^+ = \vec{r}_\alpha + \frac{q_\alpha}{m_\alpha} \vec{Z}(\vec{o}) \quad (2.22)$$

$$\hookrightarrow \vec{r}_\alpha^{(2)} = \vec{r}_\alpha + \frac{q_\alpha}{m_\alpha} \vec{Z}(\vec{o}) \quad (2.23)$$

Le dernier terme de (2.23) a la même forme dans les 2 points de vue puisque  $\vec{Z}(\vec{o})$  commute avec  $T$  et sera noté  $\vec{\xi}_\alpha$

$$\vec{\xi}_\alpha = \frac{q_\alpha}{m_\alpha} \vec{Z}(\vec{o}) = \vec{\xi}_\alpha^{(1)} = \vec{\xi}_\alpha^{(2)} \quad (2.24)$$

- Interprétation de  $\vec{\xi}_\alpha$

A l'ordre le plus en bas en  $q_\alpha$ , on peut considérer que le champ libre pour calculer  $m_\alpha \ddot{\vec{\xi}}_\alpha = q_\alpha \ddot{\vec{Z}}(\vec{o})$

Or, pour le champ libre, d'après (2.9)

$$m_\alpha \ddot{\vec{\xi}}_\alpha = q_\alpha \ddot{\vec{Z}}(\vec{o}) = -q_\alpha \dot{\vec{A}}_L(\vec{o}) = q_\alpha \vec{E}_L(\vec{o}) \quad (2.25)$$

$\vec{\xi}_\alpha$  représente donc le mouvement de vibrations de la particule si elle n'était soumise qu'au champ libre (champ incident, fluctuations du vide).

- Dans le point de vue (2), l'opérateur  $\vec{r}_\alpha$  s'écrit d'après (2.23), (2.24)

$$\vec{r}_\alpha = \vec{r}_\alpha^{(2)} - \vec{\xi}_\alpha = \vec{r}_\alpha^{(2)} - \vec{\xi}_\alpha^{(2)} \quad (2.26)$$

et représente donc la position "moyenne" autour de laquelle la particule effectue le mouvement de vibrations  $\vec{\xi}_\alpha^{(2)}$ . Cette position moyenne sera notée  $\vec{r}'_\alpha^{(2)}$

$$\vec{r}_\alpha = \vec{r}'_\alpha^{(2)} \quad (2.27)$$

### Transformation de l'impulsion de la particule

- Comme  $\vec{P}_\alpha$  commute avec  $T$

$$\vec{P}_\alpha = \vec{P}_\alpha^{(1)} = \vec{P}_\alpha^{(2)} \quad (2.28)$$

- Nous verrons plus loin, après avoir calculé l'hamiltonien total  $H^{(2)}$  dans le point de vue (2) que

$$m_\alpha \dot{\vec{r}}'_\alpha^{(2)} = \frac{1}{i\hbar} [\vec{r}'_\alpha^{(2)}, H^{(2)}] = \frac{1}{i\hbar} [\vec{r}_\alpha, H^{(2)}] = \vec{P}_\alpha = \vec{P}_\alpha^{(2)} \quad (2.29)$$

$\vec{P}_\alpha / m_\alpha$  représente donc, dans le point de vue (2), la vitesse du mouvement moyen de la particule.

### Références

- W. Pauli and M. Fierz, Nuovo Cimento 15, 167 (1938)
- "Photons et Atomes - Les processus d'interaction"  
Tome II, Complément BII  
C.C.T., J. Dupont-Roc, G. Grunberg  
Intéditions - Editions du CNRS , à paraître en 1988

(4) Etude du nouvel hamiltonien

a) Calcul de l'hamiltonien transformé

b) Discussion physique

- Sens physique de  $\vec{P}_\alpha$  dans le nouveau point de vue
- Corrections de masse
- Nouveaux termes d'interactions charge-rayonnement
- Interprétation des autres termes

c) Disparition des termes d'interactions linéaires en  $q_\alpha$ .

(5) Généralisations à 2 particules localisées

a) Nouvelle expression de la transformation

b) Nouvel hamiltonien

c) Interprétation physique des nouveaux termes  
Interactions magnétiques et effets de retard.

Calcul de  $H^{(2)} = T H^{(1)} T^+$  ( $H^{(1)}$  étant donné par (2.1))

Transformé du terme d'énergie cinétique

- D'après (2.13) et (2.28)

$$T \frac{1}{2m_\alpha} [\vec{P}_\alpha - q_\alpha \vec{A}_L(\vec{0})]^2 T^+ = \frac{1}{2m_\alpha} [\vec{P}_\alpha - q_\alpha \vec{A}_L(\vec{0}) - q_\alpha \vec{A}_{LP}(\vec{0})]^2 \quad (4.1)$$

- Calcul de  $q_\alpha \vec{A}_{LP}(\vec{0})$ . D'après (1.8)

$$q_\alpha (\vec{A}_{LP}(\vec{0}))_i = \frac{q_\alpha^2}{\epsilon_0 m_\alpha c^2} \frac{1}{(2\pi)^3} \int_0^{k_M} k^2 dk \int d\Omega \sum_{\vec{k} \perp \vec{k}} \frac{\epsilon_i \epsilon_j P_{\alpha j}}{k^2} \quad (4.2)$$

avec  $i, j = x, y, z$ . Mêmes types de calculs que page II-7

$$\sum_{\vec{k} \perp \vec{k}} \epsilon_i \epsilon_j = \delta_{ij} - \frac{k_i k_j}{k^2} \quad \int d\Omega \left( \delta_{ij} - \frac{k_i k_j}{k^2} \right) = \frac{8\pi}{3}$$

$$\hookrightarrow q_\alpha \vec{A}_{LP}(\vec{0}) = \vec{P}_\alpha \frac{q_\alpha^2 k_M}{3\pi^2 \epsilon_0 m_\alpha c^2} = \vec{P}_\alpha \frac{\delta m_{1\alpha}}{m_\alpha} \quad (4.3)$$

où  $\delta m_{1\alpha}$  est la correction de masse étudiée page (II.5) pour la particule  $\alpha$  (on prend  $k_c = k_M$ )

-  $\delta m_{1\alpha}$  est d'ordre 2 en  $q_\alpha$ . Si l'on ne garde que les termes jusqu'à l'ordre 2 inclus, on peut négliger les termes en  $\delta m_{1\alpha}^2$  et en  $q_\alpha \delta m_{1\alpha} \vec{A}_L(\vec{0})$

$$\hookrightarrow T \frac{1}{2m_\alpha} [\vec{P}_\alpha - q_\alpha \vec{A}_L(\vec{0})]^2 T^+ \approx \frac{\vec{P}_\alpha^2}{2m_\alpha} - \frac{q_\alpha}{m_\alpha} \vec{P}_\alpha \cdot \vec{A}_L(\vec{0}) + \frac{q_\alpha^2}{2m_\alpha} \vec{A}_L(\vec{0})^2 - \frac{\vec{P}_\alpha^2}{2m_\alpha} \frac{2\delta m_{1\alpha}}{m_\alpha} \quad (4.4)$$

## Transformé du terme d'énergie potentielle

IV - 2

- D'après (2.23) et (2.24)

$$T V_e(\vec{r}_\alpha) T^+ = V_e(\vec{r}_\alpha + \frac{q_\alpha}{m_\alpha} \vec{Z}(\vec{0})) \quad (4.5)$$

$$- \text{Par ailleurs } T \epsilon_{\text{Coul}}^\alpha T^+ = \epsilon_{\text{Coul}}^\alpha \quad (4.6)$$

$$\text{Transformé de } H_R = \int \sum_k \hbar \omega [a_\epsilon^+(\vec{k}) a_\epsilon(\vec{k}) + \frac{1}{2}]$$

- D'après (2.3),

$$\begin{aligned} T H_R T^+ &= \int \sum_k \hbar \omega \left\{ [a_\epsilon^+(\vec{k}) + \beta_\epsilon(\vec{k})] [a_\epsilon(\vec{k}) + \beta_\epsilon(\vec{k})] + \frac{1}{2} \right\} \\ &= H_R + \int \sum_k \hbar \omega [a_\epsilon^+(\vec{k}) + a_\epsilon(\vec{k})] \beta_\epsilon(\vec{k}) + \int \sum_k \hbar \omega \beta_\epsilon(\vec{k}) \beta_\epsilon(\vec{k}) \end{aligned} \quad (4.7)$$

- En utilisant (1.5), on trouve que le 2<sup>e</sup> terme de (4.5) vaut  $q_\alpha \vec{P}_\alpha \cdot \vec{A}_\perp(\vec{0}) / m_\alpha$  et que le 3<sup>e</sup> vaut

$$\int \sum_k \hbar \omega (\vec{\epsilon} \cdot \vec{P}_\alpha)^2 \frac{q_\alpha^2}{m_\alpha^2} \frac{\hbar}{2\epsilon_0 \omega (2\pi)^3} \frac{1}{\hbar \omega}$$

c'est à dire d'après le cours II (page II-7)  $\frac{\vec{P}_\alpha^2}{2m_\alpha} \frac{\delta m_{1\alpha}}{m_\alpha}$

$$\hookrightarrow T H_R T^+ = H_R + \frac{q_\alpha}{m_\alpha} \vec{P}_\alpha \cdot \vec{A}_\perp(\vec{0}) + \frac{\vec{P}_\alpha^2}{2m_\alpha} \frac{\delta m_{1\alpha}}{m_\alpha} \quad (4.8)$$

Récapitulation On ajoute (4.4), (4.5), (4.6), (4.8)

A l'ordre 2 inclus en  $\vec{P}_\alpha$ , on peut écrire

$$\frac{\vec{P}_\alpha^2}{2m_\alpha} \left(1 - \frac{\delta m_{1\alpha}}{m_\alpha}\right) \sim \frac{\vec{P}_\alpha^2}{2m_{\alpha}^*} \quad \text{où } m_{\alpha}^* = m_\alpha + \delta m_{1\alpha} \quad (4.9)$$

est la masse corrigée

$$\hookrightarrow H^{(2)} = \frac{\vec{P}_\alpha^2}{2m_{\alpha}^*} + \epsilon_{\text{Coul}}^\alpha + V_e(\vec{r}_\alpha + \frac{q_\alpha}{m_\alpha} \vec{Z}(\vec{0})) + H_R + \frac{q_\alpha^2}{2m_\alpha} \vec{A}_\perp(\vec{0}) \quad (4.10)$$

Interprétation de  $\vec{P}_\alpha$  dans le nouveau point de vue (2)

$$\dot{\vec{r}}_\alpha = \frac{1}{i\hbar} [\vec{r}_\alpha, H^{(2)}] = \frac{\partial H^{(2)}}{\vec{P}_\alpha} = \frac{\vec{P}_\alpha}{m_{\alpha}^*} \quad (4.11)$$

Comme  $\vec{r}_\alpha$  représente dans le point de vue (2) la position moyenne de la particule (voir § 3 plus haut), l'équation (4.11) montre que  $\vec{P}_\alpha$  est la quantité de mouvement associée au mouvement moyen de la particule  $\alpha$  ayant une masse corrigée  $m_{\alpha}^*$ .

$\hookrightarrow \vec{P}_\alpha^2 / 2m_{\alpha}^*$  est donc l'énergie cinétique du mouvement moyen

## Correction de masse

- La correction de masse  $\delta m_{1\alpha}$  associée au processus (7a) de la page (II-4) dans le point de vue de Coulomb (1), apparaît maintenant directement dans l'hamiltonien des particules

- Origine de la correction en  $-\frac{\vec{p}_\alpha^2}{2m_\alpha} \frac{\delta m_\alpha}{m_\alpha}$

IV-3

Dernier terme de (4.4) + Dernier terme de (4.8)

Négatif  
Energie d'interaction  
 $-q_\alpha \vec{p}_\alpha \cdot \vec{A}_{LP}(\vec{0}) / m_\alpha$   
entre la particule et  
son champ transverse lié

Positif  
Energie du champ  
transverse lié

Le 1<sup>er</sup> terme est 2 fois plus grand en module que le second, ce qui explique le signe - global.

### Nouveaux termes d'interaction

- Développement du 3<sup>ème</sup> terme de (4.10) en puissances de  $q_\alpha$

$$V_e(\vec{r}_\alpha + \frac{q_\alpha}{m_\alpha} \vec{Z}(\vec{0})) = V_e(\vec{r}_\alpha) + \frac{q_\alpha}{m_\alpha} \vec{Z}(\vec{0}) \cdot \vec{\nabla} V_e(\vec{r}_\alpha) + \\ + \frac{1}{2} \frac{q_\alpha^2}{m_\alpha^2} \sum_{\substack{i,j= \\ x,y,z}} Z_i(\vec{0}) Z_j(\vec{0}) \nabla_i \nabla_j V_e(\vec{r}_\alpha) + \dots \quad (4.12)$$

C'est uniquement dans (4.11) qui apparaissent des termes contenant à la fois des opérateurs de particules et des opérateurs de rayonnement, donc des termes d'interaction.

- Interprétation du terme en  $q_\alpha \vec{Z} \cdot \vec{\nabla} V_e / m_\alpha$

Terme linéaire en  $\vec{Z}$ , donc en  $a$  et  $a^\dagger$ . Décrit donc des absorptions ou émissions d'un photon

Or,  $-\vec{\nabla} V_e(\vec{r}_\alpha)$  est la force extérieure (due à  $V_e$ ) agissant sur la particule, proportionnelle à l'accélération de son mouvement dans le potentiel extérieur.

↳ Le nouveau terme d'interaction à 1 photon dépend donc de l'accélération de la particule dans le potentiel extérieur et du vecteur de Hertz.

- Interprétation du dernier terme de (4.12)

Si le champ de rayonnement est dans l'état vide, le terme en  $\vec{Z} \cdot \vec{\nabla} V_e$  a une valeur moyenne nulle. Le dernier a une valeur moyenne non nulle (provenant des termes  $i=j$  par suite de l'isotropie du vide) qui vaut

$$\frac{1}{6} \frac{q_\alpha^2}{m_\alpha^2} \langle \vec{Z}^2(\vec{0}) \rangle_{\text{vide}} \Delta V_e(\vec{r}_\alpha) \quad (4.13)$$

Interprétation : correction à l'énergie potentielle due au moyennage par l'électron du potentiel extérieur sur l'étendue de son mouvement de vibrations sous l'effet de fluctuations du vide)

Image de Welton pour le Lamb-shift.

## Interprétation des autres termes (dans le point de vue 2) IV-4

- $H_R$  : énergie du rayonnement libre (non lié), c'est à dire des photons réels
- Terme  $\frac{q_x^2 \vec{A}_L^2(\vec{0})}{2m_x}$ . Pour un rayonnement libre,  $\vec{A}_L(\vec{0}) = -\vec{Z}(\vec{0})$ 

$$\hookrightarrow \frac{q_x^2}{2m_x} \vec{A}_L^2(\vec{0}) = \frac{q_x^2}{2m_x} \vec{Z}^2(\vec{0}) = \frac{m_x}{2} \dot{\xi}_x^2 \quad (4.14)$$

Energie cinétique du mouvement de vibration de la particule dans le champ de rayonnement libre.

## Disparition des termes d'interaction linéaires en $q_x$

- A l'ordre 0 en  $q_x$ , chacun des 2 systèmes, la particule et le champ de rayonnement, évolue librement.
- A l'ordre 1 en  $q_x$ , chaque système répond linéairement à la perturbation exercée sur lui par le mouvement libre de l'autre.
 

Par exemple, le mouvement libre de la particule (non perturbé par le rayonnement) fait apparaître un champ transverse linéaire en  $q_x$ , le champ lié  $\vec{A}_{LP}$ .

De même, le mouvement libre du champ (non perturbé par la particule) induit un mouvement de vibration forcée  $\vec{\xi}_x$  de la particule, linéaire en  $q_x$ .
- La transformation T revient à soustraire à chaque observable d'un système la réponse linéaire de cette observable à la perturbation exercée par le mouvement libre de l'autre système. C'est ce qui expriment les relations (2.16) et (2.26).
 

Dans le nouveau point de vue (2), les observables décrivent donc les écarts des différentes grandeurs physiques par rapport aux réponses linéaires.
- Il ne doit donc plus exister dans  $H^{(2)}$  de termes d'interaction linéaires en  $q_x$ , car, s'il en restait, ces termes donneraient naissance à des réponses linéaires qui ne doivent plus apparaître après la transformation T.
- C'est bien ce qu'on vérifie sur les 2 derniers termes de (4.12), qui représentent l'hamiltonien d'interaction dans le point de vue (2).
 

(Ne pas oublier que le "potentiel" extérieur  $V_e$  est lui-même en  $q_x$ , car  $V_e$  est en fait une énergie potentielle provenant de l'interaction de  $q_x$  avec un potentiel extérieur  $V_e$  :  $V_e = q_x V_e$ ).

## Généralisation à 2 particules localisées

IV-5

- 2 particules A et B, de positions  $\vec{r}_A$  et  $\vec{r}_B$ , localisées autour de 2 points  $\vec{R}_A$  et  $\vec{R}_B$  ( $|\vec{r}_A - \vec{R}_A|, |\vec{r}_B - \vec{R}_B| \ll 1/\text{km}$ )

$$H^{(1)} = H_A + H_B + V_{AB}^{\text{Coul}} + H_R \quad (5.1)$$

$$H_\alpha = \frac{1}{2m_\alpha} [\vec{P}_\alpha - q_\alpha \vec{A}(\vec{R}_\alpha)]^2 + \epsilon_\alpha^\text{ext} + V_e(\vec{r}_\alpha) \quad (\alpha = A, B) \quad (5.2)$$

$$H_R = \int_C d^3k \sum_\epsilon \hbar \omega [\alpha_\epsilon^+(\vec{k}) \alpha_\epsilon(\vec{k}) + \frac{1}{2}] \quad (5.3)$$

$$V_{AB}^{\text{Coul}} = \frac{q_A q_B}{4\pi\epsilon_0 |\vec{r}_A - \vec{r}_B|} \quad (5.4)$$

- Variables normales du champ transverse lié aux 2 particule

$$\beta_\epsilon(\vec{k}) = [\beta_\epsilon(\vec{k})]_A + [\beta_\epsilon(\vec{k})]_B \quad \begin{matrix} \text{(généralisation de 1.4)} \\ \text{avec } e^{-i\vec{k}\cdot\vec{r}_\alpha} \text{ remplacé par } e^{-i\vec{k}\cdot\vec{R}_\alpha} \\ \text{et } \vec{v}_\alpha \text{ remplacé par } \vec{P}_\alpha/m_\alpha \end{matrix} \quad (5.5)$$

$$[\beta_\epsilon(\vec{k})]_\alpha = \frac{q_\alpha}{m_\alpha \omega} \frac{1}{\sqrt{2\epsilon_0 \hbar \omega (2\pi)^3}} \vec{e} \cdot \vec{P}_\alpha \exp(-i\vec{k} \cdot \vec{R}_\alpha) \quad (\alpha = A, B) \quad (5.6)$$

- Potentiel vecteur transverse lié (généralisation de 1.6 avec  $\vec{r}_\alpha$  remplacé par  $\vec{R}_\alpha$ )

$$\vec{A}_{\perp P}(\vec{r}) = [\vec{A}_{\perp P}(\vec{r})]_A + [\vec{A}_{\perp P}(\vec{r})]_B \quad (5.7)$$

$$[\vec{A}_{\perp P}(\vec{r})]_\alpha = \frac{q_\alpha}{2m_\alpha \epsilon_0 c^2} \int_C \frac{d^3k}{(2\pi)^3} \sum_\epsilon \frac{\vec{e}(\vec{e} \cdot \vec{P}_\alpha)}{k^2} e^{i\vec{k} \cdot (\vec{r} - \vec{R}_\alpha)} + \text{c.c.} \quad (\alpha = A, B) \quad (5.8)$$

- Nouvelle transformation

$$T = \exp \left[ \frac{i}{\hbar} \sum_{\alpha=A,B} \frac{q_\alpha}{m_\alpha} \vec{P}_\alpha \cdot \vec{Z}(\vec{R}_\alpha) \right] \quad (5.9)$$

- Transformé de  $\vec{A}_\perp(\vec{r})$

$$T \vec{A}_\perp(\vec{r}) T^+ = \vec{A}_\perp(\vec{r}) + [\vec{A}_{\perp P}(\vec{r})]_A + [\vec{A}_{\perp P}(\vec{r})]_B \quad (5.10)$$

- Transformé de  $\vec{r}_\alpha$

$$T \vec{r}_\alpha T^+ = \vec{r}_\alpha + \frac{q_\alpha}{m_\alpha} \vec{Z}(\vec{R}_\alpha) \quad (\alpha = A, B) \quad (5.11)$$

## Nouvel hamiltonien

- D'après (5.1-4), (5.10) et (5.11)

$$H^{(2)} = T H^{(1)} T^+$$

$$\begin{aligned} &= \sum_\alpha \frac{1}{2m_\alpha} \left[ \vec{P}_\alpha - q_\alpha \vec{A}_\perp(\vec{R}_\alpha) - q_\alpha (\vec{A}_{\perp P}(\vec{R}_\alpha))_A - q_\alpha (\vec{A}_{\perp P}(\vec{R}_\alpha))_B \right]^2 \\ &\quad + \sum_\alpha \epsilon_\alpha^\text{ext} + \sum_\alpha V_e(\vec{r}_\alpha + \vec{\xi}_\alpha) + V_{AB}^{\text{Coul}}(\vec{r}_A + \vec{\xi}_A - \vec{r}_B - \vec{\xi}_B) \\ &\quad + \int_C d^3k \sum_\epsilon \hbar \omega \left\{ [\alpha_\epsilon^+(\vec{k}) + (\beta_\epsilon^+(\vec{k}))_A + (\beta_\epsilon^+(\vec{k}))_B] [\alpha_\epsilon(\vec{k}) + (\beta_\epsilon(\vec{k}))_A + (\beta_\epsilon(\vec{k}))_B] + \frac{1}{2} \right\} \end{aligned} \quad (5.12)$$

- On trouve tout d'abord <sup>somme de</sup> des termes identiques à ceux trouvés plus haut pour une seule particule, les uns pour A les autres pour B

IV-6

- Terme "croisés" nouveaux faisant intervenir à la fois A et B

$$-\frac{q_A}{m_A} \vec{P}_A \cdot [\vec{A}_{\perp P}(\vec{R}_A)]_B - \frac{q_B}{m_B} \vec{P}_B \cdot [\vec{A}_{\perp P}(\vec{R}_B)]_A \quad (5.13)$$

$$\int d^3k \hbar \omega \sum_{\vec{\epsilon}} \left\{ [\beta_{\epsilon}^+(\vec{k})]_A [\beta_{\epsilon}(\vec{k})]_B + h.c. \right\} \quad (5.14)$$

En utilisant (5.5) et (5.8), on trouve que le terme (5.14) est la moitié de l'opposé du terme (5.13)

Physiquement, (5.13) représente l'interaction de la particule A avec la valeur prise en  $\vec{R}_A$  du potentiel vecteur transverse lié à la particule B +  $A \rightleftharpoons B$

- Somme de (5.13) et (5.14)

$$H'_{AB} = -\frac{1}{2} \frac{q_A q_B}{m_A m_B \epsilon_0 c^2} \int d^3k \sum_{\vec{\epsilon}} \frac{(\vec{\epsilon} \cdot \vec{P}_A)(\vec{\epsilon} \cdot \vec{P}_B)}{k^2} \left[ \exp i \vec{k} \cdot (\vec{R}_A - \vec{R}_B) + c.c. \right] \quad (5.15)$$

- Résultat du calcul de l'intégrale sur  $\vec{k}$  et de la somme sur  $\vec{\epsilon}$  (voir détails des calculs page IV-7)

$$H'_{AB} = -\frac{q_A q_B}{8 \pi \epsilon_0 m_A m_B c^2} \left\{ \frac{\vec{P}_A \cdot \vec{P}_B}{|\vec{R}_A - \vec{R}_B|} + \frac{[\vec{P}_A \cdot (\vec{R}_A - \vec{R}_B)][\vec{P}_B \cdot (\vec{R}_A - \vec{R}_B)]}{|\vec{R}_A - \vec{R}_B|^3} \right\} \quad (5.16)$$

### Discussion physique

- Retour aux 2 diagrammes 8a et 8b de la page II.4  
Amplitude correspondante

$$-2\pi i \delta^{(T)} (E_{\vec{p}} + E_{\vec{p}'} - E_{\vec{p}-\hbar\vec{k}} - E_{\vec{p}'+\hbar\vec{k}}) \times$$

$$(8.2) \rightarrow \left\{ \frac{\langle A, \vec{p}-\hbar\vec{k}; B, \vec{p}'+\hbar\vec{k} | H_{I1}^B | A; \vec{p}-\hbar\vec{k}; B, \vec{p}'; \vec{k}\epsilon \rangle \langle A; \vec{p}-\hbar\vec{k}; \vec{B}, \vec{p}'; \vec{k}\epsilon | H_{I1}^A | A, \vec{p}; B, \vec{p}' \rangle}{\frac{\vec{p}^2}{2m_A} + \frac{\vec{p}'^2}{2m_B} - \frac{(\vec{p}-\hbar\vec{k})^2}{2m_A} - \frac{\vec{p}'^2}{2m_B} - \hbar\omega}$$

$$(8. b) \rightarrow \left\{ \frac{\langle A, \vec{p}-\hbar\vec{k}; B, \vec{p}'+\hbar\vec{k} | H_{I1}^A | A, \vec{p}; B, \vec{p}'; \vec{k}\epsilon | H_{I1}^B | A, \vec{p}; B, \vec{p}' \rangle}{\frac{\vec{p}^2}{2m_A} + \frac{\vec{p}'^2}{2m_A} - \frac{\vec{p}^2}{2m_A} - \frac{(\vec{p}'+\hbar\vec{k})^2}{2m_A} - \hbar\omega} \right\} \quad (5.17)$$

- Les 2 denominateurs sont égaux à  $-\hbar\omega$ , (à des corrections près en  $\hbar\omega/m_A c^2$ ,  $\hbar\omega/m_B c^2$ ,  $P/m_A c$ ,  $P'/m_B c \ll 1$ )

- 1<sup>er</sup> numérateur

$$\frac{\hbar}{2\epsilon_0 \omega L^3} (\vec{\epsilon} \cdot \vec{P}_A)(\vec{\epsilon} \cdot \vec{P}_B) \exp i \vec{k} \cdot (\vec{R}_B - \vec{R}_A) \quad (5.18)$$

- 2<sup>e</sup> démonstration

$$\frac{t_0}{2\epsilon_0 \omega L^3} (\vec{E} \cdot \vec{P}_A) (\vec{E} \cdot \vec{P}_B) \exp i \vec{k} \cdot (\vec{R}_A - \vec{R}_B) \quad (5.19)$$

- En remplaçant dans (5.17) les 2 dénominateurs par  $-t_0 \omega$  et en utilisant (5.18) et (5.19), on trouve que (5.17) peut s'écrire sous la forme

$$-2\pi i \delta^{(T)} (E_{\vec{p}} + E_{\vec{p}'} - E_{\vec{p}+t_0 \vec{k}} - E_{\vec{p}-t_0 \vec{k}}) \langle A, \vec{p} - t_0 \vec{k}; B, \vec{p}' + t_0 \vec{k} | H'_{AB} | A, \vec{p}; B, \vec{p}' \rangle \quad (5.20)$$

où  $H'_{AB}$  est donné par (5.15) ou (5.16)

-  $H'_{AB}$  représente donc un hamiltonien effectif décivant le couplage entre les 2 particules lié à l'échange d'un photon transverse entre les 2 particules.

Effets magnétiques : interaction courant-courant

+ Effets de retard venant corriger l'interaction de Coulomb instantanée  $V_{AB}^{\text{Coul}}$

### Démonstration de (5.16)

$$H'_{AB} = - \frac{q_A q_B}{m_A m_B \epsilon_0 c^2} \sum_{ij} (P_A)_i (P_B)_j S_{ij} (\vec{R}_A - \vec{R}_B) \quad (5.21)$$

$$\begin{aligned} S_{ij}(\vec{p}) &= \int \frac{d^3 k}{(2\pi)^3} \sum_i \epsilon_i \epsilon_j \frac{e^{i \vec{k} \cdot \vec{p}}}{k^2} = \int \frac{d^3 k}{(2\pi)^3} \left( \delta_{ij} - \frac{k_i k_j}{k^2} \right) \frac{e^{i \vec{k} \cdot \vec{p}}}{k^2} \\ &= \frac{\delta_{ij}}{4\pi p} + \frac{\partial}{\partial p_i} \frac{\partial}{\partial p_j} \int \frac{d^3 k}{(2\pi)^3} \frac{e^{i \vec{k} \cdot \vec{p}}}{k^4} \end{aligned} \quad (5.22)$$

- Régularisation de  $\frac{1}{k^4}$  :  $\frac{1}{k^4} \rightarrow \frac{1}{(k^2 + \eta^2)^2}$   $\eta \rightarrow 0$

$$\begin{aligned} \frac{\partial}{\partial p_i} \frac{\partial}{\partial p_j} \int \frac{d^3 k}{(2\pi)^3} \frac{e^{i \vec{k} \cdot \vec{p}}}{(k^2 + \eta^2)^2} &= \frac{\partial}{\partial p_i} \frac{\partial}{\partial p_j} \int_{-\infty}^{+\infty} \frac{dk}{(2\pi)^2} \frac{(-ik) e^{ikp}}{p(k^2 + \eta^2)^2} = \\ &= \frac{\partial}{\partial p_i} \frac{\partial}{\partial p_j} \int_{-\infty}^{+\infty} \frac{dk}{(2\pi)^2} \frac{(-ik) e^{ikp}}{p(k+i\eta)^2 (k-i\eta)} \end{aligned} \quad (5.23)$$

- Intégration par les résidus

$$\begin{aligned} \hookrightarrow \frac{\partial}{\partial p_i} \frac{\partial}{\partial p_j} \left\{ \frac{1}{8\pi\eta} e^{-\eta p} \right\} &= \frac{\partial}{\partial p_i} \frac{\partial}{\partial p_j} \left( \frac{1}{8\pi\eta} - \frac{p}{8\pi} + O(\eta) \right) \\ &= \frac{1}{8\pi} \left( -\frac{\delta_{ij}}{p} + \frac{p_i p_j}{p^3} \right) \end{aligned} \quad (5.24)$$

- Finalement, on obtient à partir de (5.22), (5.23), (5.24)

$$S_{ij}(\vec{p}) = \frac{1}{8\pi} \left( \frac{\delta_{ij}}{p} + \frac{p_i p_j}{p^3} \right) \quad (5.25)$$

Etude de quelques applications  
de la transformation de Pauli-Fierz

IV - 1

- ① Rayonnement de freinage d'une charge  $q_\alpha$  dans un potentiel extérieur  $V_e$  ("Bremsstrahlung")
  - a) Bilan d'énergie et d'impulsion
  - b) Amplitude d'émission d'un photons à l'ordre 1 en  $V_e$  et 1 en  $q_\alpha$
  - c) Forme de l'amplitude d'émission pour des photons émis de très basse fréquence.
  - d) Probabilité d'émission par unité de temps. Section efficace
- ② Corrections radiatives à la diffusion par un potentiel  $V_e$ 
  - a) Identification des termes correctifs à l'ordre 1 en  $V_e$  et 2 en  $q_\alpha$
  - b) Calcul de ces termes correctifs
  - c) Corrections à la section efficace de diffusion élastique
- ③ La "catastrophe infrarouge". Etude à l'ordre le plus bas en  $q_\alpha$ 
  - a) Divergences à basse fréquence des probabilités de transmission calculées plus haut.
  - b) Reexamen des grandeurs mesurées expérimentalement compte tenu de la sensibilité des détecteurs
  - c) Disparition des divergences pour les grandeurs significatives expérimentalement.

Bilan d'énergie (potentiel  $V_e$  indépendant du temps)

<u>Etat initial</u>	Particule	$E_1 = \vec{P}_1^2 / 2m_\alpha$ , $\vec{P}_1$
<u>Etat final</u>	Particule	$E_2 = \vec{P}_2^2 / 2m_\alpha$ , $\vec{P}_2$
	+ Photon $\vec{k} \vec{\epsilon}$	$E = \hbar \omega$ $\vec{p} = \hbar \vec{k}$

Conservation de l'énergie       $E_1 = E_2 + \hbar \omega \quad (1.1)$

De (1.1), on déduit, comme  $E_2$  est positif

$$\hbar \omega \leq E_1 \rightarrow \hbar |\vec{k}| \leq \frac{\vec{P}_1^2}{2m_\alpha c} = P_1 \frac{v_i}{2c} \ll |\vec{P}_1| \quad (1.2)$$

A la limite non relativiste pour les particules, on peut donc négliger l'impulsion du photon devant celle des particules

## Bilan d'impulsion

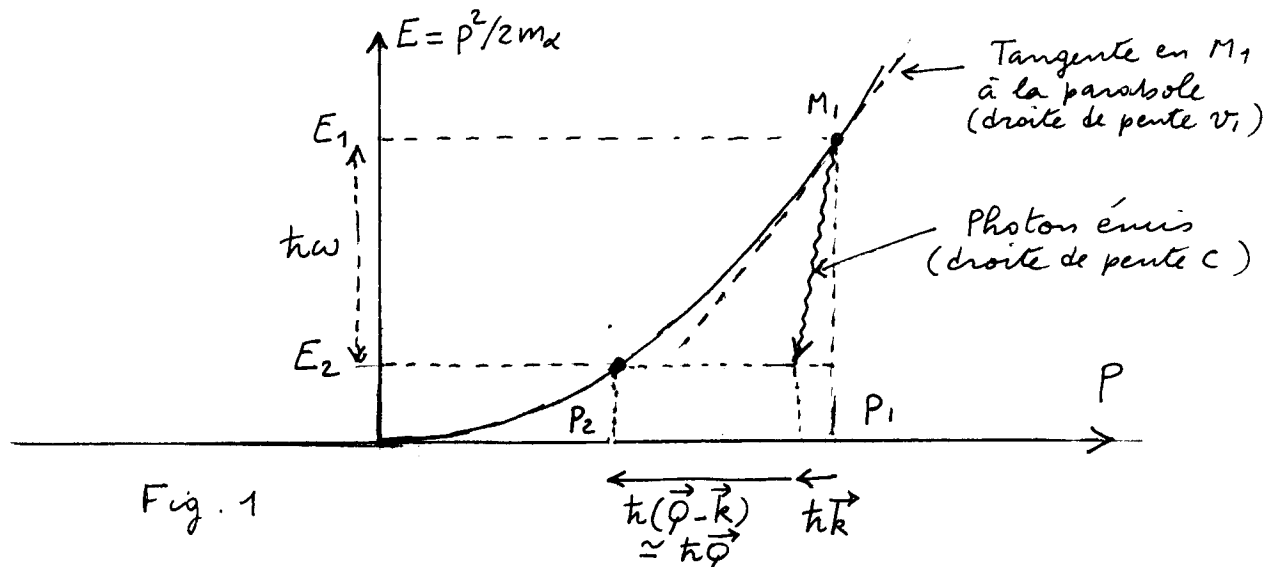
V-2

A cause de  $V_e$ , il n'y a plus conservation globale de l'impulsion :  $\vec{P}_1 \neq \vec{P}_2 + t\vec{k}$

L'impulsion perdue par la particule

$$\vec{P}_1 - \vec{P}_2 = t\vec{Q} \quad (\text{l'impulsion emportée par le photon}) \quad (1.3)$$

est encaissée par le potentiel extérieur puisque  $t\vec{k}$  est négligeable  
Illustration sur une figure (à 1 dimension,  $\vec{P}_1, \vec{P}_2, \vec{k}$  étant parallèles ou antiparallèles)



L'énergie perdue par la particule est transformée en rayonnement.

L'impulsion perdue par la particule est pratiquement totalement encaissé, par le potentiel puisque l'impulsion du rayonnement émis est négligeable.

## Amplitude d'émission d'un photon dans le point de vue Pauli-Fierz

- Hamiltonien d'interaction. Proviennent de  $V_e(\vec{r}_a + \frac{q_\alpha}{m_\alpha} \vec{Z}(\vec{0})) = V_e(\vec{r}_a + \vec{\xi}_\alpha) = V_e(\vec{r}_a) + \underbrace{\vec{\xi}_\alpha \cdot \vec{\nabla} V_e(\vec{r}_a)}_{H_{I1}^{PF}} + \frac{1}{2} \sum_{i,j} \underbrace{\xi_{\alpha i} \xi_{\alpha j}}_{=x,y,z} \nabla_i \nabla_j V_e(\vec{r}_a) + \dots \quad (1.4)$

$$\text{avec } \vec{\xi}_\alpha = \frac{q_\alpha}{m_\alpha} \vec{Z}(\vec{0}) \quad (1.5)$$

- Le terme d'interaction à 1 photon  $H_{I1}^{PF}$  du point de vue de Pauli-Fierz relie l'état initial  $|\psi_{in}\rangle = |\vec{P}_1; 0\rangle$ , d'énergie  $E_{in} = E_1$  à l'état final  $|\psi_{fin}\rangle = |\vec{P}_2; \vec{R}\vec{E}\rangle$  d'énergie  $E_2 + t\omega$

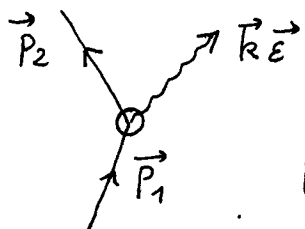


Fig. 2

Le rond symbolise l'élément de matrice de  $H_{I1}^{PF}$   
Ordre 1 en  $V_e$  et 1 en  $q_\alpha$

- Calcul de l'élément de matrice de  $H_{I1}^{PF}$

V - 3

$$\langle \vec{P}_2; \vec{k}\vec{\epsilon} | H_{I1}^{PF} | \vec{P}_1; 0 \rangle = \frac{q\alpha}{m_\alpha} \langle \vec{k}\vec{\epsilon} | \vec{Z}(\vec{0}) | 0 \rangle \cdot \langle \vec{P}_2 | \vec{\nabla} V_e | \vec{P}_1 \rangle \quad (1.6)$$

(Etats de la particule et du photon discrétisés dans un cube  $L^3$ )

$$\langle \vec{k}\vec{\epsilon} | \vec{Z}(\vec{0}) | 0 \rangle = \sqrt{\frac{\hbar}{2\varepsilon_0 \omega L^3}} \langle \vec{k}\vec{\epsilon} | \frac{\vec{E} \cdot \vec{a}^\dagger \vec{k}\vec{\epsilon}}{-i\omega} | 0 \rangle = i \sqrt{\frac{\hbar}{2\varepsilon_0 \omega^3 L^3}} \vec{\epsilon} \quad (1.7)$$

$$\langle \vec{P}_2 | \vec{\nabla} V_e | \vec{P}_1 \rangle = \int d^3r \frac{e^{-i\vec{P}_2 \cdot \vec{r}/\hbar}}{\sqrt{L^3}} \vec{\nabla} V_e(\vec{r}) \frac{e^{i\vec{P}_1 \cdot \vec{r}/\hbar}}{\sqrt{L^3}} = \frac{1}{L^3} \int d^3r e^{i\vec{Q} \cdot \vec{r}} \vec{\nabla} V_e(\vec{r}) \quad (1.8)$$

Or, d'après les propriétés de la transformée de Fourier

$$\int d^3r e^{i\vec{Q} \cdot \vec{r}} \vec{\nabla} V_e(\vec{r}) = -i\vec{Q} \cdot \vec{V}_e(\vec{Q}) \quad (1.9.2)$$

où  $\vec{V}_e(\vec{Q}) = \int d^3r e^{i\vec{Q} \cdot \vec{r}} V_e(\vec{r})$  (1.9.6)

$$\hookrightarrow \langle \vec{P}_2 | \vec{\nabla} V_e | \vec{P}_1 \rangle = -\frac{i}{L^3} \vec{Q} \cdot \vec{V}_e(\vec{Q}) \quad (1.10)$$

Finalement

$$\langle \vec{P}_2; \vec{k}\vec{\epsilon} | H_{I1}^{PF} | \vec{P}_1; 0 \rangle = \frac{1}{L^3} \vec{V}_e(\vec{Q}) \frac{q\alpha}{m_\alpha} \sqrt{\frac{\hbar}{2\varepsilon_0 \omega^3 L^3}} \vec{\epsilon} \cdot \vec{Q} \quad (1.11)$$

- Amplitude de transition (associé au processus de la figure 2)

$$A(\vec{P}_1 \rightarrow \vec{P}_2 + \vec{k}\vec{\epsilon}) = -2\pi i \delta^{(T)}(E_1 - E_2 - \hbar\omega) \frac{1}{L^3} \vec{V}_e(\vec{Q}) \frac{q\alpha}{m_\alpha} \sqrt{\frac{\hbar}{2\varepsilon_0 \omega^3 L^3}} \vec{\epsilon} \cdot \vec{Q} \quad (1.12)$$

Remarque. Le calcul peut être aussi fait dans le point de vue de Coulomb. On peut vérifier que les termes d'ordre 2 du développement de Born, associés aux 2 diagrammes 6a et 6b de la page II-3, redonnent bien l'amplitude (1.12). Mais il faut alors faire un calcul d'ordre 2 alors que le point de vue de Pauli-Fierz permet ici d'obtenir le résultat dès l'ordre 1.

Limite des très basses fréquences ( $\hbar\omega \ll E_1$ )

- Si le photon émis a une fréquence  $\omega$  très faible devant  $E_1/\hbar$ .

$$E_2 = E_1 - \hbar\omega \simeq E_1 \quad (1.13)$$

et par suite  $|\vec{P}_2| \simeq |\vec{P}_1|$  (1.14)

Pour une direction donnée  $\vec{n}_2 = \vec{P}_2/P_2$  de la particule diffusée, on peut alors considérer que  $\vec{P}_1 - \vec{P}_2 = \hbar\vec{Q}$  ne dépend plus du photon  $\vec{k}\vec{\epsilon}$  émis et a la même valeur que pour une diffusion purement élastique (sans émission de photons).

Pour  $\vec{P}_1$  et  $\vec{n}_2 = \vec{P}_2/P_2$  fixes

$$(\vec{Q})_{\text{inelastique}} \simeq (\vec{Q})_{\text{élastique}} \simeq \frac{\vec{P}_1 - \vec{P}_2}{\hbar} \quad (1.15)$$

avec  $\hbar\omega \ll E_1$

- Or l'amplitude de diffusion élastique  $\vec{P}_1 \rightarrow \vec{P}_2$  vaut (V-4)  
à l'ordre 1 en  $V_e$  et 0 en  $q_\alpha$

$$\begin{aligned} A_{el}^{(0)}(\vec{P}_1 \rightarrow \vec{P}_2) &= -2\pi i \delta^{(T)}(E_2 - E_1) \langle \vec{P}_2 | V_e | \vec{P}_1 \rangle \\ &= -2\pi i \delta^{(T)}(E_2 - E_1) \frac{1}{L^3} V_e(\vec{Q}_{el}) \end{aligned} \quad (1.16)$$

- Comparons alors (1.12) et (1.16). Si  $t\omega$  est suffisamment faible, on peut négliger la différence entre  $\delta^{(T)}(E_1 - E_2 - t\omega)$  et  $\delta^{(T)}(E_1 - E_2)$ , de même que la différence entre  $\vec{Q} = (\vec{Q})_{inel}$  qui figure dans (1.12) et  $\vec{Q}_{el}$  qui figure dans (1.16). On obtient alors

Si  $t\omega \ll E_1$

$$A(\vec{P}_1 \rightarrow \vec{P}_2 + \vec{k}\vec{\epsilon}) = A_{el}^{(0)}(\vec{P}_1 \rightarrow \vec{P}_2) q_\alpha \eta_1(\vec{k}, \vec{\epsilon}) \quad (1.17)$$

ou

$$q_\alpha \eta_1(\vec{k}, \vec{\epsilon}) = \frac{q_\alpha}{m_\alpha} \sqrt{\frac{t\omega}{2\varepsilon_0 \omega^3 L^3}} \vec{\epsilon} \cdot \vec{Q}_{el} \quad (1.18)$$

Ainsi, l'amplitude d'émission d'un photon de très basse fréquence, la particule passant de  $\vec{P}_1$  à  $\vec{P}_2$  en proportionnelle à l'amplitude de diffusion élastique  $\vec{P}_1 \rightarrow \vec{P}_2$  calculé à l'ordre 0 en  $q_\alpha$ . (particule soumise au seul potentiel  $V_e$ )

### Probabilité de transition $\vec{P}_1 \rightarrow \vec{P}_2 + \vec{k}\vec{\epsilon}$ par unité de temps

$$[\delta^{(T)}(E_{in} - E_{fin})]^2 = \frac{1}{\pi^2} \frac{\sin^2(E_{in} - E_{fin}) T/2\hbar}{(E_{in} - E_{fin})^2} \simeq \frac{T}{2\pi\hbar} \delta^{(T)}(E_{in} - E_{fin}) \quad (1.19)$$

$$\begin{aligned} W(\vec{P}_1 \rightarrow \vec{P}_2 + \vec{k}\vec{\epsilon}) &= \frac{|A(\vec{P}_1 \rightarrow \vec{P}_2 + \vec{k}\vec{\epsilon})|^2}{T} \\ &= \frac{2\pi}{\hbar} \delta^{(T)}(E_1 - E_2 - t\omega) \frac{|V_e(\vec{Q})|^2}{L^6} \frac{q_\alpha^2}{m_\alpha^2} \frac{t\omega}{2\varepsilon_0 \omega^3 L^3} (\vec{\epsilon} \cdot \vec{Q})^2 \end{aligned} \quad (1.20)$$

- Sommation sur les états finaux du photon

Nombre d'états dans l'angle solide  $d\Omega$  autour de  $\vec{k} = \vec{k}/k$  et dans l'intervalle  $[\omega, \omega + d\omega]$ , avec la polarisation  $\vec{\epsilon}$

$$\frac{L^3}{(2\pi)^3} k^2 dk d\Omega = \frac{L^3}{(2\pi)^3 c^3} \omega^2 d\omega d\Omega \quad (1.21)$$

- Sommation sur les états finaux de la particule

$$E_2 = p_2^2/2m_\alpha \quad m_\alpha dE_2 = p_2 dp_2$$

Nombre d'états dans l'angle solide  $d\Omega_2$  autour de  $\vec{n}_2 = \vec{p}_2/p_2$  et dans l'intervalle d'énergie  $[E_2, E_2 + dE_2]$

$$\frac{L^3}{(2\pi)^3} k_2^2 dk_2 d\Omega_2 = \frac{L^3}{(2\pi\hbar)^3} p_2^2 dp_2 d\Omega_2 = \frac{L^3}{(2\pi)^3} \frac{m_\alpha p_2}{\hbar^3} dE_2 d\Omega_2 \quad (1.22)$$

- Probabilité de transitions par unité de temps pour que la particule soit diffusée dans  $dE_2, d\Omega_2$  avec émission d'un photon de polarisation  $\vec{E}$  dans  $d\omega, d\Omega$ .

Intégrale de  $W(\vec{P}_1 \rightarrow \vec{P}_2 + \vec{k} \vec{E})$  dans le volume correspondant : La fonction  $S^{(T)}$  fait disparaître l'intégrale sur  $E_2$  à condition de remplacer  $E_2$  par  $E, -\hbar \omega$ . Il vient

$$dW(\vec{P}_1 \rightarrow \vec{P}_2 + \vec{k} \vec{E}) = \frac{e\pi}{\hbar} \frac{|V_e(\vec{Q})|^2}{L^6} \frac{q_\alpha^2}{m_\alpha^2} \frac{\hbar}{2\epsilon_0 \omega^3 L^3} (\vec{E} \cdot \vec{Q})^2 \frac{L^3 m_\alpha P_2}{(2\pi)^3 \hbar^3} \frac{L^3}{(2\pi)^3} \frac{1}{c^3} \omega^2 d\Omega_2 d\omega d\Omega \quad (1.23)$$

c'est à dire encore

$$dW(\vec{P}_1 \rightarrow \vec{P}_2 + \vec{k} \vec{E}) = \frac{C}{L^3} \frac{q_\alpha^2}{m_\alpha} (\vec{E} \cdot \vec{Q})^2 |V_e(\vec{Q})|^2 P_2 \frac{d\omega}{\omega} d\Omega d\Omega_2 \quad (1.24)$$

où

$$C = \frac{1}{(2\pi)^5} \frac{1}{2\epsilon_0 \hbar^3 c^3} \quad (1.25)$$

### Section efficace différentielle de diffusion avec émission d'un photon $\vec{k} \vec{E}$

- Flux incident  $\Phi_{inc} = \frac{P_i}{m_\alpha} \frac{1}{L^3}$  (1.26)

- Section efficace

$$d\sigma(\vec{P}_1 \rightarrow \vec{P}_2 + \vec{k} \vec{E}) = \frac{dW(\vec{P}_1 \rightarrow \vec{P}_2 + \vec{k} \vec{E})}{\Phi_{inc}} = C q_\alpha^2 (\vec{E} \cdot \vec{Q})^2 |V_e(\vec{Q})|^2 \frac{P_2}{P_1} \frac{d\omega}{\omega} d\Omega d\Omega_2 \quad (1.27)$$

Plus de dépendance en  $L$  comme il se doit pour une grandeur physique comme  $d\sigma$

- Cas d'une charge  $q_\alpha = Zq$  ( $q$  charge du proton) diffusé par le potentiel créé par une charge  $Z'q$  à l'origine

$$q_\alpha = Zq \quad (1.28)$$

$$V_e(\vec{r}) = \frac{ZZ'q^2}{4\pi\epsilon_0 r} \rightarrow V_e(\vec{Q}) = \frac{ZZ'q^2}{\epsilon_0 Q^2} \quad (1.29)$$

↪  $d\sigma(\vec{P}_1 \rightarrow \vec{P}_2 + \vec{k} \vec{E}) = Z^4 Z'^2 \frac{\alpha^3}{\pi^2} \frac{\hbar^2}{|P_1 - P_2|^4} \frac{[\vec{E} \cdot (\vec{P}_1 - \vec{P}_2)]^2}{P_2} \frac{P_2}{P_1} \frac{d\omega}{\omega} d\Omega d\Omega_2 \quad (1.30)$

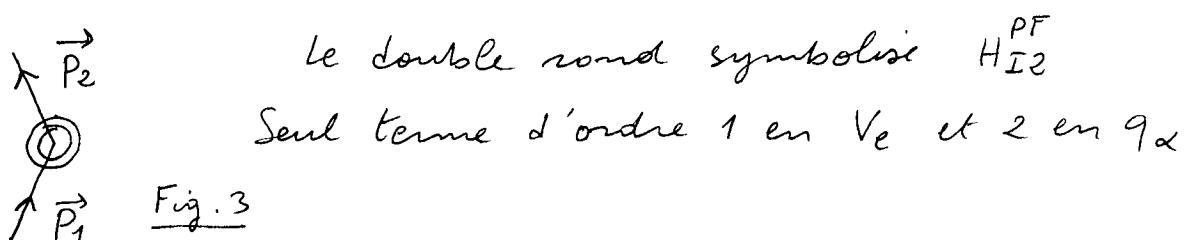
où  $\alpha = \frac{q^2}{4\pi\epsilon_0 \hbar c} = \frac{1}{137}$

On vérifie que  $d\sigma$  est bien homogène à 1 surface

## Diffusion élastique $\vec{P}_1 \rightarrow \vec{P}_2$ (sans émission de photons) [V-6]

- Revenons à (1.4)

- $V_e(\vec{r}_\alpha)$  relie l'état initial  $|\vec{P}_1; 0\rangle$  à l'état final  $|\vec{P}_2; 0\rangle$   
↳ Amplitude de diffusion à l'ordre 1 en  $V_e$  et 0 en  $q_\alpha$   
déjà calculé en (1.16)
- $H_{I1}^{PF}$  relie  $|\vec{P}_1; 0\rangle$  à  $|\vec{P}_2; 0\rangle$  au 2<sup>e</sup> ordre  
(création d'un photon  $\vec{k}\epsilon$  puis absorption de ce photon)  
A l'ordre 1 en  $V_e$ ,  $H_{I1}^{PF}$  n'intervient donc pas
- $H_{I2}^{PF}$  relie directement  $|\vec{P}_1; 0\rangle$  à  $|\vec{P}_2; 0\rangle$



Remarque Dans le point de vue de Coulomb, les termes correctifs à l'ordre 1 en  $V_e$  et 2 en  $q_\alpha$  sont plus compliqués à calculer. 3 diagrammes (si on néglige la polarisation du vide et les créations de paires  $e^+e^-$ , ce que nous faisons ici aussi)

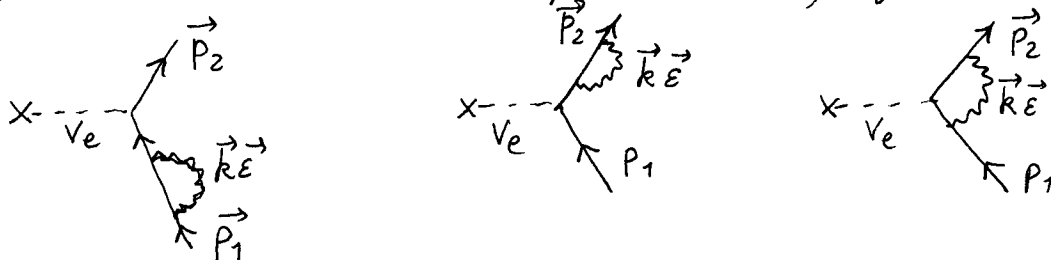


Fig. 4

3 diagrammes avec 3 vertex alors que dans le point de vue de Pauli-Fierz, 1 seul diagramme avec 1 seul vertex.

### Calcul des termes correctifs

Calcul de  $\langle \vec{P}_2; 0 | H_{I2}^{PF} | \vec{P}_1; 0 \rangle$

$$\langle \vec{P}_2; 0 | H_{I2}^{PF} | \vec{P}_1; 0 \rangle = \frac{1}{2} \frac{q_\alpha^2}{m_\alpha^2} \sum_{i,j} \sum_{=x,y,z} \langle \vec{P}_2; 0 | Z_i(\vec{0}) Z_j(\vec{0}) \nabla_i \nabla_j V_e(\vec{r}_\alpha) | \vec{P}_1; 0 \rangle \quad (2.1)$$

$$\langle \vec{P}_2 | \nabla_i \nabla_j V_e(\vec{r}_\alpha) | \vec{P}_1 \rangle = i Q_i i Q_j \langle \vec{P}_2 | V_e(\vec{r}_\alpha) | \vec{P}_1 \rangle = -\frac{1}{L^3} V_e(\vec{Q}) Q_i Q_j \quad (2.2)$$

$$\langle 0 | Z_i(\vec{0}) Z_j(\vec{0}) | 0 \rangle = \sum_{\vec{k}\epsilon} \frac{\hbar}{2\epsilon_0 \omega L^3} \frac{1}{\omega^2} \epsilon_i \epsilon_j \quad (2.3)$$

$$\hookrightarrow \langle \vec{P}_2; 0 | H_{I2}^{PF} | \vec{P}_1; 0 \rangle = -\frac{1}{L^3} V_e(\vec{Q}) \sum_{\vec{k}\epsilon} \frac{\hbar}{2\epsilon_0 \omega^3 L^3} (\vec{\epsilon} \cdot \vec{Q})^2 \frac{q_\alpha^2}{2m_\alpha^2} \quad (2.4)$$

Amplitude de diffusion  $P_1 \rightarrow P_2$  à l'ordre 1 en  $V_e$  et à l'ordre 2 inclus en  $q_\alpha$

$$\mathcal{A}(\vec{P}_1 \rightarrow \vec{P}_2) = -2\pi i \delta^{(T)}(E_1 - E_2) \langle \vec{P}_2; 0 | V_e(\vec{r}_\alpha) + H_{I2}^{PF} | \vec{P}_1; 0 \rangle \quad (2.5)$$

A partir de (1.16) et de (2.4), on obtient

$$\mathcal{A}(\vec{p}_1 \rightarrow \vec{p}_2) = -2\pi i \delta^{(T)}(E_1 - E_2) \frac{V_e(\vec{Q})}{L^3} \left[ 1 - \frac{q_\alpha^2}{2m_\alpha^2} \sum_{\vec{k}\vec{\epsilon}} \frac{\hbar}{2\varepsilon_0 \omega^3 L^3} (\vec{\epsilon} \cdot \vec{Q})^2 \right] \quad (2.6)$$

Dans (1.16),  $\vec{Q} = \vec{p}_1 - \vec{p}_2 = \vec{P}_{el}$  est le même. On peut donc écrire

$$\mathcal{A}(\vec{p}_1 \rightarrow \vec{p}_2) = \mathcal{A}_{el}^{(0)}(\vec{p}_1 \rightarrow \vec{p}_2) f(\vec{Q}) \quad (2.7)$$

$$\text{où } f(\vec{Q}) = 1 - \frac{q_\alpha^2}{2m_\alpha^2} \sum_{\vec{k}\vec{\epsilon}} \frac{\hbar}{2\varepsilon_0 \omega^3 L^3} (\vec{\epsilon} \cdot \vec{Q})^2 \quad (2.8)$$

est un "facteur de forme" qui vient corriger l'amplitude de diffusion élastique calculée à l'ordre 0 en  $q_\alpha$  (et toujours à l'ordre 1 en  $V_e$ )

Ce facteur de forme diffère de 1 par un terme en  $q_\alpha^2$  décrivant les corrections radiatives en  $\alpha = q^2/4m_e c$

### Corrections à la section efficace

Les amplitudes  $\mathcal{A}$  et  $\mathcal{A}_{el}^{(0)}$  diffèrent d'après (2.7) d'un facteur  $f(\vec{Q})$ . On en déduit que les sections efficaces  $d\sigma$  (ordre 1 en  $V_e$  et 2 inclus en  $q_\alpha$ ) et  $d\sigma_{el}^{(0)}$  (ordre 1 en  $V_e$  et 0 en  $q_\alpha$ ) diffèrent d'un facteur  $|f(\vec{Q})|^2$

$$d\sigma(\vec{p}_1 \rightarrow \vec{p}_2) = d\sigma_{el}^{(0)}(\vec{p}_1 \rightarrow \vec{p}_2) |f(\vec{Q})|^2 \quad (2.9)$$

A l'ordre 2 inclus en  $q_\alpha$ , on a

$$\begin{aligned} |f(\vec{Q})|^2 &\approx 1 - \frac{q_\alpha^2}{m_\alpha^2} \sum_{\vec{k}\vec{\epsilon}} \frac{\hbar}{2\varepsilon_0 \omega^3 L^3} (\vec{\epsilon} \cdot \vec{Q})^2 \\ &= 1 - q_\alpha^2 \sum_{\vec{k}\vec{\epsilon}} |\eta_1(\vec{k}, \vec{\epsilon})|^2 \end{aligned} \quad (2.10)$$

où  $\eta_1$  est donné en (1.18)

les corrections radiatives diminuent donc la section efficace de diffusion élastique

### Divergences des probabilités de transitions aux basses fréquences

- D'après (1.24), la probabilité par unité de temps d'émission d'un photon de fréquence  $\omega$ ,  $dW(\vec{p}_1 \rightarrow \vec{p}_2 + \vec{k}\vec{\epsilon})$  dans l'intervalle  $d\omega$ , varie en  $d\omega/\omega$ 

La probabilité d'émission d'un photon  $\omega \geq \delta$  diverge donc en  $\log \delta$ . quand  $\delta \rightarrow 0$
- De même, le calcul de  $\sum_{\vec{k}\vec{\epsilon}}$  dans la 1<sup>re</sup> ligne de (2.10) fait apparaître dans le terme correctif  $|f(\vec{Q})|^2$  des probabilités de transitions une divergence logarithmique vis à vis de la borne inférieure de l'intégrale sur  $k$ .

## Reexamen des grandeurs mesurées expérimentalement

- Si  $t_{\text{HW}}$  est plus petit que la sensibilité  $\delta E$  du détecteur mesurant l'énergie  $E_2$  de la particule diffusée, la mesure de  $E_2$  ne permettra pas de savoir si un photon très peu émis ou non au cours de la diffusion.

→ La grandeur mesurée est donc en fait la probabilité pour que la particule ait été diffusée de  $\vec{P}_1$  à  $\vec{P}_2$  avec émission de 0 ou 1 (ou 2 ou 3...) photons très moins ( $\omega \ll \delta E$ )

- Dans le calcul d'ordre 2 en  $q_\alpha$  fait ici, il faut donc ajouter les probabilités de diffusion avec émission de 0 ou 1 photon

$$W_{\text{mesuré}}(\vec{P}_1 \rightarrow \vec{P}_2) = \frac{1}{T} \left[ |\mathcal{A}(\vec{P}_1 \rightarrow \vec{P}_2)|^2 + \sum_{\vec{k}, \vec{E}} |\mathcal{A}(\vec{P}_1 \rightarrow \vec{P}_2 + \vec{k}, \vec{E})|^2 \right] \quad (3.1)$$

$\omega \leq \omega_m \approx \delta E/h$

## Disparition des divergences à l'ordre 2 en $q_\alpha$

- Comme  $\omega$  est très petit dans le dernier terme de (3.1), on peut utiliser (1.17) qui montre que ce dernier terme est proportionnel à  $|\mathcal{A}_{\text{el}}^{(0)}(\vec{P}_1 \rightarrow \vec{P}_2)|^2$ . Il en est de même pour le premier d'après (2.7). On peut donc mettre en facteur dans (3.1)  $|\mathcal{A}_{\text{el}}^{(0)}(\vec{P}_1 \rightarrow \vec{P}_2)|^2 / T$  qui n'est autre que la probabilité de transition par unité de temps  $W_{\text{el}}^{(0)}(\vec{P}_1 \rightarrow \vec{P}_2)$  calculée à l'ordre 0 en  $q_\alpha$ .

On obtient ainsi, compte tenu de (1.17), (1.18), (2.7) et (2.10)

$$W_{\text{mesuré}}(\vec{P}_1 \rightarrow \vec{P}_2) = W_{\text{el}}^{(0)}(\vec{P}_1 \rightarrow \vec{P}_2) \times$$

$$\left[ 1 - q_\alpha^2 \sum_{\vec{k}, \vec{E}} |\eta_i(\vec{k}, \vec{E})|^2 + q_\alpha^2 \sum_{\vec{k}, \vec{E}} |\eta_i(\vec{k}, \vec{E})|^2 \right] \quad (3.2)$$

$\omega \leq \omega_m \approx \delta E/h$

Les divergences logarithmiques aux bornes inférieures des 2 sommes sur  $\vec{k}, \vec{E}$  qui apparaissent dans (3.2) se compensent exactement.

Il n'y a plus de divergence infrarouge sur  $W_{\text{mesuré}}$ .

La diminution de la section efficace de diffusion élastique due aux corrections radiatives provenant des modes basse fréquence compensent exactement la section efficace de diffusion avec émission d'un photon appartenant à ces modes basse fréquence.

Etude de quelques applications  
de la transformation de Pauli-Fierz (suite)

VI-1

- ④ La "catastrophe infrarouge" - Etude à tous les ordres en  $q_\alpha$
- Amplitude de transitions à l'ordre 1 en  $V_e$  et à tous les ordres en  $q_\alpha$ .
  - Séparations des modes en 2 catégories
  - Approximations sur les amplitudes d'émission.
  - Calcul des grandeurs significatives expérimentalement.  
Disparition de toute divergence infrarouge.
  - Valeur moyenne de l'énergie rayonnée à basse fréquence

Appendice : Utilisation de  $T' = \exp\left[\frac{i}{\hbar} \frac{q_\alpha}{m_\alpha^*} \vec{P}_\alpha \cdot \vec{Z}(\vec{0})\right]$  plutôt que  $T = \exp\left[\frac{i}{\hbar} \frac{q_\alpha}{m_\alpha} \vec{P}_\alpha \cdot \vec{Z}(\vec{0})\right]$  - Motivations de ce changement et intérêt pour un calcul à tous les ordres en  $q_\alpha$ .

### Amplitudes de transition

Autre écriture de  $V_e(\vec{r}_\alpha + \vec{\xi}_\alpha)$

$$\text{D'après (1.9.a)} \quad V_e(\vec{k}) = \int d^3r e^{i\vec{k}\cdot\vec{r}} V_e(\vec{r}) \quad (4.1.a)$$

$$\hookrightarrow \quad V_e(\vec{r}) = \frac{1}{(2\pi)^3} \int d^3k e^{-i\vec{k}\cdot\vec{r}} V_e(\vec{k}) \quad (4.1.b)$$

Comme  $\vec{r}_\alpha$  et  $\vec{\xi}_\alpha = \frac{q_\alpha}{m_\alpha} \vec{Z}(\vec{0})$  commutent,

$$V_e(\vec{r}_\alpha + \vec{\xi}_\alpha) = \frac{1}{(2\pi)^3} \int d^3k e^{-i\vec{k}\cdot(\vec{r}_\alpha + \vec{\xi}_\alpha)} V_e(\vec{k}) = \frac{1}{(2\pi)^3} \int d^3k e^{-i\vec{k}\cdot\vec{r}_\alpha} e^{-i\vec{k}\cdot\vec{\xi}_\alpha} V_e(\vec{k}) \quad (4.2)$$

Amplitude de probabilité à l'ordre 1 en  $V_e$  et à tous les ordres en  $q_\alpha$  pour que la particule soit diffusée de  $\vec{P}_1$  à  $\vec{P}_2 = \vec{P}_1 - \hbar \vec{Q}$  avec émission de ...  $n_i$  photons du mode  $i$  ( $\vec{k}_i, \vec{\xi}_i$ ) ...  $n_j$  photons du mode  $j$

$$\text{Etat initial} \quad |\Psi_{in}\rangle = |\vec{P}_1; \dots o_i \dots o_j \dots\rangle = |\vec{P}_1; \{o_i\}\rangle \quad (4.3)$$

$$\text{Etat final} \quad |\Psi_{fin}\rangle = |\vec{P}_2; \dots n_i \dots n_j \dots\rangle = |\vec{P}_2; \{n_i\}\rangle \quad (4.4)$$

$$\vec{P}_1 - \vec{P}_2 = \hbar \vec{Q} \quad (4.5.a)$$

$$E_{in} = E_1 = \vec{P}_1^2 / 2m_\alpha \quad E_{fin} = E_2 + \sum_i n_i \hbar \omega_i = \frac{\vec{P}_2^2}{2m_\alpha} + \sum_i n_i \hbar \omega_i \quad (4.5.b)$$

$$\mathcal{A}(\vec{P}_1 \rightarrow \vec{P}_2 + \{n_i \vec{k}_i \vec{\xi}_i\}) = -2\pi i \delta^{(T)}(E_{fin} - E_{in}) \langle \Psi_{fin} | V_e(\vec{r}_\alpha + \vec{\xi}_\alpha) | \Psi_{in} \rangle \quad (4.6)$$

$$\begin{aligned}
 & \langle \Psi_{fin} | V_e(\vec{r}_\alpha + \vec{\xi}_\alpha) | \Psi_{ini} \rangle = \frac{1}{(2\pi)^3} \int d^3k \langle \Psi_{fin} | e^{-i\vec{k} \cdot \vec{r}_\alpha} e^{-i\vec{k} \cdot \vec{\xi}_\alpha} | \Psi_{ini} \rangle \mathcal{V}_e(\vec{k}) = \\
 & = \int d^3k \underbrace{\frac{1}{(2\pi)^3} \langle \vec{P}_e | e^{-i\vec{k} \cdot \vec{r}_\alpha} | \vec{P}_i \rangle}_{\frac{1}{L^3} \delta(\vec{p} - \vec{k})} \langle \{n_i\} | e^{-i\vec{k} \cdot \vec{\xi}_\alpha} | \{0_i\} \rangle \mathcal{V}_e(\vec{k}) \\
 & = \frac{\mathcal{V}_e(\vec{Q})}{L^3} \langle \{n_i\} | e^{-i\vec{Q} \cdot \vec{\xi}_\alpha} | \{0_i\} \rangle
 \end{aligned} \tag{4.7}$$

$$\mathcal{A}(\vec{P}_i \rightarrow \vec{P}_2 + \{n_i \vec{k}_i \vec{\epsilon}_i\}) = -2\pi i \delta^{(T)}(E_{fin} - E_{ini}) \frac{\mathcal{V}_e(\vec{Q})}{L^3} \langle \{n_i\} | e^{-i\vec{Q} \cdot \vec{\xi}_\alpha} | \{0_i\} \rangle \tag{4.8}$$

## 2 catégories de modes

- 2 fréquences :  $\omega_m$  très basse,  $\omega_M$  très élevée (avec toutefois  $k_M t_{\text{rel}} \ll 1$ )
- Modes "basse fréquence" repérés avec un indice  $\lambda$  (grec minuscule)  
 $\omega_\lambda \leq \omega_m$   
 Modes "haute fréquence" repérés avec un indice  $\Lambda$  (grec majuscule)  
 $\omega_m \leq \omega_\Lambda \leq \omega_M$

- On peut distinguer dans le développement en modes des vecteurs de Hertz  $\vec{Z}(\vec{r})$  les contributions des 2 types de modes

$$\vec{Z}^{b.f.}(\vec{r}) = \sum_\lambda \sqrt{\frac{\hbar}{2\epsilon_0 \omega_\lambda L^3}} \left[ \vec{\epsilon}_\lambda \frac{a_\lambda}{i\omega_\lambda} e^{i\vec{k}_\lambda \cdot \vec{r}} - \vec{\epsilon}_\lambda^+ \frac{a_\lambda^+}{i\omega_\lambda} e^{-i\vec{k}_\lambda \cdot \vec{r}} \right] \tag{4.9}$$

$$\vec{Z}^{h.f.}(\vec{r}) = \sum_\Lambda \sqrt{\frac{\hbar}{2\epsilon_0 \omega_\Lambda L^3}} \left[ \vec{\epsilon}_\Lambda \frac{a_\Lambda}{i\omega_\Lambda} e^{i\vec{k}_\Lambda \cdot \vec{r}} - \vec{\epsilon}_\Lambda^+ \frac{a_\Lambda^+}{i\omega_\Lambda} e^{-i\vec{k}_\Lambda \cdot \vec{r}} \right] \tag{4.10}$$

- Comme  $\vec{Z}^{b.f.}(\vec{0})$  commute avec  $\vec{Z}^{h.f.}(\vec{0})$ ,

$$e^{-i\vec{Q} \cdot \vec{\xi}_\alpha} = e^{-i\vec{Q} \cdot \vec{\xi}_\alpha^{b.f.}} e^{-i\vec{Q} \cdot \vec{\xi}_\alpha^{h.f.}} \tag{4.11}$$

$$\text{avec } \vec{\xi}_\alpha^{b.f.} = \frac{q_\alpha}{m_\alpha} \vec{Z}^{b.f.}(\vec{0}) \quad \vec{\xi}_\alpha^{h.f.} = \frac{q_\alpha}{m_\alpha} \vec{Z}^{h.f.}(\vec{0}) \tag{4.12}$$

Amplitude de probabilité à l'ordre 1 en  $V_e$  et à tous les ordres en  $q_\alpha$  pour que la particule soit diffusée de  $\vec{P}_i$  à  $\vec{P}_2$  avec émission de 0 photon haute fréquence et de ...  $n_\lambda$  photons basse fréquence du mode  $\lambda$  ...  
 D'après (4.8), (4.11), (4.12)

$$\begin{aligned}
 \mathcal{A}(\vec{P}_i \rightarrow \vec{P}_2 + \{0 \vec{k}_\Lambda \vec{\epsilon}_\Lambda\} + \{n_\lambda \vec{k}_\lambda \vec{\epsilon}_\lambda\}) &= -2\pi i \delta^{(T)}(E_i - E_2 - \sum_\lambda n_\lambda \hbar \omega_\lambda) \times \\
 &\times \frac{\mathcal{V}_e(\vec{Q})}{L^3} \langle \{0_\Lambda\} | e^{-i\vec{Q} \cdot \vec{\xi}_\alpha^{h.f.}} | \{0_\Lambda\} \rangle \langle \{n_\lambda\} | e^{-i\vec{Q} \cdot \vec{\xi}_\alpha^{b.f.}} | \{0_\lambda\} \rangle
 \end{aligned} \tag{4.13}$$

Dans (4.13),  $\hbar \vec{Q} = \vec{P}_i - \vec{P}_2$ . Pour  $\vec{P}_i$  et  $\vec{P}_2 = \vec{P}_2 / P_2$  fixés,  $\vec{Q}$  est déterminé par la conservation de l'énergie

$$(\vec{P}_i^2 - \vec{P}_2^2) / 2m_\alpha = \sum_\lambda n_\lambda \hbar \omega_\lambda \tag{4.14}$$

Donc  $\vec{Q}$  dépend en principe des  $\{n_\lambda\}$

Cependant, comme  $\omega_\lambda \leq \omega_m$  et que  $t\omega_m$  est très petit, on peut négliger l'énergie  $\sum_\lambda n_\lambda t\omega_\lambda$  rayonnée à basse fréquence, ce qui permet d'écrire

$$|\vec{P}_1| \sim |\vec{P}_2| \quad (4.15)$$

et de remplacer dans (4.13)  $\vec{Q}$  par  $\vec{Q}_{el}$  correspondant à la diffusion élastique de la particule de  $\vec{P}_1$  à  $\vec{P}_2$ .  $\vec{Q}_{el}$  est indépendant des  $\{n_\lambda\}$ .

De plus, comme la fonction  $\delta^{(T)}$  de (4.13) agit sur des fonctions lentement variables de l'énergie, on peut la remplacer par  $\delta^{(T)}(E_1 - E_2)$  puisque  $\sum_\lambda n_\lambda t\omega_\lambda$  est négligeable.

Finalement, ces 2 approximations permettent de réécrire (4.13) sous la forme

$$\begin{aligned} & A(\vec{P}_1 \rightarrow \vec{P}_2 + \{0 \vec{k}_\lambda \vec{e}_\lambda\} + \{n_\lambda \vec{k}_\lambda \vec{e}_\lambda\}) = \\ & = A_{el}(\vec{P}_1 \rightarrow \vec{P}_2 + \{0 \vec{k}_\lambda \vec{e}_\lambda\}) \langle \{n_\lambda\} | e^{-i\vec{Q} \cdot \vec{\xi}_x^{b.f}} | \{0_\lambda\} \rangle \end{aligned} \quad (4.16)$$

où

$$A_{el} = -2\pi i \delta^{(T)}(E_1 - E_2) \frac{V_e(\vec{Q})}{L^3} \langle \{0_\lambda\} | e^{-i\vec{Q} \cdot \vec{\xi}_x^{h.f}} | \{0_\lambda\} \rangle \quad (4.17)$$

est l'amplitude de diffusion élastique dans  $V_e$ , sans émission d'aucun photon haute fréquence et calculée en ignorant complètement les photons basse fréquence.

### Remarques

(i) Même si  $t\omega_\lambda$  est très petit,  $\sum n_\lambda t\omega_\lambda$  peut devenir non négligeable si  $n_\lambda$  est suffisamment grand et l'expression (4.16) cesse alors d'être valable. Nous calculerons plus loin (y § e) la valeur moyenne de l'énergie totale rayonnée à basse fréquence et montrerons qu'elle est très inférieure à  $t\omega_m$ . Les processus pour lesquels  $\sum n_\lambda t\omega_\lambda$  n'est pas négligeable ont donc une probabilité extrêmement faible et peuvent être ignorés.

(ii) le raisonnement conduisant de (4.13) à (4.13) peut être généralisé à des processus au cours desquels des photons haute fréquence peuvent être émis. Ainsi

$$\begin{aligned} & A(\vec{P}_1 \rightarrow \vec{P}_2 + 1 \text{ photon } \vec{k}_\lambda \vec{e}_\lambda + \{n_\lambda \vec{k}_\lambda \vec{e}_\lambda\}) = \\ & = A(\vec{P}_1 \rightarrow \vec{P}_2 + 1 \text{ photon } \vec{k}_\lambda \vec{e}_\lambda) \langle \{n_\lambda\} | e^{-i\vec{Q} \cdot \vec{\xi}_x^{b.f}} | \{0_\lambda\} \rangle \end{aligned} \quad (4.18)$$

où

$$A(\vec{P}_1 \rightarrow \vec{P}_2 + 1 \text{ photon } \vec{k}_\lambda \vec{e}_\lambda) = -2\pi i \delta^{(T)}(E_1 - E_2 - t\omega_\lambda) \times$$

$$\times \frac{V_e(\vec{Q})}{L^3} \langle \vec{k}_\lambda \vec{e}_\lambda | e^{-i\vec{Q} \cdot \vec{\xi}_x^{h.f}} | \{0_\lambda\} \rangle \quad (4.19)$$

est l'amplitude de diffusion avec émission d'un photon  $\vec{k}_\lambda \vec{e}_\lambda$  calculée en ignorant les photons basse fréquence. Dans (4.18) et (4.19),  $\vec{Q}$  est défini pour  $\vec{P}_1$  et  $\vec{n}_2 = \vec{P}_2 / P_2$  fixés par  $(P_1^2 - P_2^2) / 2m_2 = t\omega_\lambda$ .

## Grandeurs mesurées expérimentalement

- Compte tenu de la résolution fine en énergie avec laquelle la particule diffusée est observée, on ne peut pas savoir si des photons basse fréquence ont été émis ou non au cours de la diffusion.

La quantité mesurée est donc

$$W_{\text{mesurée}} = \sum_{\{n_\lambda\}} W(\vec{p}_1 \rightarrow \vec{p}_2 + \{0 \vec{k}_\lambda \vec{E}_\lambda\} + \{n_\lambda \vec{k}_\lambda \vec{E}_\lambda\}) \quad (4.20)$$

où  $W$  est la probabilité de transition par unité de temps égale au carré du module de (4.13) divisé par  $T$ . En utilisant (4.16), on trouve

$$\begin{aligned} W(\vec{p}_1 \rightarrow \vec{p}_2 + \{0 \vec{k}_\lambda \vec{E}_\lambda\} + \{n_\lambda \vec{k}_\lambda \vec{E}_\lambda\}) &= \\ &= W_{\text{el}}(\vec{p}_1 \rightarrow \vec{p}_2 + \{0 \vec{k}_\lambda \vec{E}_\lambda\}) |\langle \{n_\lambda\} | e^{-i \vec{Q} \cdot \vec{\xi}_{\text{b.f}}} | \{0_\lambda\} \rangle|^2 \end{aligned} \quad (4.21)$$

ou

$$W_{\text{el}} = \frac{1}{T} |A_{\text{el}}(\vec{p}_1 \rightarrow \vec{p}_2 + \{0 \vec{k}_\lambda \vec{E}_\lambda\})|^2 \quad (4.22)$$

est la probabilité de diffusion élastique par unité de temps  $\vec{p}_1 \rightarrow \vec{p}_2$  sans émission d'aucun photon haute fréquence et calculée en ignorant complètement les modes basse fréquence (à la différence de  $W_{\text{el}}^{(0)}$  apparaissant en (3.2),  $W_{\text{el}}$  est maintenant valable à tous les ordres en  $q_\alpha$ ).

- Compte tenu de (4.20) et (4.21)

$$\begin{aligned} W_{\text{mesurée}}(\vec{p}_1 \rightarrow \vec{p}_2 + \{0 \vec{k}_\lambda \vec{E}_\lambda\}) &= \\ &= W_{\text{el}}(\vec{p}_1 \rightarrow \vec{p}_2 + \{0 \vec{k}_\lambda \vec{E}_\lambda\}) \times \sum_{\{n_\lambda\}} |\langle \{n_\lambda\} | e^{-i \vec{Q} \cdot \vec{\xi}_{\text{b.f}}} | \{0_\lambda\} \rangle|^2 \end{aligned} \quad (4.23)$$

Or

$$\begin{aligned} \sum_{\{n_\lambda\}} |\langle \{n_\lambda\} | e^{-i \vec{Q} \cdot \vec{\xi}_{\text{b.f}}} | \{0_\lambda\} \rangle|^2 &= \\ \langle \{0_\lambda\} | e^{i \vec{Q} \cdot \vec{\xi}_{\text{b.f}}} \sum_{\{n_\lambda\}} |\{n_\lambda\}\rangle \langle \{n_\lambda\}| e^{-i \vec{Q} \cdot \vec{\xi}_{\text{b.f}}} | \{0_\lambda\} \rangle \end{aligned} \quad (4.24)$$

Tous les opérateurs apparaissant dans (4.24) n'agissent que dans le sous-espace des photons basse fréquence. Dans ce sous-espace,  $\sum_{\{n_\lambda\}} |\{n_\lambda\}\rangle \langle \{n_\lambda\}| = \mathbb{I}$  (relation de fermeture) et la deuxième ligne de (4.24) se réduit à  $\langle \{0_\lambda\} | \{0_\lambda\} \rangle = 1$ , de sorte que

$$W_{\text{mesurée}}(\vec{p}_1 \rightarrow \vec{p}_2 + \{0 \vec{k}_\lambda \vec{E}_\lambda\}) = W_{\text{el}}(\vec{p}_1 \rightarrow \vec{p}_2 + \{0 \vec{k}_\lambda \vec{E}_\lambda\}) \quad (4.25)$$

La grandeur mesurée expérimentalement peut donc être calculée en ignorant complètement les modes basse fréquence. Elle ne contient plus aucune direction infrarouge.

Un calcul analogue peut être fait à partir des équations (4.18) et (4.19). Il montre qu'on peut ignorer tous les mode basse fréquence pour les grandeurs significatives expérimentalement impliquant l'émission de un (ou plusieurs) photons haute fréquence.

## Valeur moyenne de l'énergie rayonnée à basse fréquence [VI-5]

- L'équation (4.21) montre que, si la particule en diffusé élastiquement de  $\vec{P}_1$  à  $\vec{P}_2$ , la probabilité pour qu'elle émette un ensemble  $\{n_\lambda\}$  de photons basse fréquence est

$$|\langle \{n_\lambda\} | e^{-i\vec{Q} \cdot \vec{\xi}_\alpha^{b.f}} | \{0_\lambda\} \rangle|^2 \quad (4.26)$$

l'énergie rayonnée dans ce processus étant

$$E_{\{n_\lambda\}} - E_{\{0_\lambda\}} = \sum_\lambda n_\lambda \hbar \omega_\lambda \quad (4.27)$$

- Energie moyenne rayonnée

$$\begin{aligned} \langle E_{ray}^{b.f} \rangle &= \sum_{\{n_\lambda\}} (E_{\{n_\lambda\}} - E_{\{0_\lambda\}}) |\langle \{n_\lambda\} | e^{-i\vec{Q} \cdot \vec{\xi}_\alpha^{b.f}} | \{0_\lambda\} \rangle|^2 = \\ &= \sum_{\{n_\lambda\}} \langle \{0_\lambda\} | e^{i\vec{Q} \cdot \vec{\xi}_\alpha^{b.f}} | \{n_\lambda\} \rangle \langle \{n_\lambda\} | [H_R^{b.f}, e^{-i\vec{Q} \cdot \vec{\xi}_\alpha^{b.f}}] | \{0_\lambda\} \rangle \end{aligned} \quad (4.28)$$

où  $H_R^{b.f} = \sum_\lambda \hbar \omega_\lambda (a_\lambda^+ a_\lambda + \frac{1}{2})$  (4.29)

$$\hookrightarrow \langle E_{ray}^{b.f} \rangle = \langle \{0_\lambda\} | e^{i\vec{Q} \cdot \vec{\xi}_\alpha^{b.f}} H_R^{b.f} e^{-i\vec{Q} \cdot \vec{\xi}_\alpha^{b.f}} - H_R^{b.f} | \{0_\lambda\} \rangle \quad (4.30)$$

- En utilisant le développement de  $\vec{\xi}_\alpha^{b.f}$  en  $a_\lambda$  et  $a_\lambda^+$ , on obtient

$$e^{i\vec{Q} \cdot \vec{\xi}_\alpha^{b.f}} = \exp \left\{ \sum_\lambda (\gamma_\lambda^* a_\lambda - \gamma_\lambda a_\lambda^+) \right\} \quad (4.31)$$

où  $\gamma_\lambda = \frac{q_\alpha}{m_\alpha} \sqrt{\frac{\hbar}{2\varepsilon_0 \omega_\lambda^3 L^3}} \vec{E}_\lambda \cdot \vec{Q}$  (4.32)

l'opérateur (4.31) est un opérateur de translation de  $a_\lambda$  et  $a_\lambda^+$

$$e^{i\vec{Q} \cdot \vec{\xi}_\alpha^{b.f}} a_\lambda e^{-i\vec{Q} \cdot \vec{\xi}_\alpha^{b.f}} = a_\lambda + \gamma_\lambda \quad (4.33)$$

- L'équation (4.33) et son adjointe, donnent alors pour (4.30)

$$\langle E_{ray}^{b.f} \rangle = \sum_\lambda \hbar \omega_\lambda \gamma_\lambda^* \gamma_\lambda = \sum_\lambda \hbar \omega_\lambda q_\alpha^2 \frac{(\vec{E}_\lambda \cdot \delta \vec{v})^2}{2\varepsilon_0 \hbar \omega_\lambda^3 L^3} \quad (4.34)$$

où  $\delta \vec{v} = \frac{\vec{P}_1 - \vec{P}_2}{m_\alpha} = \frac{\hbar \vec{Q}}{m_\alpha}$  (4.35)

$$\hookrightarrow \langle E_{ray}^{b.f} \rangle = \frac{L^3}{(2\pi)^3} \int_0^{k_m} k^2 dk \int d\Omega \sum_{\vec{E} \perp \vec{k}} \frac{q_\alpha^2}{2\varepsilon_0 \hbar \omega_\lambda^3 L^3} \sum_{i,j} \epsilon_i \epsilon_j \delta v_i \delta v_j \quad (4.36)$$

$$\int d\Omega \sum_{\vec{E}} \epsilon_i \epsilon_j = \int d\Omega (\delta_{ij} - \frac{k_i \cdot k_j}{k^2}) = \frac{8\pi}{3} \delta_{ij} \quad (4.37)$$

$$\hookrightarrow \langle E_{ray}^{b.f} \rangle = \frac{q_\alpha^2}{2\varepsilon_0 c^2} \frac{1}{3\pi^2} k_m (\delta \vec{v})^2 = \frac{2\alpha}{3\pi} \frac{(\delta \vec{v})^2}{c^2} \hbar \omega_m \quad (4.38)$$

Comme  $\alpha = q_\alpha^2 / 4\pi \varepsilon_0 \hbar c = 1/137 \ll 1$  et que  $(\delta \vec{v})^2 \ll c^2$ , on en déduit que  $\langle E_{ray}^{b.f} \rangle \ll \hbar \omega_m$ . Il est donc légitime de négliger  $\sum_\lambda n_\lambda \hbar \omega_\lambda$  devant  $E_1$  et  $E_2$  dans (4.13)

Retour à la formule (1.13) page III.4 donnant la variable normale claire du champ rayonné dans le mode  $\vec{E}$  par une particule claire diffusée de  $\vec{v}_1$  à  $\vec{v}_2$  par un potentiel (la réaction du rayonnement émis étant négligeable).

A la limite des très basses fréquences  $\omega T_c \ll 1$  (où  $T_c$  est le temps de collisions), on peut remplacer dans (1.13)

$$\int_{t_1}^{t_2} \vec{E} \cdot \vec{j}_\alpha(t') e^{i\omega t'} dt' = \int_{t_1}^{t_2} \vec{E} \cdot \vec{j}_\alpha(t') dt' = \vec{E} \cdot (\vec{v}_2 - \vec{v}_1) = \vec{E} \cdot \delta \vec{v}$$

En reportant alors la valeur de  $\alpha_E(\vec{k}) = -q_\alpha \vec{E} \cdot \delta \vec{v} / \sqrt{2\epsilon_0 \hbar \omega^3 (2\pi)^3}$  dans l'expression de l'énergie du champ clair  $\int d^3k \sum_{\vec{E}} \hbar \omega \alpha_E^*(\vec{k}) \alpha_E(\vec{k})$ , et en sommant sur  $\vec{k}$  et  $\vec{E}$  avec  $|\vec{k}| < k_m$ , on retrouve exactement (4.38)

Le calcul quantique à tous les ordres en  $q_\alpha$  présente ici redonne donc bien le résultat clair en valeur moyenne.

## Appendice

### 1 - Rappels du cours IV

- $T = \exp \left[ \frac{i}{\hbar} \frac{q_\alpha}{m_\alpha} \vec{P}_\alpha \cdot \vec{Z}(\vec{0}) \right] \quad (A.1)$

- $T \frac{1}{2m_\alpha} \left[ \vec{P}_\alpha - q_\alpha \vec{A}_\perp(\vec{0}) \right]^2 T^+ = \frac{1}{2m_\alpha} \left[ \vec{P}_\alpha - q_\alpha \vec{A}_\perp(\vec{0}) - q_\alpha \vec{A}_{\perp P}(\vec{0}) \right]^2$   
 $= \frac{1}{2m_\alpha} \left[ \vec{P}_\alpha \left( 1 - \frac{\delta m_{1\alpha}}{m_\alpha} \right) - q_\alpha \vec{A}_\perp(\vec{0}) \right]^2 \quad (A.2)$

car

$$q_\alpha \vec{A}_{\perp P}(\vec{0}) = \frac{\delta m_{1\alpha}}{m_\alpha} \vec{P}_\alpha \quad (A.3)$$

avec  $\delta m_{1\alpha} = \frac{q_\alpha^2 k M}{3\pi^2 \epsilon_0 C^2} \quad (A.4)$

- $TH_R T^+ = H_R + \frac{q_\alpha}{m_\alpha} \vec{P}_\alpha \cdot \vec{A}_\perp(\vec{0}) + \frac{\vec{P}_\alpha^2}{2m_\alpha} \frac{\delta m_{1\alpha}}{m_\alpha} \quad (A.5)$

### 2 - Critique du cours IV

- Dans le cours IV, on a négligé dans (A.2) le double produit de  $-\frac{\delta m_{1\alpha}}{m_\alpha} \vec{P}_\alpha$  avec  $-q_\alpha \vec{A}_\perp(\vec{0})$  avec l'argument que c'est un terme d'ordre 3 en  $q_\alpha$  (En effet, d'après (A.4),  $\delta m_{1\alpha}$  est d'ordre 2 en  $q_\alpha$ ).

Mais ce terme est un terme d'interaction puisqu'il figure à la fois  $\vec{P}_\alpha$  et  $\vec{A}_\perp(\vec{0})$ . Dans un calcul à tous les ordres en  $q_\alpha$ , comme celui fait dans le § 4, il faudrait en tenir compte et considérer l'effet de ce terme en plus de celui de  $V_C(\vec{r}_\alpha + \vec{r}_\alpha')$ .

- Notons qu'on a aussi négligé les termes provenant du carré de  $-\frac{\delta m_{1\alpha}}{m_\alpha} \vec{P}_\alpha$ , qui sont d'ordre 4 en  $q_\alpha$  mais ne dépendent que de la particule.

## 3- Meilleure solution

- Utilisation de  $T' = \exp \left[ \frac{i}{\hbar} \frac{q_\alpha}{m_\alpha^*} \vec{P}_\alpha \cdot \vec{Z}(\vec{0}) \right]$  (A.6)

avec  $m_\alpha^* = m_\alpha + \delta m_{1\alpha}$  (A.7)

plutôt que (A.1)

-  $T' \frac{1}{2m_\alpha} [\vec{P}_\alpha - q_\alpha \vec{A}_L(\vec{0})]^2 T'^+ = \frac{1}{2m_\alpha} \left[ \vec{P}_\alpha \left( 1 - \frac{\delta m_{1\alpha}}{m_\alpha^*} \right) - q_\alpha \vec{A}_L(\vec{0}) \right]^2$  (A.8)

Le  $m_\alpha$  qui apparaît dans le crochet de (A.2) ne peut en effet provenir que de  $T$ , puisque  $\delta m_{1\alpha}$  ne dépend pas de  $m_\alpha$ . Pour passer de (A.2) à (A.8), il suffit donc de remplacer à l'intérieur du crochet de (A.2),  $m_\alpha$  par  $m_\alpha^*$ .

Comme  $1 - \frac{\delta m_{1\alpha}}{m_\alpha^*} = \frac{m_\alpha^* - \delta m_{1\alpha}}{m_\alpha^*} = \frac{m_\alpha}{m_\alpha^*}$  (A.9)

on obtient, sans faire aucune approximation

$$T' \frac{1}{2m_\alpha} [\vec{P}_\alpha - q_\alpha \vec{A}_L(\vec{0})]^2 T'^+ = \frac{\vec{P}_\alpha^2}{2m_\alpha^*} \frac{m_\alpha}{m_\alpha^*} - \frac{q_\alpha}{m_\alpha^*} \vec{P}_\alpha \cdot \vec{A}_L(\vec{0}) + \frac{q_\alpha^2}{2m_\alpha} \vec{A}_L(\vec{0})^2 \quad (\text{A.10})$$

- De même, comme  $H_R$  ne dépend pas de  $m_\alpha$ , les  $m_\alpha$  qui apparaissent sous (A.5) ne peuvent provenir que de  $T$ . Pour passer de  $T H_R T^+$  à  $T' H_R T'^+$ , il suffit donc de remplacer dans (A.5)  $m_\alpha$  par  $m_\alpha^*$

$$T' H_R T'^+ = H_R + \frac{q_\alpha}{m_\alpha^*} \vec{P}_\alpha \cdot \vec{A}_L(\vec{0}) + \frac{\vec{P}_\alpha^2}{2m_\alpha^*} \frac{\delta m_{1\alpha}}{m_\alpha^*} \quad (\text{A.11})$$

- En ajoutant (A.10) et (A.11) et en notant que le coefficient de  $\frac{\vec{P}_\alpha^2}{2m_\alpha^*}$  est  $\frac{m}{m_\alpha^*} + \frac{\delta m_{1\alpha}}{m_\alpha^*} = 1$ , on obtient

$$T' \left\{ \frac{1}{2m_\alpha} [\vec{P}_\alpha - q_\alpha \vec{A}_L(\vec{0})]^2 + H_R \right\} T'^+ = \frac{\vec{P}_\alpha^2}{2m_\alpha^*} + H_R + \frac{q_\alpha^2}{2m_\alpha} \vec{A}_L(\vec{0})^2 \quad (\text{A.12})$$

Aucune approximation n'a été faite dans le calcul.  
Aucun terme d'interaction n'apparaît.

- Les termes d'interaction ne peuvent alors vraiment provenir que de la transformée de  $V_e(\vec{r}_\alpha)$

$$T' V_e(\vec{r}_\alpha) T'^+ = V_e(\vec{r}_\alpha + \vec{\xi}'_\alpha) \quad (\text{A.13})$$

avec  $\vec{\xi}'_\alpha = \frac{q_\alpha}{m_\alpha^*} \vec{Z}(\vec{0})$  (A.14)

Tous les calculs du § 4 ne sont donc valables à tous les ordres en  $q_\alpha$  que si  $m_\alpha$  est remplacé par  $m_\alpha^*$  dans  $\vec{\xi}'_\alpha$ .

Diffusion par un potentiel  
en présence d'un rayonnement laser

VII-1

① Champ laser décrit comme un champ extérieur

- Hamiltonien de la particule.
- Transformations unitaire
- Hamiltonien transformé
- Diffusion élastique (traitement à l'ordre 1 en  $V_e$  et à tous les ordres en  $q_a$ )
- Diffusion inélastique avec absorption ou émission minimale de  $n$  photons laser (ordre 1 en  $V_e$ , tous les ordres en  $q_a$ )

② Description quantique du champ laser

- Amplitude de diffusion à  $n$  photons laser
- Raccord avec la théorie semi-classique
- Limite des très basses fréquences - Formule de Kroll - Watson

③ Exemple de résultats expérimentaux.

Introduction

L'absorption et l'émission induite <sup>(réelles)</sup> de photons incidents sont impossibles pour une particule chargée libre.

Devient possibles en présence d'un potentiel qui peut absorber ou fournir de l'impulsion.

Exemples d'applications : chauffage d'un plasma par un laser (processus de "Bremsstrahlung inverse").

Chaudrage radiofréquence dans un piège de Paul

Hamiltonien d'une particule couplé à un champ laser traité comme un champ extérieur  $\vec{A}_e(\vec{r}, t)$

- On néglige les couplages avec les autres modes du champ (émission spontanée négligée)
- Approximation des grandes longueurs d'onde

$$\vec{A}_e(\vec{r}_a, t) \rightarrow \vec{A}_e(\vec{0}, t) = A_0 \cos \omega t \vec{e}_3 \quad (1.1)$$

$$\vec{E}_e(\vec{0}, t) = -\dot{\vec{A}}_e(\vec{0}, t) = \omega A_0 \sin \omega t \vec{e}_3 \quad (1.2)$$

$$\vec{Z}_e(\vec{0}, t) = -\int^t \vec{A}_e(\vec{0}, t') dt' = -\frac{A_0}{\omega} \sin \omega t \vec{e}_3 \quad (1.3)$$

- Hamiltonien dans le point de vue de Coulombs

$$H(t) = \frac{1}{2m_\alpha} [\vec{P}_\alpha - q_\alpha \vec{A}_e(\vec{r}, t)]^2 + V_e(\vec{r}_\alpha) \quad (1.4)$$

Ne dépend que des variables  $\vec{r}_\alpha$  et  $\vec{P}_\alpha$  de la particule puisque le champ est traité classiquement  
 $V_e$  : Potentiel diffusif.

### Transformation unitaire

- Équivalent de la transformation de Pauli-Fierz

$$T(t) = \exp \left\{ \frac{i}{\hbar} \frac{q_\alpha}{m_\alpha} \vec{P}_\alpha \cdot \vec{Z}_e(\vec{r}, t) \right\} = \exp \left\{ \frac{i}{\hbar} \vec{P}_\alpha \cdot \vec{\xi}_\alpha(t) \right\} \quad (1.5)$$

$$\vec{\xi}_\alpha(t) = \frac{q_\alpha}{m_\alpha} \vec{Z}_e(\vec{r}, t) = - \frac{q_\alpha A_0}{m_\alpha \omega} \sin \omega t \vec{e}_3 \quad (1.6)$$

- Pour se débarrasser du terme en  $\frac{q_\alpha^2}{2m_\alpha} \vec{A}_e(\vec{r}, t)^2$  de (1.4) qui est une fonction classique de  $t$ , on peut prendre

$$T(t) = \exp \left\{ \frac{i}{\hbar} \vec{P}_\alpha \cdot \vec{\xi}_\alpha(t) \right\} \times \exp \left\{ \frac{i}{\hbar} \frac{q_\alpha^2}{2m_\alpha} \int_0^t dt' \vec{A}_e^2(\vec{r}, t') \right\} \quad (1.7)$$

### Hamiltonien transformé

$$H'(t) = T(t) H(t) T^+(t) + i\hbar \left( \frac{dT(t)}{dt} \right) T^+(t) \quad (1.8)$$

$$T(t) \vec{r}_\alpha T^+(t) = \vec{r}_\alpha + \vec{\xi}_\alpha(t) \quad T(t) \vec{P}_\alpha T^+(t) = \vec{P}_\alpha \quad (1.9)$$

$$\hookrightarrow T(t) H(t) T^+(t) = \frac{1}{2m_\alpha} [\vec{P}_\alpha - q_\alpha \vec{A}_e(\vec{r}, t)]^2 + V_e(\vec{r}_\alpha + \vec{\xi}_\alpha(t)) \quad (1.10)$$

$$\frac{d}{dt} T(t) = \left[ \frac{i}{\hbar} \vec{P}_\alpha \cdot \vec{\xi}_\alpha(t) + \frac{i}{\hbar} \frac{q_\alpha^2}{2m_\alpha} \vec{A}_e^2(\vec{r}, t) \right] T(t) \quad (1.11)$$

$$\dot{\vec{\xi}}_\alpha(t) = \frac{q_\alpha}{m_\alpha} \dot{\vec{Z}}_e(\vec{r}, t) = - \frac{q_\alpha}{m_\alpha} \vec{A}_e(\vec{r}, t) \quad (1.12)$$

$$\hookrightarrow i\hbar \left( \frac{dT(t)}{dt} \right) T^+(t) = \frac{q_\alpha}{m_\alpha} \vec{P}_\alpha \cdot \vec{A}_e(\vec{r}, t) - \frac{q_\alpha^2}{2m_\alpha} \vec{A}_e^2(\vec{r}, t) \quad (1.13)$$

$$\hookrightarrow H'(t) = \frac{\vec{P}_\alpha^2}{2m_\alpha} + V_e(\vec{r}_\alpha + \vec{\xi}_\alpha(t)) \quad (1.14)$$

### Développement du nouveau potentiel $V_e(\vec{r}_\alpha + \vec{\xi}_\alpha(t))$ en série de Fourier

$$V_e(\vec{k}) = \int d^3 r e^{i\vec{k} \cdot \vec{r}} V_e(\vec{r}) \quad V_e(\vec{r}) = \frac{1}{(2\pi)^3} \int d^3 k e^{-i\vec{k} \cdot \vec{r}} V_e(\vec{k}) \quad (1.15)$$

$$V_e(\vec{r}_\alpha + \vec{\xi}_\alpha(t)) = \frac{1}{(2\pi)^3} \int d^3 k V_e(\vec{k}) e^{-i\vec{k} \cdot \vec{r}_\alpha} e^{-i\vec{k} \cdot \vec{\xi}_\alpha(t)} \quad (1.16)$$

$$\exp(-i\vec{k} \cdot \vec{\xi}_\alpha(t)) = \exp(i \frac{q_\alpha}{m_\alpha} \frac{A_0}{\omega} \vec{k} \cdot \vec{e}_3 \sin \omega t) = \exp(i \vec{k} \cdot \vec{\xi}_0 \sin \omega t) \quad (1.17)$$

$$\text{avec } \vec{\xi}_0 = \frac{q_\alpha}{m_\alpha} \frac{A_0}{\omega} \vec{e}_3 \quad (1.18)$$

$$\text{Or } e^{i\alpha \sin \varphi} = \sum_{n=-\infty}^{+\infty} J_n(\alpha) e^{in\varphi}$$

$$\hookrightarrow \exp(-i\vec{k} \cdot \vec{\xi}_0(t)) = \sum_{n=-\infty}^{+\infty} J_n(\vec{k} \cdot \vec{\xi}_0) e^{inwt} \quad (1.20)$$

$$\hookrightarrow V_e(\vec{r}_0 + \vec{\xi}_0(t)) = \sum_{n=-\infty}^{+\infty} \tilde{V}_n(\vec{r}_0) e^{inwt} \quad (1.21)$$

$$\tilde{V}_n(\vec{r}_0) = \frac{1}{(2\pi)^3} \int d^3k e^{-i\vec{k} \cdot \vec{r}_0} V_e(\vec{k}) J_n(\vec{k} \cdot \vec{\xi}_0) \quad (1.22)$$

A l'ordre 1 en  $V_e$ ,  $\tilde{V}_n(\vec{r}_0)$  ne change pas l'énergie de la particule  $\rightarrow$  diffusion élastique. Quant à  $\tilde{V}_n(\vec{r}_0) e^{inwt}$ , il change l'énergie de la particule de  $n\hbar\omega$   $\rightarrow$  diffusion inélastique avec absorption de  $n$  photons.

### Diffusion élastique

- Potentiel  $V_e(\vec{r})$  créé par une charge  $q$  placée en  $\vec{0}$

$$V_e(\vec{r}) = \frac{q q_\alpha}{4\pi\epsilon_0} \frac{1}{r} \quad \rightarrow \quad V_e(\vec{k}) = \frac{q q_\alpha}{\epsilon_0 k^2} \quad (1.23)$$

$$\hookrightarrow \tilde{V}_0(\vec{r}) = \frac{1}{(2\pi)^3} \int d^3k e^{-i\vec{k} \cdot \vec{r}} \frac{q q_\alpha}{\epsilon_0 k^2} J_0(\vec{k} \cdot \vec{\xi}_0) \quad (1.24)$$

La transformée de Fourier  $\tilde{V}_0(\vec{k})$  de  $\tilde{V}_0(\vec{r})$  nous donne

$$\tilde{V}_0(\vec{k}) = q q_\alpha \frac{J_0(\vec{k} \cdot \vec{\xi}_0)}{\epsilon_0 k^2} \quad (1.25)$$

- Soit  $\tilde{\rho}_0(\vec{r})$  la distribution de charge donnant naissance au potentiel  $\tilde{V}_0(\vec{r})/q_\alpha$ . D'après l'équation de Poisson

$$\Delta \frac{\tilde{V}_0(\vec{r})}{q_\alpha} + \frac{\tilde{\rho}_0(\vec{r})}{\epsilon_0} = 0 \quad (1.26)$$

ce qui donne par transformée de Fourier, en compte tenu de (1.25)

$$\tilde{\rho}_0(\vec{k}) = \epsilon_0 k^2 \frac{V_0(\vec{k})}{q_\alpha} = q J_0(\vec{k} \cdot \vec{\xi}_0) \quad (1.27)$$

On en déduit  $\tilde{\rho}_0(\vec{r})$  par transformée de Fourier inverse

$$\tilde{\rho}_0(\vec{r}) = \frac{q}{(2\pi)^3} \int d^3k e^{-i\vec{k} \cdot \vec{r}} J_0(\vec{k} \cdot \vec{\xi}_0) \quad (1.28)$$

c'est à dire en utilisant la T.F. de  $J_0$  et le fait que, d'après (1.18),  $\vec{\xi}_0$  est parallèle à  $\vec{e}_3$

$$\tilde{\rho}_0(\vec{r}) = q \delta(x) \delta(y) \begin{cases} \frac{1}{\pi} \frac{1}{\sqrt{\xi_0^2 - z^2}} & \text{si } |z| < \xi_0 \\ 0 & \text{si } |z| > \xi_0 \end{cases} \quad (1.29)$$

- Interprétation physique.

Sous l'effet de l'excitation laser, la particule effectue le mouvement de vibration  $-\vec{\xi}_0 \sin wt$  (vois (1.6) et (1.18)).

Dans son référentiel au repos, la particule "voit" donc la charge  $q$  créant  $V_e(\vec{r})$  osciller le long de  $Oz$  avec l'amplitude  $\xi_0$ .

L'équation (1.29) donne la distribution de charge quantique apparente associée à cette charge oscillante. Cette distribution est bien sûr localisée sur  $O_3$ . Elle représente la densité de probabilité de trouver la charge  $q$  en un point  $z$  de l'axe  $O_3$ , qui diverge bien sûr aux points de rebroussement  $+\xi_0$  et  $-\xi_0$  puisque la vitesse de la charge  $q$  est nulle en ces points.

### Diffusion inélastique

$$\vec{P}_1 \rightarrow \vec{P}_2 = \vec{P}_1 - t\vec{\varphi}$$

- D'après la théorie des perturbations dépendant du temps, l'amplitude de diffusion de  $\vec{P}_1$  vers  $\vec{P}_2 = \vec{P}_1 - t\vec{\varphi}$  avec absorption de  $n$  photons laser vaut

$$\frac{1}{i\hbar} \langle \vec{P}_2 | \tilde{V}_n(\vec{P}_2) | \vec{P}_1 \rangle \int_{-T/2}^{+T/2} dt e^{i(E_2 - E_1 - n\hbar\omega)t/\hbar} \quad (1.30)$$

c'est à dire encore, d'après (1.22)

$$\begin{aligned} - 2\pi i \delta^{(T)}(E_2 - E_1 - n\hbar\omega) \frac{\tilde{V}_n(\vec{\varphi})}{L^3} &= \\ = - 2\pi i \delta^{(T)}(E_2 - E_1 - n\hbar\omega) \frac{v_e(\vec{\varphi})}{L^3} J_n(\vec{\varphi} \cdot \vec{\xi}_0) \end{aligned} \quad (1.31)$$

- Cette formule est valable à l'ordre 1 en  $v_e$  et à tous les ordres en  $q_x$ . Les amplitudes des processus d'émission induite s'obtiennent à partir de (1.31) en remplaçant  $n$  par  $-n$ .
- Si  $A_0 \rightarrow 0$ ,  $\vec{\xi}_0 \rightarrow \vec{0}$ . Comme  $J_n(0)$  s'annule sauf si  $n=0$ , on retrouve bien que seule la diffusion claire subsiste en l'absence de laser.

### Description quantique du champ laser

- Retour au cours précédent (pages VI-1 et VI-2)

Extension de la formule (4.8) à un processus on

$$|\Psi_{in}\rangle = |\vec{P}_1; \{n_i; \vec{k}_i; \vec{E}_i\}\rangle \quad |\Psi_{fin}\rangle = |\vec{P}_2; \{n'_i; \vec{k}'_i; \vec{E}'_i\}\rangle \quad (2.1)$$

- Amplitude de diffusion

$$\begin{aligned} A(\vec{P}_1 + \{n_i; \vec{k}_i; \vec{E}_i\} \rightarrow \vec{P}_2 + \{n'_i; \vec{k}'_i; \vec{E}'_i\}) &= \\ - 2\pi i \delta^{(T)}(E_{in} - E_{fin}) \frac{v_e(\vec{\varphi})}{L^3} \langle \{n'_i\} | e^{-i\vec{\varphi} \cdot \vec{\xi}_0} | \{n_i\} \rangle \end{aligned} \quad (2.2)$$

$$E_{in} = E_1 + \sum_i n_i \hbar \omega_i \quad E_{fin} = E_2 + \sum_i n'_i \hbar \omega'_i \quad (2.3)$$

$$E_1 = \vec{P}_1^2 / 2m_a \quad E_2 = \vec{P}_2^2 / 2m_a \quad \vec{P}_1 - \vec{P}_2 = t\vec{\varphi} \quad (2.4)$$

- La formule (2.2) tient compte de tous les modes et des processus aussi bien spontanés que stimulés

- Nous allons supposer maintenant que tous les modes sont vides, dans l'état initial et l'état final, sauf l'un d'entre eux  $\vec{R}\vec{E}$ , qui

contient  $n_1$  photons dans l'état initial,  $n_2$  photons dans l'état final. Le processus étudié est donc  $\vec{P}_1 + n_1 \vec{k} \vec{E} \rightarrow \vec{P}_2 + n_2 \vec{k} \vec{E}$

Si l'on que  $n_2 < n_1$  ou  $n_2 > n_1$ , il y a absorption de  $n_1 - n_2$  photons ou émission de  $n_2 - n_1$  photons, l'amplitude correspondante étant

$$\mathcal{A}(\vec{P}_1 + n_1 \vec{k} \vec{E} \rightarrow \vec{P}_2 + n_2 \vec{k} \vec{E}) = -2\pi i \delta^{(T)}(E_2 - E_1 - (n_1 - n_2) \hbar \omega) \frac{V_{el}(\vec{Q})}{L^3} \langle n_2 | e^{-i\vec{Q} \cdot \vec{\xi}_\alpha} | n_1 \rangle \quad (2.5)$$

Dans (2.5), il suffit de ne garder dans  $\vec{\xi}_\alpha = q_\alpha \vec{Z}(\vec{o}) / m_\alpha$  que la contribution du mode  $\vec{k} \vec{E}$

$$\vec{\xi}_\alpha = \frac{q_\alpha}{m_\alpha} \sqrt{\frac{\hbar}{2\epsilon_0 \omega^3 L^3}} i(a^\dagger - a) \vec{E} \quad (2.6)$$

$a$  et  $a^\dagger$  étant des notations simplifiées pour  $a_{kE}$  et  $a_{kE}^\dagger$ .

### Raccord avec la théorie semiclassique

- Supposons le mode  $\vec{k} \vec{E}$  dans un état cohérent  $|\alpha\rangle$  (avec  $\alpha$  réel). La valeur moyenne du potentiel vecteur libre en  $\vec{o}$  s'écrit

$$\langle \alpha | \vec{A}_e(\vec{o}, t) | \alpha \rangle = \sqrt{\frac{\hbar}{2\epsilon_0 \omega L^3}} \vec{E} (\alpha e^{-i\omega t} + \alpha^* e^{i\omega t}) = 2\alpha \sqrt{\frac{\hbar}{2\epsilon_0 \omega L^3}} \vec{E} \cos \omega t \quad (2.7)$$

De même, le nombre moyen  $\langle N \rangle$  et la variance  $\Delta N = \langle N^2 \rangle - \langle N \rangle^2$  du nombre de photons dans le mode valent

$$\langle N \rangle = \langle \alpha | a^\dagger a | \alpha \rangle = \alpha^2 \quad \Delta N = \alpha^2 = \langle N \rangle \quad (2.8)$$

- Pour faire le raccord avec la théorie semiclassique, nous choisissons  $\alpha$  de manière que  $\vec{A}_e(\vec{o}, t)$  soit égal en valeur moyenne au champ classique (1.1)

$$\langle \alpha | \vec{A}_e(\vec{o}, t) | \alpha \rangle = A_0 \cos \omega t \vec{e}_3 \quad (2.9)$$

ce qui donne, compte tenu de (2.7)

$$\vec{E} = \vec{e}_3 \quad 2\alpha \sqrt{\frac{\hbar}{2\epsilon_0 \omega L^3}} = A_0 \quad (2.10)$$

- Seul compte finalement  $\alpha/\sqrt{L^3}$  (ou encore  $\alpha^2/L^3 = \langle N \rangle/L^3$ , c'est à dire la densité d'énergie par unité de volume). On peut faire tendre  $L^3$  et  $\alpha$  vers l'infini en gardant  $\alpha/\sqrt{L^3}$  constant et donné par (2.10)

Dans l'amplitude (2.5), on peut donc considérer que  $n_2$  et  $n_1$  sont très grands

### Calcul de $\langle n_2 | \exp(-i\vec{Q} \cdot \vec{\xi}_\alpha) | n_1 \rangle$

- En utilisant (2.6) et (2.10), on obtient

$$-i\vec{Q} \cdot \vec{\xi}_\alpha = \frac{q_\alpha}{m_\alpha} \sqrt{\frac{\hbar}{2\epsilon_0 \omega^3 L^3}} (a^\dagger - a) \vec{e}_3 \cdot \vec{Q} = \frac{q_\alpha}{m_\alpha} \frac{A_0}{2\alpha \omega} (a^\dagger - a) \vec{e}_3 \cdot \vec{Q} \quad (2.11)$$

ce qui donne, compte tenu de (1.18)

$$\exp(-i\vec{Q} \cdot \vec{\xi}_\alpha) = \exp \left[ \frac{\lambda}{2\alpha} (a^\dagger - a) \right] \quad (2.12)$$

avec

$$\lambda = \frac{\vec{Q} \cdot \vec{\xi}_0}{2\alpha} \quad (2.13)$$

- Or, si  $n_2$  et  $n_1$  sont tous deux très grands et proches de  $\langle N \rangle$ , on peut montrer que (voir référence 7)

$$\langle n_2 | \exp \left[ \frac{\lambda}{2\alpha} (a^\dagger - a) \right] | n_1 \rangle \simeq J_{n_2-n_1} \left( \frac{2\lambda \sqrt{\langle N \rangle}}{2\alpha} \right) = J_{n_2-n_1}(\lambda) = J_{n_2-n_1}(\vec{E}_0 \cdot \vec{P}) \quad (2.14)$$

En reportant (2.14) dans (2.5), on retrouve bien (1.31) puisque  $n = n_1 - n_2$  représente le nombre de photons absorbés

Remarque. Avec l'approximation (2.14), qui redonne le résultat de la théorie semi-classique, le spectre de transitions multiphotoniques est symétrique : Comme  $J_n^2 = J_{-n}^2$ , la probabilité d'absorber  $n$  photons est égale à la probabilité d'en émettre  $n$ . Avec la forme exacte de la probabilité  $|\langle n_2 | \exp(-i\vec{Q} \cdot \vec{E}_0) | n_1 \rangle|^2$ , un tel résultat n'est plus vrai. Le calcul du § 4e du cours précédent (voir page VI-5) s'applique ici. Il montre que l'énergie moyenne perdue par la particule est égale à l'énergie rayonnée par la particule classique dans le mode  $\vec{k} \vec{E}$  lorsqu'elle est diffusée de  $\vec{p}_1$  à  $\vec{p}_2$ .

## Limite des très basses fréquences - Formule de Kroll et Watson

### Hamiltonien

En ne retenant que la contribution du mode  $\vec{k} \vec{E}$ , l'hamiltonien quantique de Pauli-Fierz s'écrit

$$H' = \frac{\vec{P}_\alpha^2}{2m_\alpha} + H_R + V_e(\vec{r}_\alpha + \vec{\xi}_\alpha) \quad (2.15)$$

(La contribution du mode  $\vec{k} \vec{E}$  au terme  $q_\alpha^2 \vec{A}_\perp^2(\vec{0})/2m_\alpha$  peut être regrapé avec  $t w a^\dagger a$  pour donner un terme de la forme  $t(w+\delta)a^\dagger a$ , où  $\delta$  est une correction de fréquence du mode. Nous supposerons désormais  $\delta$  réincclus dans  $w_0$ ).

### Développement de Born

- Matrice ( $\mathcal{S}$ )  $\mathcal{S}_{21} = \langle \vec{p}_2; n_2 | \mathcal{S} | \vec{p}_1; n_1 \rangle \quad (2.16)$

- Matrice de transition ( $\mathcal{C}$ )

$$\mathcal{S}_{21} = \delta_{21} - 2\pi i \delta^{(T)}(E_2 + n_2 t w - E_1 - n_1 t w) \mathcal{C}_{21} \quad (2.17)$$

$$\mathcal{C}_{21} = \langle \vec{p}_2; n_2 | V_e(\vec{r}_\alpha + \vec{\xi}_\alpha) | \vec{p}_1; n_1 \rangle +$$

$$+ \sum_{\vec{p}} \sum_n \langle \vec{p}_2; n_2 | V_e(\vec{r}_\alpha + \vec{\xi}_\alpha) | \vec{p}, n \rangle \frac{1}{E_{\vec{p}_1, n_1} - E_{\vec{p}, n} + i\epsilon} \langle \vec{p}, n | V_e(\vec{r}_\alpha + \vec{\xi}_\alpha) | \vec{p}_1, n_1 \rangle + \dots \quad (2.18)$$

Terme d'ordre  $k$  :  $k$  éléments de matrice de  $V_e(\vec{r}_\alpha + \vec{\xi}_\alpha)$  séparés par  $(k-1)$  dénominateurs d'énergie

$$[E_{\vec{p}_1, n_1} - E_{\vec{p}, n} + i\epsilon]^{-1} = [E_{\vec{p}_1} - E_{\vec{p}} + (n_1 - n)t w + i\epsilon]^{-1} \quad (2.19)$$

- Soit  $\Delta w$  l'intervalle sur lequel les variations de  $\mathcal{C}_{21}$ , avec  $w$  sont appréciables. Nous allons faire un développement de  $\mathcal{C}_{21}$  en puissances de  $w/\Delta w$  ( $\Delta w$  est supposé grand : Pas de diffusion résonante)

## Terme d'ordre 0 en $\omega/\Delta\omega$ de $\mathcal{C}_{21}$

VII-7

- Récisons le terme d'ordre 2 en  $V_e$  de  $\mathcal{C}_{21}$  (2<sup>ème</sup> ligne de (2.18)) en utilisant

$$V_e(\vec{r}_a + \vec{\xi}_a) = \frac{1}{(2\pi)^3} \int d^3k e^{-i\vec{k} \cdot \vec{r}_a} e^{-i\vec{k} \cdot \vec{\xi}_a} V_e(\vec{k}) \quad (2.20)$$

Il vient

$$\begin{aligned} \mathcal{C}_{21}^{(2)} &= \sum_{\vec{p}} \sum_n \int d^3k \int d^3k' \frac{V_e(\vec{k})}{(2\pi)^3} \frac{V_e(\vec{k}')}{(2\pi)^3} \frac{1}{E_{\vec{p}_1} - E_{\vec{p}} + (n_1 - n)\hbar\omega + i\epsilon} \times \\ &\times \langle \vec{p}_2 | e^{-i\vec{k}' \cdot \vec{r}_a} | p \rangle \langle \vec{p} | e^{-i\vec{k} \cdot \vec{r}_a} | \vec{p}_1 \rangle \langle n_2 | e^{-i\vec{k}' \cdot \vec{\xi}_a} | n \rangle \langle n | e^{-i\vec{k} \cdot \vec{\xi}_a} | n_1 \rangle \end{aligned} \quad (2.21)$$

- Dans (2.21),  $n_1, n_2$  et  $n$  sont très grands, mais  $|n_1 - n|$  est de l'ordre de quelques unités. A l'ordre 0 en  $\omega/\Delta\omega$ , on peut négliger  $(n_1 - n)\hbar\omega$  dans le dénominateur d'énergie de (2.21). Il est possible alors d'utiliser la relation de fermeture  $\sum_n |n\rangle \langle n| = 1$  qui fait apparaître  $\langle n_2 | \exp[-i(\vec{k} + \vec{k}') \cdot \vec{\xi}_a] | n_1 \rangle$ .

Par ailleurs, le produit des 2 éléments de matrice de  $e^{-i\vec{k} \cdot \vec{r}_a}$  et  $e^{-i\vec{k}' \cdot \vec{r}_a}$  n'est différent de zéro que si  $\vec{p} = \vec{p}_1 - \hbar\vec{k}$  et  $\vec{p}' = \vec{p} - \hbar\vec{k}'$ , ce qui entraîne  $\vec{p}_1 - \vec{p}_2 = \hbar\vec{Q} = \hbar(\vec{k} + \vec{k}')$ . On peut donc remplacer  $\langle n_2 | \exp[-i(\vec{k} + \vec{k}') \cdot \vec{\xi}_a] | n_1 \rangle$  par  $\langle n_2 | \exp(-i\vec{Q} \cdot \vec{\xi}_a) | n_1 \rangle$  et le sortir des sommes sur  $\vec{k}$  et  $\vec{k}'$ , de sorte que, à l'ordre 0 en  $\omega/\Delta\omega$ , (2.21) devient

$$\begin{aligned} \mathcal{C}_{21}^{(2)} &= \langle n_2 | e^{-i\vec{Q} \cdot \vec{\xi}_a} | n_1 \rangle \times \\ &\times \sum_{\vec{p}} \langle \vec{p}_2 | \underbrace{\int d^3k' \frac{V_e(\vec{k}')}{(2\pi)^3} e^{-i\vec{k}' \cdot \vec{r}_a}}_{V_e(\vec{r}_a)} | \vec{p} \rangle \frac{1}{E_{\vec{p}_1} - E_{\vec{p}} + i\epsilon} \langle \vec{p} | \underbrace{\int d^3k \frac{V_e(\vec{k})}{(2\pi)^3} e^{-i\vec{k} \cdot \vec{r}_a}}_{V_e(\vec{r}_a)} | \vec{p}_1 \rangle \end{aligned} \quad (2.22)$$

On reconnaît dans la 2<sup>ème</sup> ligne de (2.22) le terme d'ordre 2 en  $V_e$  dans le développement de la matrice de transmission décritant la diffusion de la particule en l'absence de rayonnement incident.

- La démonstration se généralise à tous les ordres en  $V_e$ , le fait de négliger les termes en  $\hbar\omega$  au dénominateurs permettant de factoriser les éléments de matrice de  $e^{-i\vec{k} \cdot \vec{\xi}_a}$ ,  $e^{-i\vec{k}' \cdot \vec{\xi}_a}$ ,  $e^{-i\vec{k}'' \cdot \vec{\xi}_a}$  ... en  $\langle n_2 | \exp[-i(\vec{k} + \vec{k}' + \vec{k}'' + \dots) \cdot \vec{\xi}_a] | n_1 \rangle = \langle n_2 | \exp(-i\vec{Q} \cdot \vec{\xi}_a) | n_1 \rangle$ . On obtient ainsi, à l'ordre 0 en  $\omega/\Delta\omega$ , mais à tous les ordres en  $V_e$  et  $q_a$

$$\begin{aligned} \langle \vec{p}_2, n_2 | \mathcal{C} | \vec{p}_1, n_1 \rangle &= \langle n_2 | e^{-i\vec{Q} \cdot \vec{\xi}_a} | n_1 \rangle \langle \vec{p}_2 | \mathcal{C} | \vec{p}_1 \rangle \\ &\simeq J_{n_2-n_1}(\vec{Q} \cdot \vec{\xi}_a) \langle \vec{p}_2 | \mathcal{C} | \vec{p}_1 \rangle \end{aligned} \quad (2.23)$$

où  $\langle \vec{p}_2 | \mathcal{C} | \vec{p}_1 \rangle$  est la matrice de transition en l'absence de laser.

Comme  $E_{\vec{p}_2} \neq E_{\vec{p}_1}$  si  $n_1 \neq n_2$ ,  $\langle \vec{p}_2 | \mathcal{C} | \vec{p}_1 \rangle$  n'est pas sur la couche d'énergie si  $\langle \vec{p}_2, n_2 | \mathcal{C} | \vec{p}_1, n_1 \rangle$  est sur la couche d'énergie et si  $n_1 \neq n_2$ .

## Terme d'ordre 1 en $\omega/\Delta\omega$ de $\mathcal{C}_{21}$

- On peut développer les dénominateurs d'énergie (2.19) en puissance de  $(n_1 - n)\hbar\omega / (E_{\vec{p}_1} - E_{\vec{p}} + i\epsilon)$ , ce qui fait apparaître  $(n_1 - n)\hbar\omega$  au numérateurs. On peut ensuite remplacer les éléments de matrice

de  $e^{-i\vec{P}_0 \cdot \vec{\xi}_0}$  ... par des fonctions de Bessel et utiliser la relation

$$\sum_s s J_{l-s}(x) J_s(y) = \frac{ly}{x+y} J_l(x+y) \quad (2.24)$$

- Il apparaît alors que le terme correctif en  $\omega/\Delta\omega$ , devant être remplacé au second membre de (2.23)  $\vec{P}_1$  et  $\vec{P}_2$  par  $\vec{P}_1 + t\vec{\gamma}$  ou  $\vec{P}_2 + t\vec{\gamma}$  ou  $\vec{\gamma}$ , qui est d'ordre 1 en  $\omega/\Delta\omega$  et qui est parallèle à  $\vec{\xi}_0$ , est tel que  $E_{\vec{P}_1+t\vec{\gamma}} = E_{\vec{P}_2+t\vec{\gamma}}$  si  $E_{\vec{P}_1} + n_1 t\omega = E_{\vec{P}_2} + n_2 t\omega$

On obtient ainsi à l'ordre 1 inclus en  $\omega/\Delta\omega$  et à tous les ordres en  $q_x$  et  $V_0$

$$\langle \vec{P}_2, n_2 | \infty | \vec{P}_1, n_1 \rangle \approx J_{n_2 - n_1}(\vec{Q} \cdot \vec{\xi}_0) \langle \vec{P}_2 + t\vec{\gamma} | \infty | \vec{P}_1 + t\vec{\gamma} \rangle \quad (2.25)$$

C'est la formule de Kroll et Watson (référence 4) qui relie la matrice de transition inélégante à  $n_1 - n_2$  photons, à la matrice de transition élastique en l'absence de laser, les 2 matrices de transition étant évaluées sur la couche d'énergie

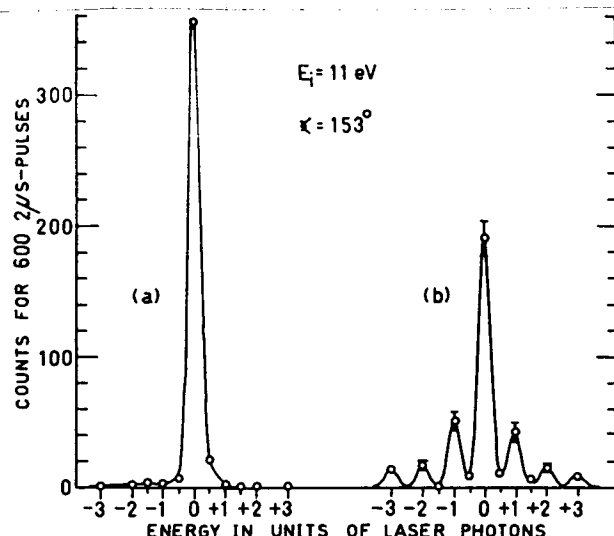
Pour le calcul d'ordre 2 en  $\omega/\Delta\omega$  voir la référence 5.

### Exemples de résultats expérimentaux

Figure et légende extraites  
de la référence 6 .

FIG. 1. Energy-loss spectrum of  $e^-$ -Ar scattering.

(a) Without laser field. The circles show the measured experimental points and the estimated outline of the process is drawn with a solid line, which was obtained by tracing out the elastic peak with a ratemeter and scaled to fit the maximum counts. (b) With laser field. The circles with error bars show the measured points and the estimated outline of the multiphoton (emission and absorption) processes are drawn in with solid lines obtained by scaling down the elastic peak as in (a).



### Références

- 1 - W.D. Henneberger, Phys. Rev. Lett. 21, 838 (1968)
- 2 - Y. Gontier and N.K. Rahman, Lettere al Nuov. Cim. 9, 537 (1974)
- 3 - C. Cohen-Tannoudji, J. Dupont-Roc et G. Grynberg, "Photons et Atomes, Introduction à l'Electrodynamique Quantique", Interditions et Editions du CNRS (1987), Exercice 4 du Complément  $E_V$ , p. 346
- 4 - N.M. Kroll and K.M. Watson, Phys. Rev. A8, 804 (1973)
- 5 - M.H. Mittleman, Phys. Rev. A19, 134 (1979)
- 6 - A. Weingartshofer, J.K. Holmes, G. Caudle, E.M. Clarke and H. Kruger, Phys. Rev. Lett. 39, 269 (1977)
- 7 - N. Polonsky et C. Cohen-Tannoudji, J. de Physique 26, 409 (1965)

Calcul non relativiste  
du déplacement de Lamb

① Points de vue utilisés - Hamiltoniens

② Point de vue de Coulomb

- Calcul à l'ordre 2 inclus en  $q_\alpha$
- Interprétation des divers termes

③ Point de vue de Pauli-Fierz

- Calcul à l'ordre 2 inclus en  $q_\alpha$
- Discusions physique. Justifications de l'image de Welton - Effet des modes basse fréquence

④ Point de vue de Göppert-Mayer

- Calcul à l'ordre 2 inclus en  $q_\alpha$
- Interprétation des divers termes. Importance de l'énergie propre dipolaire

Hamiltonien de Coulomb (à l'approximation non relativiste et des grandes longueurs d'onde)

$$H_{\text{Coul}} = \frac{1}{2m_\alpha} [\vec{p}_\alpha - q_\alpha \vec{A}_\perp(\vec{0})]^2 + \epsilon_{\text{Coul}}^\alpha + V_e(\vec{r}_\alpha) + H_R$$

$$= H_P + H_R + H_{I1} + H_{I2} \quad (1.1)$$

$$H_P = \frac{\vec{p}_\alpha^2}{2m_\alpha} + V_e(\vec{r}_\alpha) + \epsilon_{\text{Coul}}^\alpha \quad \epsilon_{\text{Coul}}^\alpha = \frac{q_\alpha^2 k_m}{4\pi^2 \epsilon_0} \quad (1.2)$$

$$H_{I1} = -\frac{q_\alpha}{m_\alpha} \vec{p}_\alpha \cdot \vec{A}_\perp(\vec{0}) \quad H_{I2} = \frac{q_\alpha^2}{2m_\alpha} \vec{A}_\perp^2(\vec{0}) \quad (1.3)$$

Transformation de Göppert-Mayer

$$T_{GM} = \exp \left[ -\frac{i}{\hbar} q_\alpha \vec{r}_\alpha \cdot \vec{A}_\perp(\vec{0}) \right] \quad (1.4)$$

$$T_{GM} = \exp \left\{ \sum_j (\lambda_j^* a_j - \lambda_j a_j^+) \right\} \quad (1.5a)$$

$$\lambda_j = \frac{i}{\sqrt{2\epsilon_0 \hbar \omega_j L^3}} q_\alpha \vec{e}_j \cdot \vec{r}_\alpha \quad (1.5b)$$

$$T_{GM} \vec{r}_\alpha T_{GM}^+ = \vec{r}_\alpha \quad T_{GM} \vec{p}_\alpha T_{GM}^+ = \vec{p}_\alpha + q_\alpha \vec{A}_\perp(\vec{0}) \quad (1.6)$$

$$T_{GM} a_j T_{GM}^+ = a_j + \lambda_j \quad T_{GM} a_j^+ T_{GM}^+ = a_j^+ + \lambda_j^* \quad (1.7)$$

$T_{GM}$  est un opérateur de translation pour l'impulsion  $\vec{p}_\alpha$  et pour les opérateurs  $a_j$  et  $a_j^+$ , mais non pour  $\vec{r}_\alpha$ . C'est aussi l'opérateur unitaire associé à un changement de jauge

## Hamiltonien de Goppert-Mayer

VIII-2

$$H_{GM} = T_{GM} H_{Coul} T_{GM}^+ = \frac{1}{2m_\alpha} \vec{P}_\alpha^2 + \epsilon_{Coul}^\alpha + V_e(\vec{r}_\alpha) + \sum_j \hbar \omega_j [(a_j^+ + a_j^*) (a_j + a_j^*) + \frac{1}{2}] \quad (1.8)$$

$$H_{GM} = H_p + H_R + H'_{I1} + \epsilon_{dip}^\alpha \quad (1.9)$$

$$H'_{I1} = \sum_j \hbar \omega_j (\lambda_j a_j^+ + \lambda_j^* a_j) = - q_\alpha \vec{r}_\alpha \cdot \vec{E}_L(\vec{0}) \quad (1.10)$$

$$\epsilon_{dip}^\alpha = \sum_j \hbar \omega_j \lambda_j^* \lambda_j = \sum_{\vec{R} \vec{E}} \frac{q_\alpha^2}{2\epsilon_0 L^3} (\vec{E} \cdot \vec{r}_\alpha)^2 \quad (1.11)$$

Disparition du terme quadratique en  $q_\alpha^2 \vec{A}_L^2(\vec{0}) / 2m_\alpha$

Apparition de l'énergie propre dipolaire

## Transformations de Pauli-Fierz

$$T_{PF} = \exp \left[ \frac{i}{\hbar} \frac{q_\alpha}{m_\alpha^*} \vec{P}_\alpha \cdot \vec{Z}(\vec{0}) \right] \quad (1.12)$$

$$T_{PF} = \exp \left[ \sum_j \beta_j^* a_j - \beta_j a_j^+ \right] \quad (1.13.a)$$

$$\beta_j = \frac{q_\alpha}{m_\alpha^* \sqrt{2\epsilon_0 \hbar \omega_j^3 L^3}} \vec{E} \cdot \vec{P}_\alpha \quad (1.13.b)$$

$$T_{PF} \vec{r}_\alpha T_{PF}^+ = \vec{r}_\alpha + \vec{\xi}_\alpha = \vec{r}_\alpha + \frac{q_\alpha}{m_\alpha^*} \vec{Z}(\vec{0}) \quad T_{PF} \vec{P}_\alpha T_{PF}^+ = \vec{P}_\alpha \quad (1.14)$$

$$T_{PF} a_j T_{PF}^+ = a_j + \beta_j \quad T_{PF} a_j^+ T_{PF}^+ = a_j^+ + \beta_j^* \quad (1.15)$$

$$\text{Dans (1.12)} \quad m_\alpha^* = m_\alpha + \delta m \quad \delta m = \frac{q_\alpha^2 k_M}{3\pi^2 \epsilon_0 C^2} = \frac{4}{3} \frac{\epsilon_{Coul}^\alpha}{C^2} \quad (1.16)$$

$T_{PF}$  est un opérateur de translation pour la position  $\vec{r}_\alpha$  et pour les opérateurs  $a_j$  et  $a_j^+$ , mais non pour  $\vec{P}_\alpha$

La transformation  $T_{PF}$  n'est pas une transformation de jauge

## Hamiltonien de Pauli-Fierz

$$H_{PF} = T_{PF} H_{Coul} T_{PF}^+ = \frac{\vec{P}_\alpha^2}{2m_\alpha^*} + V_e(\vec{r}_\alpha + \frac{q_\alpha}{m_\alpha^*} \vec{Z}(\vec{0})) + \epsilon_{Coul}^\alpha + H_R + \frac{q_\alpha^2}{2m_\alpha} \vec{A}_L^2(\vec{0}) \quad (1.17)$$

Apparition de la masse corrigée dans l'énergie cinétique

Disparition des termes d'interaction  $H_{I1}$  : toute l'interaction est dans  $V_e(\vec{r}_\alpha + \vec{\xi}_\alpha)$

## Buts de ce cours

Calculer le déplacement de Lamb dans les 3 points de vue : les 3 résultats sont bien sur identiques mais les éclairages physiques sont différents

On se limitera au déplacement de Lamb de l'état fondamental  $|a\rangle$  de  $H_p$

$$H_p |a\rangle = E_a |a\rangle \quad (1.18)$$

Expression de  $(\delta E_a)_{\text{Coul}}$  (déplacement radial de  $|a\rangle$  dans le point de vue de Coulomb)

VIII-3

- A l'ordre 2 inclus en  $q_\alpha$ , il faut ajouter l'effet de  $H_{I2}$  à l'ordre 1 et celui de  $H_{I1}$  à l'ordre 2.

$$(\delta E_a)_{\text{Coul}} = \langle a; 0 | H_{I2} | a; 0 \rangle + \sum_b \sum_{k \in E} \frac{| \langle b; \vec{k} \vec{\epsilon} | H_{I1} | a; 0 \rangle |^2}{E_a - E_b - \hbar \omega} \quad (2.1)$$

$$\langle a; 0 | H_{I2} | a; 0 \rangle = \frac{q_\alpha^2}{2m_\alpha^2} \langle 0 | \vec{A}_\perp^2(\vec{0}) | 0 \rangle = \sum_{\vec{k} \in E} \frac{q_\alpha^2}{2m_\alpha} \frac{\hbar}{2\varepsilon_0 \omega L^3} = \sum_{\vec{k} \in E} \frac{q_\alpha^2 \varepsilon_\omega^2}{2m_\alpha \omega^2} \quad (2.2.a)$$

$$\langle a; 0 | H_{I2} | a; 0 \rangle = \delta m_{2\alpha} c^2 \quad \frac{\delta m_{2\alpha}}{m_\alpha} = \frac{\alpha}{2\pi} \left( \frac{\hbar \omega_M}{m_\alpha c^2} \right)^2 \quad (2.2.b)$$

(voir page (II-6))

$$H_{I1} = - \frac{q_\alpha}{m_\alpha} \vec{P}_\alpha \cdot \vec{A}_\perp(\vec{0}) = - \frac{q_\alpha}{m_\alpha} \sum_{\vec{k} \in E} \sqrt{\frac{\hbar}{2\varepsilon_0 \omega L^3}} (\vec{\epsilon} \cdot \vec{P}_\alpha) (a_{k\in E} + a_{k\in E}^\dagger) \quad (2.3)$$

$$\langle b; \vec{k} \vec{\epsilon} | H_{I1} | a; 0 \rangle = - \frac{q_\alpha}{m_\alpha} \vec{\epsilon} \cdot \vec{P}_{ba} \sqrt{\frac{\hbar}{2\varepsilon_0 \omega L^3}} \quad (2.4.a)$$

$$\vec{P}_{ba} = \langle b | \vec{p} | a \rangle \quad (2.4.b)$$

- Dernier terme de (2.1)

$$- \frac{L^3}{(2\pi)^3} \sum_b \int_0^{k_M} k^2 dk \int d\Omega \sum_{\vec{\epsilon} \perp \vec{k}} \frac{q_\alpha^2 \hbar}{m_\alpha^2 2\varepsilon_0 \omega L^3} \frac{\sum_{i,j=x,y,z} \epsilon_i \epsilon_j (p_i)_{ab} (p_j)_{ba}}{\omega + \omega_{ba}} \quad (2.5)$$

$$\int d\Omega \sum_{\vec{\epsilon} \perp \vec{k}} \epsilon_i \epsilon_j = \int d\Omega \left( \delta_{ij} - \frac{k_i k_j}{k^2} \right) = \frac{8\pi}{3} \quad (2.6)$$

$$\hookrightarrow (2.5) = - \frac{q_\alpha^2}{6\pi^2 \varepsilon_0 m_\alpha^2 c^2} \sum_b \sum_i \langle a | p_i | b \rangle \langle b | p_i | a \rangle \int_0^{k_M} \frac{k dk}{k + k_{ba}} \quad (2.7)$$

$$\int_0^{k_M} \frac{k dk}{k + k_{ba}} = k_M - k_{ba} \int_0^{k_M} \frac{dk}{k + k_{ba}} = k_M - k_{ba} \log \frac{k_M + k_{ba}}{k_{ba}} \simeq k_M - k_{ba} \log \frac{k_M}{k_{ba}} \quad (2.8)$$

- Terme en  $k_M$  de (2.5)

$$- \frac{q_\alpha^2}{6\pi^2 \varepsilon_0 m_\alpha^2 c^2} k_M \langle a | \vec{p}_i^2 | a \rangle = - \frac{\delta m_{1\alpha}}{m_\alpha} \langle a | \frac{\vec{p}^2}{2m_\alpha} | a \rangle \quad (2.9)$$

- Terme en  $\log k_M$  de (2.5)

$$\frac{q_\alpha^2}{6\pi^2 \varepsilon_0 m_\alpha^2 c^2} \sum_b \sum_i \langle a | p_i | b \rangle \langle b | p_i | a \rangle \left( \log \frac{k_M}{k_{ba}} \right) \frac{E_b - E_a}{\hbar c} \quad (2.10)$$

- Introduction du logarithme de Bethe  $\log K_0$  défini par

$$\begin{aligned} & \sum_b \sum_i \langle a | p_i | b \rangle \langle b | p_i | a \rangle (\log k_{ba})(E_b - E_a) \\ &= \sum_b \sum_i \langle a | p_i | b \rangle \langle b | p_i | a \rangle (\log K_0)(E_b - E_a) \end{aligned} \quad (2.11)$$

$$\hookrightarrow (2.5) = \frac{q_\alpha^2}{6\pi^2 \varepsilon_0 m_\alpha^2 c^2 \hbar} \log \frac{k_M}{K_0} \sum_b \sum_i \langle a | p_i | b \rangle \langle b | p_i | a \rangle (E_b - E_a) \quad (2.12)$$

$$\begin{aligned} & \sum_b \sum_i \langle a | p_i | b \rangle \langle b | p_i | a \rangle (E_b - E_a) = \sum_i \langle a | p_i [H_p, p_i] | a \rangle = - \sum_i \langle a | [H_p, p_i] p_i | a \rangle \\ &= \frac{1}{2} \langle a | \sum_i [p_i, [H_p, p_i]] | a \rangle = \frac{\hbar^2}{2} \langle a | \Delta V_e(\vec{r}_\alpha) | a \rangle \end{aligned} \quad (2.13)$$

Terme en  $\log k_M$  (avec  $\alpha = q_e^2/4\pi\epsilon_0\hbar c$ ,  $\lambda_c = \hbar/m_ec$ )

VIII-4

$$\frac{q_e^2 \hbar}{12 \pi^2 \epsilon_0 m_e^2 c^3} \log \frac{k_M}{k_0} \langle a | \Delta V_e | a \rangle = \frac{\alpha}{3\pi} \lambda_c^2 \log \frac{k_M}{k_0} \langle a | \Delta V_e | a \rangle \quad (2.14)$$

Récapitulation (2.2.b) + (2.9) + (2.14)

$$(\delta E_a)_{\text{Coul}} = \delta m_{2e} c^2 + -\frac{\delta m_{1e}}{m_e} \langle a | \frac{\vec{P}^2}{2m_e} | a \rangle + \frac{\alpha}{3\pi} \lambda_c^2 \log \frac{k_M}{k_0} \langle a | \Delta V_e | a \rangle \quad (2.15)$$

### Discussion physique

- Terme  $\delta m_{2e} c^2$  : Energie cinétique de vibration de l'électron dans les fluctuations du vide (voir cours II, page II-6)
- Terme  $-\frac{\delta m_{1e}}{m_e} \langle a | \frac{\vec{P}^2}{2m_e} | a \rangle$   
Modification de l'énergie cinétique due à la correction de masse  $\delta m_{1e}$ .  
Si on mettait  $m_e^* = m_e + \delta m_{1e}$  dans  $H_p$ , on n'obtiendrait pas un tel terme.
- Terme en  $\log \frac{k_M}{k_0}$  : Déplacement de Lamb de  $|a\rangle$   
Formule établie la première fois par Bethe  
Moyennage de  $V_e$  sur un mouvement de vibrations d'amplitude de l'ordre de  $\lambda_c \sqrt{\alpha} \sqrt{\log(k_M/k_0)}$  où  $\lambda_c$  est la longueur d'onde de Compton et  $\alpha$  la constante de structure fine.

### Point de vue de Pauli-Fierz

$$V_e(\vec{r}_e + \vec{\xi}_e) = V_e(\vec{r}_e) + \vec{\xi}_e \cdot \vec{\nabla} V_e(\vec{r}_e) + \frac{1}{2} \sum_i \sum_j \xi_{ei} \xi_{ej} \nabla_i \nabla_j V_e(\vec{r}_e) + \dots$$

$$= V_e(\vec{r}_e) + H_{I1}^{\text{PF}} + H_{I2}^{\text{PF}} + \dots \quad (2.1)$$

$$H_{I1}^{\text{PF}} = \vec{\xi}_e \cdot \vec{\nabla} V_e(\vec{r}_e) = \frac{q_e}{m_e^*} \vec{Z}(0) \cdot \vec{\nabla} V_e = \frac{q_e}{m_e^*} \sum_i Z_i(0) (\nabla_i V_e) \quad (2.2)$$

$$H_{I2}^{\text{PF}} = \frac{q_e^2}{2m_e^{*2}} \sum_i \sum_j Z_i(0) Z_j(0) \nabla_i \nabla_j V_e \quad (2.3)$$

$V_e(\vec{r}_e)$  se regroupe avec  $\frac{\vec{P}^2}{2m_e^*}$  pour donner  $H_p$  (avec  $m_e^*$  au lieu de  $m_e$ )

Pour calculer  $(\delta E_a)_{\text{PF}}$ , il faut calculer l'effet de  $H_{I2}^{\text{PF}}$  à l'ordre 1 et celui de  $H_{I1}^{\text{PF}}$  à l'ordre 2 (ainsi que celui du dernier terme de 1.17 à l'ordre 1)

$$\text{Effet de } H_{I2}^{\text{PF}} \text{ à l'ordre 1} \quad \delta E'_a = \langle a; 0 | H_{I2}^{\text{PF}} | a; 0 \rangle \quad (2.4)$$

$$\delta E'_a = \frac{1}{2} \frac{q_e^2}{m_e^2} \sum_{i,j=x,y,z} \langle 0 | Z_i(0) Z_j(0) | 0 \rangle \langle a | \nabla_i \nabla_j V_e(\vec{r}_e) | a \rangle \quad (2.5)$$

$$\langle 0 | Z_i(0) Z_j(0) | 0 \rangle = \delta_{ij} \frac{1}{3} \langle 0 | \vec{Z}^2(0) | 0 \rangle \quad (2.6)$$

$$\langle 0 | \vec{Z}^2(\vec{0}) | 0 \rangle = \sum_{\vec{k}\vec{\epsilon}} \frac{\hbar}{2\epsilon_0 \omega^3 L^3} \vec{\epsilon}^2 = \frac{L^3}{(2\pi)^3} \int_{k_m}^{k_M} k^2 dk d\Omega \frac{\hbar}{\epsilon_0 c^3 k^3 L^3} \quad (2.7)$$

L'intégrale sur  $k$  doit être faite entre des bornes  $k_m$  et  $k_M$  pour éviter la divergence logarithmique à la borne inférieure

$$\hookrightarrow \langle 0 | \vec{Z}^2 | 0 \rangle = \frac{\hbar}{2\epsilon_0 \pi^2 c^3} \log \frac{k_M}{k_m} \quad (2.8)$$

$$\begin{aligned} \hookrightarrow \delta E'_a &= \frac{1}{6} \frac{q_\alpha^2}{m_\alpha^2} \langle 0 | \vec{Z}^2 | 0 \rangle \langle a | \Delta V_e(\vec{r}_a) | a \rangle = \\ &= \frac{\hbar q_\alpha^2}{12 \epsilon_0 \pi^2 m_\alpha^2 c^3} \log \frac{k_M}{k_m} \langle a | \Delta V_e(\vec{r}_a) | a \rangle = \frac{\alpha}{3\pi} \chi_c^2 \log \frac{k_M}{k_m} \langle a | \Delta V_e(\vec{r}_a) | a \rangle \end{aligned} \quad (2.9)$$

Effet de  $H_{I1}^{PF}$  à l'ordre 2

$$\frac{\hbar \omega_{ba}}{(\hbar \omega_{ba} = E_b - E_a)} \quad \delta E''_a = \sum_{\vec{k}\vec{\epsilon}} \sum_b \frac{|\langle b; \vec{k}\vec{\epsilon} | H_{I1}^{PF} | a; 0 \rangle|^2}{-\hbar(\omega_{ba} + \omega)} \quad (2.10)$$

$$\begin{aligned} \langle b; \vec{k}\vec{\epsilon} | H_{I1}^{PF} | a; 0 \rangle &= \frac{q_\alpha}{m_\alpha} \langle b | \vec{\nabla} V_e(\vec{r}_a) | a \rangle \cdot \langle \vec{k}\vec{\epsilon} | \vec{Z}(\vec{0}) | 0 \rangle \\ &= i \frac{q_\alpha}{m_\alpha} \sqrt{\frac{\hbar}{2\epsilon_0 \omega^3 L^3}} \langle b | \vec{\epsilon} \cdot \vec{\nabla} V_e(\vec{r}_a) | a \rangle \end{aligned} \quad (2.11)$$

$$|\langle b; \vec{k}\vec{\epsilon} | H_{I1}^{PF} | a; 0 \rangle|^2 = \frac{q_\alpha^2}{m_\alpha^2} \frac{\hbar}{2\epsilon_0 \omega^3 L^3} \sum_{i,j=x,y,z} \langle b | \epsilon_i (\nabla_i V_e) | a \rangle \langle a | \epsilon_j (\nabla_j V_e) | b \rangle \quad (2.12)$$

$$\begin{aligned} \delta E''_a &= - \frac{L^3}{(2\pi)^3} \sum_b \int_{k_m}^{k_M} k^2 dk \int d\Omega \sum_{\vec{\epsilon}} \sum_{i,j} \frac{q_\alpha^2}{m_\alpha^2} \frac{\hbar}{2\epsilon_0 c^3 k^3 L^3} \times \\ &\quad \times \frac{\epsilon_i \epsilon_j \langle b | (\nabla_i V_e) | a \rangle \langle a | (\nabla_j V_e) | b \rangle}{c(k+k_{ba})} \end{aligned} \quad (2.13)$$

$$\int d\Omega \sum_{\vec{\epsilon}} \epsilon_i \epsilon_j = \int d\Omega \left( \delta_{ij} - \frac{k_i k_j}{k^2} \right) = \frac{8\pi}{3} \delta_{ij}$$

$$\hookrightarrow \delta E''_a = - \frac{q_\alpha^2}{6 \epsilon_0 \pi^2 m_\alpha^2 c^4} \sum_b \sum_i \langle b | (\nabla_i V_e) | a \rangle \langle a | (\nabla_i V_e) | b \rangle \int_{k_m}^{k_M} \frac{dk}{k(k+k_{ba})} \quad (2.14)$$

$$\frac{1}{k(k+k_{ba})} = \frac{1}{k_{ba}} \left( \frac{1}{k} - \frac{1}{k+k_{ba}} \right) \quad (2.15)$$

$$\int_{k_m}^{k_M} \frac{dk}{k(k+k_{ba})} = \frac{1}{k_{ba}} \left[ \log \frac{k_M}{k_m} - \log \frac{k_M + k_{ba}}{k_m + k_{ba}} \right] \simeq \frac{1}{k_{ba}} \log \frac{k_{ba}}{k_m} \quad (2.16)$$

car  $k_{ba} \ll k_m$  et  $k_m \ll k_{ba}$

$$\hookrightarrow \delta E''_a = - \frac{\hbar q_\alpha^2}{6 \epsilon_0 \pi^2 m_\alpha^2 c^3} \sum_b \sum_i \frac{\langle b | (\nabla_i V_e) | a \rangle \langle a | (\nabla_i V_e) | b \rangle}{E_b - E_a} \log \frac{k_{ba}}{k_m} \quad (2.17)$$

Introduction de  $K'_0$ . Dans  $\sum_b \sum_i$ ,  $\log k_{ba}$  varie lentement avec  $b$  devant les autres facteurs. On introduit  $K'_0$  défini par

$$\sum_b \frac{\langle b | (\nabla_i V_e) | a \rangle \langle a | (\nabla_i V_e) | b \rangle}{E_b - E_a} \log k_{ba} = \log K'_0 \sum_b \frac{\langle b | (\nabla_i V_e) | a \rangle \langle a | (\nabla_i V_e) | b \rangle}{E_b - E_a} \quad (2.18)$$

où  $\hbar c K'_0$  est de l'ordre de  $E_I$  (énergie d'ionisation)

## Raccord avec le calcul précédent

VIII-6

$$[p_i, H_P] = -i\hbar \frac{\partial H_P}{\partial r_i} = -i\hbar (\nabla_i V_e) \quad (2.19)$$

$$\langle b | p_i | a \rangle (E_b - E_a) = -i\hbar \langle b | (\nabla_i V_e) | a \rangle \quad (2.20)$$

On en déduit que

$$\sum_{b,i} \frac{\langle b | (\nabla_i V_e) | a \rangle \langle a | (\nabla_i V_e) | b \rangle}{E_b - E_a} \log k_{ba} = -\frac{1}{\hbar^2} \sum_{b,i} \langle b | p_i | a \rangle \langle a | p_i | b \rangle (E_b - E_a) \log k_{ba} \quad (2.21)$$

ce qui montre, par comparaison avec (2.11) que  $K'_0 = K_0$

$$\hookrightarrow (\delta E''_a)_{PF} = -\frac{\hbar q_\alpha^2}{6 \epsilon_0 \pi^2 m_\alpha^2 c^3} \log \frac{K_0}{k_m} \sum_b \frac{\langle b | (\nabla_i V_e) | a \rangle \langle a | (\nabla_i V_e) | b \rangle}{E_b - E_a} \quad (2.22)$$

Par ailleurs, en utilisant de nouveau (2.20), on obtient

$$\begin{aligned} \sum_{b,i} \frac{\langle b | (\nabla_i V_e) | a \rangle \langle a | (\nabla_i V_e) | b \rangle}{E_b - E_a} &= \frac{1}{i\hbar} \sum_{b,i} \langle b | p_i | a \rangle \langle a | \nabla_i V_e | b \rangle \\ &= -\frac{1}{i\hbar} \sum_{b,i} \langle b | \nabla_i V_e | a \rangle \langle a | p_i | b \rangle \\ &= \frac{1}{2i\hbar} \sum_i \langle a | (\nabla_i V_e) p_i - p_i (\nabla_i V_e) | a \rangle \\ &= \frac{1}{2i\hbar} \sum_i \langle a | [(\nabla_i V_e), p_i] | a \rangle = \frac{1}{2} \langle a | \Delta V_e | a \rangle \end{aligned} \quad (2.23)$$

$$\hookrightarrow (\delta E''_a)_{PF} = -\frac{\hbar q_\alpha^2}{12 \epsilon_0 \pi^2 m_\alpha^2 c^3} \log \frac{K_0}{k_m} \langle a | \Delta V_e (\vec{r}_\alpha) | a \rangle \quad (2.24)$$

Récapitulation On ajoute (2.9), (2.24) et la valeur moyenne du dernier terme de 1.17 qui n'est autre que (2.2.b)

$$\begin{aligned} (\delta E_a)_{PF} &= \delta m_{2\alpha} c^2 + \frac{\hbar q_\alpha^2}{12 \epsilon_0 \pi^2 m_\alpha^2 c^3} \log \frac{k_m}{K_0} \langle a | \Delta V_e | a \rangle \\ &= \delta m_{2\alpha} c^2 + \frac{\alpha}{3\pi} \bar{\tau}_c^2 \log \frac{k_m}{K_0} \langle a | \Delta V_e | a \rangle \end{aligned} \quad (2.25)$$

qui ne présente plus de dépendance en  $k_m$  (disparition de la divergence infrarouge)

## Discussion physique : Confirmation de l'image de Welton

- l'expression de  $(\delta E'_a)_{PF}$  coïncide exactement avec le résultat correspondant à cette image et calculé en prenant pour amplitude de vibration dans le mode  $\omega$  la valeur  $\xi_\omega = q_\alpha E_\omega / m_\alpha^* \omega^2$  correspondant à une particule libre.  
Cette valeur de  $\xi_\omega$  est correcte pour  $\hbar\omega \gg E_I$ .  
Par contre, pour  $\hbar\omega \lesssim E_I$ , le fait que l'électron soit lié entraîne que l'amplitude de vibration est moins grande. C'est cet effet de liaison atomique qui fait disparaître la divergence en  $k_m$  et qui est décrit par  $(\delta E''_a)_{PF}$ .
- L'avantage du point de vue de Pauli-Fierz est d'incorporer directement la correction de masse  $\delta m_\alpha$  dans l'hamiltonien atomique.

Calcul de  $(\delta E_a)_{GM}$  dans le point de vue de Göppert-Mayer

VIII-7

$$(\delta E_a)_{GM} = \langle a; 0 | \epsilon_{dip}^\alpha | a; 0 \rangle + \sum_b \sum_{\vec{k} \in \vec{E}} q_\alpha^2 \frac{|\langle b; \vec{k} \cdot \vec{E}_\perp(0) | a; 0 \rangle|^2}{E_a - E_b - \hbar \omega} \quad (4.1)$$

$$\begin{aligned} (\delta E'_a)_{GM} &= \langle a; 0 | \epsilon_{dip}^\alpha | a; 0 \rangle = \frac{q_\alpha^2}{2\epsilon_0 L^3 (2\pi)^3} \int_0^{k_M} k^2 dk \int d\Omega \sum_{\vec{E}} \sum_{i,j} \epsilon_i \epsilon_j \langle a | r_{xi} r_{xj} | a \rangle \\ &= \frac{q_\alpha^2 k_M^2}{18 \epsilon_0 \pi^2} \sum_b (\vec{r}_a)_{ab} \cdot (\vec{r}_a)_{ba} \end{aligned} \quad (4.2)$$

Calcul du 2ème terme  $(\delta E''_a)_{GM}$  de (4.1)

$$\vec{E}_\perp(0) = i \sum_{\vec{k} \in \vec{E}} \sqrt{\frac{\hbar \omega}{2\epsilon_0 L^3}} \vec{e}(a_{kE} - a_{kE}^*) \quad (4.3)$$

$$\langle b; \vec{k} \cdot \vec{E}_\perp | \vec{r}_a \cdot \vec{E}_\perp(0) | a; 0 \rangle = -i \sum_j \epsilon_j (r_{xj})_{ba} \sqrt{\frac{\hbar \omega}{2\epsilon_0 L^3}} \quad (4.4)$$

$$\begin{aligned} (\delta E''_a)_{GM} &= -\frac{q_\alpha^2}{2\epsilon_0 L^3} \sum_b \frac{L^3}{(2\pi)^3} \int_0^{k_M} k^2 dk \frac{\hbar c k}{\hbar c(k+k_{ba})} \int d\Omega \sum_{i,j} \sum_{\vec{E}} \epsilon_i \epsilon_j (r_{xi})_{ab} (r_{xj})_{ba} \\ &= -\frac{q_\alpha^2}{6\epsilon_0 \pi^2} \sum_b (\vec{r}_a)_{ab} \cdot (\vec{r}_a)_{ba} \int_0^{k_M} \frac{k^3 dk}{k+k_{ba}} \end{aligned} \quad (4.5)$$

$$\frac{k^3}{k+k_{ba}} = \frac{k^2(k+k_{ba}) - k_{ba}(k+k_{ba})k + k_{ba}^2(k+k_{ba}) - k_{ba}^3}{k+k_{ba}} = k^2 - k_{ba}k + k_{ba}^2 - \frac{k_{ba}^3}{k+k_{ba}} \quad (4.6)$$

$$\text{Terme en } k_M^3 \text{ de } (\delta E''_a)_{GM} - \frac{q_\alpha^2}{6\epsilon_0 \pi^2} \sum_b (\vec{r}_a)_{ab} \cdot (\vec{r}_a)_{ba} \frac{k_M^3}{3} = -(\delta E'_a)_{GM} \quad (4.7)$$

Se compense exactement avec  $(\delta E'_a)_{GM} = \langle a; 0 | \epsilon_{dip}^\alpha | a; 0 \rangle$  (voir (4.2))

$$\text{Terme en } k_M^2 \text{ de } (\delta E''_a)_{GM} = +\frac{q_\alpha^2}{6\epsilon_0 \pi^2} \frac{k_M^2}{2} \sum_b (\vec{r}_a)_{ab} \cdot (\vec{r}_a)_{ba} k_{ba} \quad (4.8)$$

$$\text{Or } [r_{xi}, H_p] = i\hbar \partial H_p / \partial p_{xi} = i\hbar p_{xi} / m_\alpha \quad (4.9)$$

$$\hookrightarrow (\vec{r}_a)_{ab} (E_b - E_a) = i\hbar (\vec{p}_a)_{ab} / m_\alpha \rightarrow k_{ba} (\vec{r}_a)_{ab} = i(\vec{p}_a)_{ab} / m_\alpha c \quad (4.10)$$

$$\sum_b (\vec{r}_a)_{ab} \cdot (\vec{r}_a)_{ba} = \frac{i}{m_\alpha c} (\vec{p}_a \cdot \vec{r}_a)_{aa} = -\frac{i}{m_\alpha c} (\vec{r}_a \cdot \vec{p}_a)_{aa} = -\frac{i}{2m_\alpha c} \sum_j ([r_{xj}, p_{xj}])_{aa} = \frac{3\hbar}{2m_\alpha c} \quad (4.11)$$

$$\hookrightarrow (4.8) = \frac{q_\alpha^2 \hbar k_M^2}{8\epsilon_0 \pi^2 m_\alpha c} = \frac{\alpha}{2\pi} \frac{(\hbar \omega_M)^2}{m_\alpha c^2} = \delta m_{2\alpha} c^2 \quad (4.12)$$

On retrouve le terme  $\langle a; 0 | H_{I2} | a; 0 \rangle$  de  $(\delta E_a)_{Coul}$  donné en (2.2.b)

Termes en  $k_M$  et  $\log k_M$  de  $(\delta E''_a)_{GM}$  (Contribution des 2 derniers termes de (4.6))

$$\begin{aligned} -\frac{q_\alpha^2}{6\epsilon_0 \pi^2} \int_0^{k_M} dk \sum_b \left( k_{ba}^2 - \frac{k_{ba}^3}{k+k_{ba}} \right) (\vec{r}_a)_{ab} \cdot (\vec{r}_a)_{ba} &= \\ = -\frac{q_\alpha^2}{6\epsilon_0 \pi^2 m_\alpha^2 c^2} \sum_b (\vec{p}_a)_{ab} \cdot (\vec{p}_a)_{ba} \int_0^{k_M} dk \left( 1 - \frac{k_{ba}}{k+k_{ba}} \right) & \end{aligned} \quad (4.13)$$

Comme  $1 - \frac{k_{ba}}{k+k_{ba}} = \frac{k}{k+k_{ba}}$ , l'expression (4.13) coïncide avec l'expression (2.7) donnant la contribution de  $H_I$  à l'ordre 2 dans le point de vue de Coulombs.

Finalement,  $(\delta E_a)_{GM} = (\delta E_a)_{Coul}$ . On retrouve bien le même résultat dans les 2 points de vue, à condition bien sûr de ne pas oublier la contribution de l'énergie propre dipolaire.

## Généralisations de la transformation de Pauli-Fierz

### ① Généralisations à une particule sans spin non localisée

- Hamiltonien de Coulomb (sans approximation des grandes longueurs d'onde)
- Comment généraliser la transformation de Pauli-Fierz ?
- Transformation unitaire découplant au 1<sup>e</sup> ordre la particule du champ transverse
- Transformations de quelques états et de quelques observables
- Hamiltoniens dans le nouveau point de vue
- Exemple d'application : diffusions Compton

Hamiltonien de Coulomb pour une particule non localisée (et non relativiste)

$$H = \frac{1}{2m_\alpha} [\vec{P}_\alpha - q_\alpha \vec{A}_L(\vec{r}_\alpha)]^2 + E_{\text{Coul}}^\alpha + V_e(\vec{r}_\alpha) + H_R \quad (1.1)$$

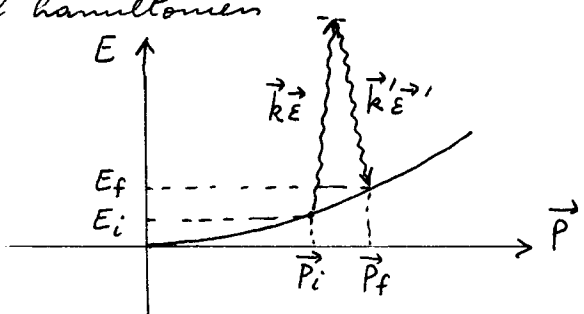
Déférence avec les cours précédents :  $\vec{A}_L(\vec{r}_\alpha)$  au lieu de  $\vec{A}_L(\vec{0})$ .

Exemple de problème physique nécessitant l'utilisation d'un tel hamiltonien

Charge libre non localisée échangeant de l'impulsion avec le rayonnement par des processus de diffusion Compton.

On ne peut pas négliger l'impulsion  $t_k \vec{k}$  des photons.

$$\vec{P}_f = \vec{P}_i + t_k \vec{k} - t_k' \vec{k}'$$



Propriétés intéressantes de la transformation de Pauli-Fierz (utilisé dans les cours précédents)

1 - Translation simple de  $a_\epsilon(\vec{k})$

$$T a_\epsilon(\vec{k}) T^+ = a_\epsilon(\vec{k}) + \beta_\epsilon(\vec{k}, \vec{P}_\alpha) \quad (1.2)$$

$$\beta_\epsilon(\vec{k}, \vec{P}_\alpha) = \frac{q_\alpha}{m_\alpha} \frac{\vec{\epsilon} \cdot \vec{P}_\alpha}{\sqrt{2\epsilon_0 \hbar \omega^3 (2\pi)^3}} \quad (1.3)$$

## 2 - Translation simple de $\vec{r}_\alpha$

$$T \vec{r}_\alpha T^+ = \vec{r}_\alpha + \frac{q_\alpha}{m_\alpha} \vec{Z}(\vec{0}) \quad T \vec{p}_\alpha T^+ = \vec{p}_\alpha \quad (1.4)$$

3 - Disparition de tout terme d'interaction particule-champ transverse linéaire en  $q_\alpha$  dans  $THT^+$

La forme simple et compacte de (1.2) et (1.4) permet d'obtenir pour  $H' = THT^+$  une expression simple et compacte.

Difficultés apparaissant quand on ne fait plus l'approximation des grandes longueurs d'onde.

- La variable normale classique du champ lié dépend, non seulement de  $\vec{p}_\alpha$  mais aussi de  $\vec{r}_\alpha$  (on ne remplace plus  $\exp(i\vec{k}\vec{r}_\alpha)$  par 1 dans l'équation du mouvement de  $\beta_E(\vec{k})$ ).

$$\beta_E(\vec{k}, \vec{p}_\alpha) \rightarrow \beta_E(\vec{k}, \vec{p}_\alpha, \vec{r}_\alpha) \quad (1.5)$$

Il est alors impossible de trouver une transformation unitaire telle que

$$T a_E(\vec{k}) T^+ = a_E(\vec{k}) + \beta_E(\vec{k}, \vec{r}_\alpha, \vec{p}_\alpha) \quad (1.6)$$

En effet,  $T$  doit conserver les relations de commutation entre  $a$  et  $a^+$ . Or, même si les  $a$  et les  $\beta^+$  commutent entre eux, il n'en est pas de même pour les  $\beta$  et  $\beta^+$  à cause de la non-commutation de  $\vec{r}_\alpha$ ,  $\vec{p}_\alpha$ . L'équation (1.6) n'a donc pas de solution avec  $TT^+ = T^+T = \mathbb{1}$

- De même, on ne peut généraliser simplement (1.4) quand on tient compte des corrections introduites par l'effet Doppler et la force de Lorentz magnétique sur le mouvement de vibrations de la particule.

## Solution choisie pour généraliser $T$

- Comme les propriétés 1 et 2 précédentes ne peuvent être conservées, on va se concentrer sur la propriété 3, c'est à dire chercher  $T$  avec  $TT^+ = T^+T = \mathbb{1}$ , de façon à faire disparaître tous les termes d'interaction particule-champ transverse linéaires en  $q_\alpha$ .
- On conserve ainsi l'avantage consistant à faire apparaître dans l'hamiltonien des particules tous les effets associés à l'émission et à la réabsorption d'un photon virtuel.
- Par contre, la formulation mathématique de la théorie sera plus complexe : les expressions simples (1.2) et (1.4) ne seront plus valables. Il faudra ajouter des termes d'ordre croissant en  $q_\alpha$  au second membre de (1.6). Idem pour (1.4). De même, l'hamiltonien  $H' = THT^+$  ne sera plus donné par une expression compacte, mais par une série infinie de termes d'ordre croissant en  $q_\alpha$ .

## Construction de $T$

- Classification des termes de l'hamiltonien de Coulombs (1.1) par ordre croissant en  $q_\alpha$

$$H = H_0 + H_1 + H_2 \quad (1.7)$$

$$H_0 = \frac{\vec{P}_\alpha^2}{2m_\alpha} + H_R \quad (1.8)$$

$$H_1 = -\frac{q_\alpha}{m_\alpha} \vec{P}_\alpha \cdot \vec{A}_\perp(\vec{r}_\alpha) \quad (1.9)$$

$$H_2 = V_e(\vec{r}_\alpha) + \frac{q_\alpha^2}{2m_\alpha} \vec{A}_\perp^2(\vec{r}_\alpha) + \epsilon_{\text{coul}}^\alpha \quad (1.10)$$

( $V_e(\vec{r}_\alpha)$  est considéré comme un terme d'ordre 2 car c'est en général une interaction de Coulomb entre  $q_\alpha$  et une autre charge)

- $T = e^{iF/\hbar}$  avec  $F = F^+$  (1.11)

$$e^{iA} B e^{-iA} = B + i[A, B] + \frac{i^2}{2!} [A, [A, B]] + \dots \quad (1.12)$$

- On verra plus loin que  $F$  peut être choisi d'ordre 1 en  $q_\alpha$ .

On peut donc ordonner  $H' = T H T^+$  en puissances de  $q_\alpha$

$$\begin{aligned} H' = & H_0 + \\ & + H_1 + \frac{i}{\hbar} [F, H_0] + \\ & + H_2 + \frac{i}{\hbar} [F, H_1] + \frac{i^2}{2! \hbar^2} [F, [F, H_0]] + \\ & + \frac{i}{\hbar} [F, H_2] + \frac{i^2}{2! \hbar^2} [F, [F, H_1]] + \frac{i^3}{3! \hbar^3} [F, [F, [F, H_0]]] + \dots \end{aligned} \quad (1.13)$$

- Condition imposée à  $F$   $H_1 + \frac{i}{\hbar} [F, H_0] = 0$  (1.14)

- La forme simple de  $H_1$  et  $H_0$ , respectivement linéaire et quadratique en  $a$  et  $a^+$  suggère de rechercher  $F$  sous forme d'une superposition linéaire de  $a$  et  $a^+$

$$\frac{iF}{\hbar} = \int d^3k \sum_E \left\{ \beta_E^+(\vec{k}, \vec{r}_\alpha, \vec{P}_\alpha) a_E(\vec{k}) - \beta_E(\vec{k}, \vec{r}_\alpha, \vec{P}_\alpha) a_E^+(\vec{k}) \right\} \quad (1.15)$$

- L'annulation du coefficient de  $a_E^+(\vec{k})$  dans (1.14) donne alors

$$-\frac{q_\alpha}{m_\alpha} \sqrt{\frac{\hbar}{2\varepsilon_0 \omega (2\pi)^3}} \vec{E} \cdot \vec{P}_\alpha e^{-i\vec{k} \cdot \vec{r}_\alpha} + \hbar \omega \beta_E(\vec{k}, \vec{r}_\alpha, \vec{P}_\alpha) + \left[ \frac{\vec{P}_\alpha^2}{2m_\alpha}, \beta_E(\vec{k}, \vec{r}_\alpha, \vec{P}_\alpha) \right] = 0 \quad (1.16)$$

Multipions (1.16) à droite par  $e^{i\vec{k} \cdot \vec{r}_\alpha}$  et posons

$$X = \beta_E(\vec{k}, \vec{r}_\alpha, \vec{P}_\alpha) e^{i\vec{k} \cdot \vec{r}_\alpha} \quad (1.17)$$

L'équation pour  $X$  s'écrit

$$-\frac{q_\alpha}{m_\alpha} \sqrt{\frac{\hbar}{2\varepsilon_0 \omega (2\pi)^3}} \vec{E} \cdot \vec{P}_\alpha + \hbar \omega X + \frac{\vec{P}_\alpha^2}{2m_\alpha} X - X \underbrace{\underbrace{e^{-i\vec{k} \cdot \vec{r}_\alpha} \frac{\vec{P}_\alpha^2}{2m_\alpha} e^{i\vec{k} \cdot \vec{r}_\alpha}}_{(\vec{P}_\alpha + \hbar \vec{k})^2 / 2m_\alpha}} = 0 \quad (1.18)$$

$\hookrightarrow X$  ne dépend donc que de  $\vec{P}_\alpha$  et s'écrit

$$X = \frac{q_\alpha}{m_\alpha} \sqrt{\frac{\hbar}{2\varepsilon_0 \omega (2\pi)^3}} \frac{\vec{E} \cdot \vec{P}_\alpha}{\hbar \omega + \frac{\vec{P}_\alpha^2}{2m_\alpha} - \frac{(\vec{P}_\alpha + \hbar \vec{k})^2}{2m_\alpha}} \quad (1.19)$$

ce qui donne finalement pour  $\beta_E(\vec{k}, \vec{r}_\alpha, \vec{P}_\alpha)$  constante de (1.17)

$$\beta_E(\vec{k}, \vec{r}_\alpha, \vec{P}_\alpha) = \frac{q_\alpha}{m_\alpha} \sqrt{\frac{\hbar}{2\varepsilon_0 \omega (2\pi)^3}} \frac{\vec{E} \cdot \vec{P}_\alpha}{\hbar \omega + \frac{\vec{P}_\alpha^2}{2m_\alpha} - \frac{(\vec{P}_\alpha + \hbar \vec{k})^2}{2m_\alpha}} e^{-i\vec{k} \cdot \vec{r}_\alpha} \quad (1.20)$$

Si l'on remplace  $e^{-i\vec{k} \cdot \vec{r}_\alpha}$  par 1, et le dénominateur par  $\hbar \omega$  (ordre 1 en  $\vec{P}_\alpha/m_\alpha c$  et 0 en  $\hbar \omega/m_\alpha c^2$ ), on retrouve (1.3) et  $T$  coïncide avec la transformation de Pauli-Fierz relativiste

- Comme  $H$  est non relativiste, il est inutile de conserver les termes d'ordre supérieur à 1 en  $\vec{p}_\alpha/m_\alpha$  et  $\hbar\omega/m_\alpha c^2$  dans le développement du dénominateur de (1.20). A cet ordre, on peut écrire

$$\frac{1}{\hbar\omega + \frac{\vec{p}_\alpha^2}{2m_\alpha} - \frac{(\vec{p}_\alpha + \hbar\vec{k})^2}{2m_\alpha}} = \frac{1}{\hbar\omega - \frac{\hbar\vec{k}\cdot\vec{p}_\alpha}{m_\alpha} - \frac{\hbar^2 k^2}{2m_\alpha}} \simeq \frac{1}{\hbar\omega} \left( 1 + \frac{\vec{k}\cdot\vec{p}_\alpha}{m_\alpha\omega} + \frac{\hbar k}{2m_\alpha c} \right) \quad (1.21)$$

En remarquant que

$$\left( \frac{\vec{k}\cdot\vec{p}_\alpha}{m_\alpha\omega} + \frac{\hbar k}{2m_\alpha c} \right) e^{-i\vec{k}\cdot\vec{r}_\alpha} = \frac{\vec{k}\cdot\vec{p}_\alpha}{2m_\alpha\omega} e^{-i\vec{k}\cdot\vec{r}_\alpha} + e^{-i\vec{k}\cdot\vec{r}_\alpha} \frac{\vec{k}\cdot\vec{p}_\alpha}{2m_\alpha\omega} \quad (1.22)$$

on peut mettre  $\beta_\epsilon(\vec{k}, \vec{r}_\alpha, \vec{p}_\alpha)$  sous la forme approchée

$$\beta_\epsilon(\vec{k}, \vec{r}_\alpha, \vec{p}_\alpha) = \frac{q_\alpha}{m_\alpha \sqrt{2\epsilon_0\hbar\omega(2\pi)^3}} \left\{ \vec{E} \cdot \vec{p}_\alpha e^{-i\vec{k}\cdot\vec{r}_\alpha} + \vec{E} \cdot \vec{p}_\alpha \left[ \frac{\vec{k}\cdot\vec{p}_\alpha e^{-i\vec{k}\cdot\vec{r}_\alpha} + e^{-i\vec{k}\cdot\vec{r}_\alpha} \vec{k}\cdot\vec{p}_\alpha}{2m_\alpha\omega} \right] \right\} \quad (1.23)$$

et écrire finalement  $F$  sous la forme

$$F = \frac{q_\alpha}{m_\alpha} \left\{ \vec{p}_\alpha \cdot \vec{Z}(\vec{r}_\alpha) + \vec{\nabla}_\alpha \cdot \left[ (\vec{p}_\alpha \cdot \vec{Y}(\vec{r}_\alpha)) \frac{\vec{p}_\alpha}{2m_\alpha} + \frac{\vec{p}_\alpha}{2m_\alpha} (\vec{p}_\alpha \cdot \vec{Y}(\vec{r}_\alpha)) \right] \right\} \quad (1.24)$$

où  $\vec{Z}$  est le vecteur de Hertz et  $\vec{Y}$  un autre champ défini par

$$\vec{Y}(\vec{r}) = \int d^3k \sum_\epsilon \sqrt{\frac{\hbar}{2\epsilon_0\omega(2\pi)^3}} \left[ \vec{E} \frac{a_\epsilon(\vec{k})}{(i\omega)^2} e^{i\vec{k}\cdot\vec{r}} + \vec{E} \frac{a_\epsilon^*(\vec{k})}{(-i\omega)^2} e^{-i\vec{k}\cdot\vec{r}} \right] \quad (1.25)$$

$\vec{Y}$  est en fait (au signe près) l'intégrale de  $\vec{Z}$  ( $\vec{y} = -\vec{Z}$ ) et est comme  $\vec{Z}$  un champ transverse.

## Transformation des états

- Supposons  $V_\epsilon = 0$  et considérons le point de vue (1), l'état propre de  $H$  qui tend vers l'état propre  $|\vec{p}; 0\rangle$  de  $H_0$  quand  $q_\alpha \rightarrow 0$ . Cet état sera noté  $|\psi_{\vec{p}, 0}^{(1)}\rangle$ . A l'ordre 1 en  $q_\alpha$ , cet état s'obtient par la théorie des perturbations au 1<sup>er</sup> ordre avec  $H_{I1}$

$$|\psi_{\vec{p}, 0}^{(1)}\rangle = |\vec{p}; 0\rangle + \int d^3k \sum_\epsilon \langle \vec{p} - \hbar\vec{k}; \vec{k}\epsilon | H_{I1} | \vec{p}; 0 \rangle \frac{\langle \vec{p} - \hbar\vec{k}; \vec{k}\epsilon | H_{I1} | \vec{p}; 0 \rangle}{\frac{\vec{p}^2}{2m_\alpha} - \hbar\omega - \frac{(\vec{p} - \hbar\vec{k})^2}{2m_\alpha}} \quad (1.26)$$

c'est à dire encore, compte tenu de (1.9) et du fait que  $e^{-i\vec{k}\cdot\vec{r}_\alpha} |\vec{p}\rangle = |\vec{p} - \hbar\vec{k}\rangle$

$$|\psi_{\vec{p}, 0}^{(1)}\rangle = |\vec{p}; 0\rangle - \frac{q_\alpha}{m_\alpha} \int d^3k \sum_\epsilon \sqrt{\frac{\hbar}{2\epsilon_0\omega(2\pi)^3}} \frac{\vec{\epsilon} \cdot \vec{p}}{\frac{\vec{p}^2}{2m_\alpha} - \hbar\omega - \frac{(\vec{p} - \hbar\vec{k})^2}{2m_\alpha}} |\vec{p} - \hbar\vec{k}; \vec{k}\epsilon\rangle \quad (1.27)$$

Cet état représente physiquement une charge  $q_\alpha$  dans l'état  $|\vec{p}\rangle$  "habillée" d'un nuage de photons virtuels qu'elle émet et réabsorbe

- Soit  $|\psi_{\vec{p}, 0}^{(2)}\rangle$  le ket représentant le même état physique dans le point de vue (2). A l'ordre 1 en  $q_\alpha$

$$|\psi_{\vec{p}, 0}^{(2)}\rangle = T |\psi_{\vec{p}, 0}^{(1)}\rangle = (1 + \frac{iF}{\hbar}) |\psi_{\vec{p}, 0}^{(1)}\rangle \simeq |\psi_{\vec{p}, 0}^{(1)}\rangle + \frac{iF}{\hbar} |\vec{p}; 0\rangle \quad (1.28)$$

En utilisant (1.15) et (1.20), on obtient pour le dernier terme de (1.28)

$$\frac{iF}{\hbar} |\vec{p};0\rangle = -\frac{q_\alpha}{m_\alpha} \int d^3k \sum_{\epsilon} \sqrt{\frac{\hbar}{2\epsilon_0 w(2\eta)^3}} \frac{\vec{E} \cdot \vec{p}_\alpha}{\hbar w + \frac{\vec{p}_\alpha^2}{2m_\alpha} - \frac{(\vec{p} + \hbar\vec{k})^2}{2m_\alpha}} |\vec{p} - \hbar\vec{k}; \vec{k}\vec{\epsilon}\rangle. \quad (1.29)$$

Or,  $|\vec{p} - \hbar\vec{k}\rangle$  est état propre de l'opérateur  $\vec{p}_\alpha$ , de valeur propre  $\vec{p} - \hbar\vec{k}$ . De plus,  $\vec{E} \cdot \vec{k} = 0$ . On déduit alors de (1.29)

$$\frac{iF}{\hbar} |\vec{p};0\rangle = -\frac{q_\alpha}{m_\alpha} \int d^3k \sum_{\epsilon} \sqrt{\frac{\hbar}{2\epsilon_0 w(2\eta)^3}} \frac{\vec{E} \cdot \vec{p}}{\hbar w + \frac{(\vec{p} - \hbar\vec{k})^2}{2m_\alpha} - \frac{\vec{p}^2}{2m_\alpha}} |\vec{p} - \hbar\vec{k}; \vec{k}\vec{\epsilon}\rangle \quad (1.30)$$

Finalement, en ajoutant (1.27) et (1.30) pour obtenir, d'après (1.28),  $|\psi_{\vec{p},0}^{(2)}\rangle$ , on constate que le dernier terme de (1.27) se compense avec (1.30), de sorte que

$$|\psi_{\vec{p},0}^{(2)}\rangle = |\vec{p};0\rangle \quad (1.31)$$

L'état physique habillé de photons du point de vue (1), qui est état propre de  $H$  (à l'ordre 1 en  $q_\alpha$ ), en dehors de la zone d'action de  $V_e$ , est donc représenté beaucoup plus simplement dans le point de vue (2) par un ket de la forme  $|\vec{p};0\rangle$ . Dans le point de vue (2), les kets  $|\vec{p};0\rangle$  représentent donc des états asymptotiques corrects pour la diffusion par  $V_e$ , puisqu'ils représentent des états propres du reste de l'hamiltonien en dehors de la zone d'action du potentiel. C'est ce qui explique pourquoi le point de vue (2) est beaucoup plus commode que le point de vue (1) pour l'étude des processus de collisions.

### Transformations des opérateurs

Nous ne calculerons pas ici  $T \vec{r}_\alpha T^\dagger$ ,  $T \vec{p}_\alpha T^\dagger$ ,  $T a_\epsilon(\vec{k}) T^\dagger$ . Disons simplement que :

$$T G T^\dagger = G + \left[ \frac{iF}{\hbar}, G \right] + \frac{1}{2!} \left[ \frac{iF}{\hbar}, \left[ \frac{iF}{\hbar}, G \right] \right] + \dots \quad (1.32)$$

où  $G = \vec{r}_\alpha, \vec{p}_\alpha, a_\epsilon(\vec{k}) \dots$ . On retrouve bien qu'à l'ordre 1 en  $q_\alpha$ ,  $\left[ \frac{iF}{\hbar}, G \right]$  est la réponse linéaire de l'observable  $G$  d'un système à la perturbation exercée par l'autre. Mais les autres termes (d'ordre 2, 3 ...) en  $q_\alpha$  du développement (1.32) ne sont pas nuls.

Ainsi,  $T$  est bien un opérateur de translation pour  $\vec{r}_\alpha, \vec{p}_\alpha, a_\epsilon(\vec{k}) \dots$  Mais l'amplitude de la translation ne se réduit pas à la seule réponse linéaire comme c'était le cas à l'approximation des grandes longueurs d'onde.

### Structure de l'hamiltonien transformé $H'$ et approximations

#### Développement de $H'$ en puissances de $q_\alpha$

$$H' = H_0 + H'_1 + H'_2 + H'_3 + H'_4 + \dots \quad (1.33)$$

$\frac{iF}{\hbar}$  a été choisi pour avoir  $H'_1 = 0 \rightarrow$  Condition (1.14) :  $\left[ \frac{iF}{\hbar}, H_0 \right] = -H_1$

On obtient alors  $H' = H_0 + H'_2 + H'_3 + H'_4 + \dots$  (1.34)

$$H'_2 = H_2 + \left[ \frac{iF}{\hbar}, H_1 \right] + \frac{1}{2!} \left[ \frac{iF}{\hbar}, \left[ \frac{iF}{\hbar}, H_0 \right] \right] = H_2 + \frac{1}{2} \left[ \frac{iF}{\hbar}, H_1 \right] \quad (1.35)$$

$$H'_3 = \left[ \frac{iF}{\hbar}, H_2 \right] + \frac{1}{3} \left[ \frac{iF}{\hbar}, \left[ \frac{iF}{\hbar}, H_1 \right] \right] \quad (1.36.a) \quad H'_4 = \frac{1}{2} \left[ \frac{iF}{\hbar}, \left[ \frac{iF}{\hbar}, H_2 \right] \right] + \frac{1}{8} \left[ \frac{iF}{\hbar}, \left[ \frac{iF}{\hbar}, \left[ \frac{iF}{\hbar}, H_1 \right] \right] \right] \quad (1.36.b)$$

Terme d'ordre 2 en  $q_x$  : en plus de  $H_2$ , il y a le terme provenant du commutateur de  $iF/\hbar$  et  $H_1$ .

$iF/\hbar$  et  $H_1$  sont tous deux des combinaisons linéaires de  $a$  et  $a^\dagger$  avec des coefficients de  $\vec{r}_x$  et  $\vec{p}_x \rightarrow$  2 contributions dans  $\frac{1}{2} \left[ \frac{iF}{\hbar}, H_1 \right]$

1 - Terme provenant de  $[a, a^\dagger] = 1 \rightarrow$  opérateur dépendant uniquement de  $\vec{r}_x$  et  $\vec{p}_x$ , c.-à-d opérateur de particule s'ajoutant à  $\vec{p}_x^2/m_x + V_e(\vec{r}_x)$

2 - Terme provenant de la non commutation de  $\vec{p}_x$  et  $e^{\pm i \hbar \cdot \vec{k} \cdot \vec{r}_x}$  → opérateur quadratique en  $a$  et  $a^\dagger$  et dépendant de  $\vec{r}_x$  et  $\vec{p}_x$ .  
Nouvel hamiltoniens d'interaction particule - champ transverse quadratique en  $q_x$ .

Termes prépondérants d'ordre 3 et 4 en  $q_x$

Pour des particules chargées non relativistes, l'énergie de Coulomb  $V_e(\vec{r}_x)$  est beaucoup plus importante que l'interaction avec le champ transverse. On négligera donc les seconds termes de (1.36.a) et (1.36.b), et on remplacera  $H_2$  par  $V_e(\vec{r}_x)$  dans les premiers termes. On ne conservera donc que les termes

$$\left[ \frac{iF}{\hbar}, V_e(\vec{r}_x) \right] \quad (1.37.a)$$

$$\frac{1}{2} \left[ \frac{iF}{\hbar}, \left[ \frac{iF}{\hbar}, V_e(\vec{r}_x) \right] \right] \quad (1.37.b)$$

Développement en puissances de  $\vec{p}_x/m_x c$  et  $\hbar k/m_x c$

Toutes les corrections relativistes, ne figurant pas dans l'hamiltonien de départ (1.1), sont au moins d'ordre  $1/c^2$ . Par ailleurs,  $F$  a été développé à l'ordre 1 inclus en  $1/c$  (voir (1.21)).

Tous les termes de  $H'_2$  d'ordre 0 et 1 en  $1/c$  sont donc corrects. Par contre, pour les termes d'ordre 2 en  $1/c$  de  $H'_2$ , il faut s'assurer, avant de les garder, qu'ils ne seraient pas modifiés par les termes d'ordre supérieur en  $1/c$  de  $H$  et  $F$ , et éventuellement, les corriger et les compléter.

Nouvel hamiltonien des particules à l'ordre 2 en  $q_x$

Le commutateur de  $a$  et  $a^\dagger$  dans  $\frac{1}{2} \left[ \frac{iF}{\hbar}, H_1 \right]$  donne, d'après (1.15) et (1.9)

$$\frac{1}{2} \int d^3k \sum_{\epsilon} \left\{ \beta_{\epsilon}^+ (\vec{k}, \vec{r}_x, \vec{p}_x) \left[ -\frac{q_x}{m_x} \sqrt{\frac{\hbar}{2\epsilon_0 w(2\pi)^3}} (\vec{\epsilon} \cdot \vec{p}_x) e^{-i\vec{k} \cdot \vec{r}_x} \right] + \text{c.c.} \right\} \quad (1.38)$$

REMPLACONS  $\beta_{\epsilon}^+$  par l'adjoint de (1.23). La contribution du dernier terme de (1.23) est impair en  $\vec{k}$  et s'annule dans l'intégrale sur  $\vec{k}$ . Il reste donc

$$-\frac{1}{2} \frac{q_x^2}{m_x^2} \sum_{\epsilon} \frac{(\vec{\epsilon} \cdot \vec{p}_x)^2}{2\epsilon_0 w^3 (2\pi)^3} + \text{c.c.} = -\frac{\vec{p}_x^2}{2m_x} \frac{\delta m_x}{m_x} \quad (1.39)$$

qui n'est autre que la correction à l'énergie cinétique due à la correction de masse  $m_x$ .

Seule différence : comme on ne fait plus ici l'approximation des grandes longueurs d'onde, on peut prendre une constante  $k_c$  plus élevée dans l'intégrale sur  $\vec{k}$  donnant  $\delta m_x$  ( $k_{c0}$  peut être grand devant 1. Par contre,  $\hbar w_c$  doit rester petit devant  $m_x c^2$  pour la validité du traitement non relativiste).

## Nouvel hamiltonien d'interaction à l'ordre 2 en $q_\alpha$

IX-7

En plus de  $\frac{q_\alpha^2}{2m_\alpha} \vec{A}_\perp^2(\vec{r}_\alpha)$  qui figure dans  $H_2$  (voir (1.10)), il faut considérer le terme de  $\frac{1}{2} [\frac{iF}{\hbar}, H_1]$  qui provient de la non commutation de  $\vec{P}_\alpha$  et  $e^{\pm i\vec{k} \cdot \vec{r}_\alpha}$ .

Nous négligerons la contribution du dernier terme de (1.24) qui donne naissance à des termes en  $1/c^2$  dans le nouvel hamiltonien d'interaction particule-champ transverse. La contribution des 1<sup>er</sup> terme donne, après un calcul que nous ne détaillerons pas ici, le résultat

$$-\frac{q_\alpha^2}{2m_\alpha^2} \vec{P}_\alpha \cdot \left[ \vec{\nabla}_\alpha \times (\vec{A}_\perp(\vec{r}_\alpha) \times \vec{Z}(\vec{r}_\alpha)) \right] \quad (1.40)$$

Finalement, à l'ordre 2 en  $q_\alpha$  et 1 en  $1/c$ , le nouvel hamiltonien d'interaction s'écrit

$$H'_I = \frac{q_\alpha^2}{2m_\alpha} \vec{A}_\perp^2(\vec{r}_\alpha) - \frac{q_\alpha^2}{2m_\alpha^2} \vec{P}_\alpha \cdot \left[ \vec{\nabla}_\alpha \times (\vec{A}_\perp(\vec{r}_\alpha) \times \vec{Z}(\vec{r}_\alpha)) \right] \quad (1.41)$$

Le 2<sup>ème</sup> terme représente des corrections en  $P_\alpha/m_\alpha c$  au 1<sup>er</sup> terme. Corrections à l'énergie cinétique du mouvement de vibration dues au mouvement lent de la particule (effet Doppler, aberration, force magnétique due au champ magnétique du rayonnement).

## Termes négligeables en $q^3$ et $q^4$

Pour ces termes (1.37.a) et (1.37.b), on peut se contenter du 1<sup>er</sup> terme de (1.24). On obtient alors

$$H'_3 = \left[ \frac{i}{\hbar} \frac{q_\alpha}{m_\alpha} \vec{P}_\alpha \cdot \vec{Z}(\vec{r}_\alpha), V_e(\vec{r}_\alpha) \right] = \frac{q_\alpha}{m_\alpha} \vec{Z}(\vec{r}_\alpha) \cdot \vec{\nabla} V_e(\vec{r}_\alpha) \quad (1.42)$$

$$H'_4 = \left[ \frac{i}{\hbar} \frac{q_\alpha}{m_\alpha} \vec{P}_\alpha \cdot \vec{Z}(\vec{r}_\alpha), \left[ \frac{i}{\hbar} \frac{q_\alpha}{m_\alpha} \vec{P}_\alpha \cdot \vec{Z}(\vec{r}_\alpha), V_e(\vec{r}_\alpha) \right] \right] = \frac{q_\alpha^2}{2m_\alpha^2} \sum_{ij} Z_i(\vec{r}_\alpha) Z_j(\vec{r}_\alpha) \nabla_i \nabla_j V_e(\vec{r}_\alpha) \quad (1.43)$$

On retrouve des termes analogues à ceux obtenus dans le cours précédents, à la différence près que  $\vec{Z}(\vec{r})$  est remplacé par  $\vec{Z}(\vec{r}_\alpha)$ . En particulier,  $H'_3$  est un terme d'interaction à 1 photon décrivant le couplage avec le vecteur de Hertz de l'accélération de la particule.

## Diffusion Compton

Etats initial et final  $|\Psi_{in}\rangle = |\vec{P}_1, \vec{k}_1, \vec{E}_1\rangle$   $|\Psi_{fin}\rangle = |\vec{P}_2, \vec{k}_2, \vec{E}_2\rangle$  (1.44)

On prendra  $\vec{P}_1 = \vec{0}$  : électron initialement immobile

Normalisation des états de la particule et du photon dans une boîte  $L^3$ .

## Probabilité de transition par unité de temps

$$W(\vec{P}_1 + \vec{k}_1, \vec{E}_1 \rightarrow \vec{P}_2 + \vec{k}_2, \vec{E}_2) = \frac{2\pi}{\hbar} |\langle \vec{P}_2, \vec{k}_2, \vec{E}_2 | H'_I | \vec{P}_1, \vec{k}_1, \vec{E}_1 \rangle|^2 \delta(E_{\vec{P}_1} + \hbar\omega_1 - E_{\vec{P}_2} - \hbar\omega_2) \quad (1.45)$$

Comme  $\vec{P}_\alpha |\vec{P}_1\rangle = \vec{P}_1 |\vec{P}_1\rangle = \vec{0}$  puisque  $\vec{P}_1 = \vec{0}$ , le 2<sup>ème</sup> terme de (1.41) ne contribue pas ( $\vec{P}_\alpha$  commute avec le champ transverse  $\vec{\nabla} \times (\vec{A}_\perp \times \vec{Z})$ ). On peut donc remplacer  $H'_I$  par  $q_\alpha^2 \vec{A}_\perp^2(\vec{r}_\alpha)/2m_\alpha$  dans (1.45).

$$\begin{aligned} \frac{q_\alpha^2}{2m_\alpha} \langle \vec{P}_2, \vec{k}_2, \vec{E}_2 | \vec{A}_\perp^2(\vec{r}_\alpha) | \vec{P}_1, \vec{k}_1, \vec{E}_1 \rangle &= \frac{q_\alpha^2}{2m_\alpha} \frac{\hbar}{2\varepsilon_0 L^3 \sqrt{\omega_1 \omega_2}} (\vec{E}_1 \cdot \vec{E}_2) \times \\ &\times \underbrace{\langle \vec{k}_2, \vec{E}_2 | \alpha_{\vec{k}_2, \vec{E}_2}^\dagger \alpha_{\vec{k}_1, \vec{E}_1} + \alpha_{\vec{k}_1, \vec{E}_1}^\dagger \alpha_{\vec{k}_2, \vec{E}_2} | \vec{k}_1, \vec{E}_1 \rangle}_{2} \underbrace{\langle \vec{P}_2 | e^{i(\vec{k}_1 - \vec{k}_2) \cdot \vec{r}_\alpha} | \vec{P}_1 \rangle}_{\delta \vec{P}_1 + \hbar \vec{k}_1, \vec{P}_2 + \hbar \vec{k}_2} \end{aligned} \quad (1.46)$$

$$\langle \vec{P}_2, \vec{k}_2 \vec{\epsilon}_2 | H'_I | \vec{P}_1, \vec{k}_1 \vec{\epsilon}_1 \rangle = \frac{q_e^2}{2m_e} \frac{\hbar}{\epsilon_0 \sqrt{\omega_1 \omega_2} L^3} \vec{\epsilon}_1 \cdot \vec{\epsilon}_2 \delta_{\vec{P}_1 + \hbar \vec{k}_1, \vec{P}_2 + \hbar \vec{k}_2}$$

Sommation sur les états finaux - Section efficace

- On n'observe pas l'électron diffusé. Il faut donc sommer sur  $\vec{P}_2$

$$\begin{aligned} \sum_{\vec{P}_2} w(\vec{P}_1 + \hbar \vec{k}_1 \rightarrow \vec{P}_2 + \hbar \vec{k}_2) &= \\ &= \frac{2\pi}{\hbar} \sum_{\vec{P}_2} \frac{q_e^4}{4m_e^2} \frac{\hbar^2}{\epsilon_0^2 L^6 \omega_1 \omega_2} (\vec{\epsilon}_1 \cdot \vec{\epsilon}_2)^2 \delta_{\vec{P}_1 + \hbar \vec{k}_1, \vec{P}_2 + \hbar \vec{k}_2} \delta\left(\frac{\vec{P}_1^2}{2m_e} + \hbar \omega_1 - \frac{\vec{P}_2^2}{2m_e} - \hbar \omega_2\right) \\ &= \frac{2\pi}{\hbar} \frac{q_e^4}{4m_e^2} \frac{\hbar^2}{\epsilon_0^2 L^6 \omega_1 \omega_2} (\vec{\epsilon}_1 \cdot \vec{\epsilon}_2)^2 \frac{1}{\hbar} \delta\left[\omega_2 + \frac{(\vec{P}_1 + \hbar \vec{k}_1 - \hbar \vec{k}_2)^2}{2\hbar m_e} - \omega_1 - \frac{\vec{P}_1^2}{2\hbar m_e}\right] \end{aligned} \quad (1.48)$$

- Probabilité par unité de temps pour que le photon soit diffusé dans l'angle solide  $d\Omega_2$  autour de  $\kappa_2 = \vec{k}_2/k_2$

$$dW = d\Omega_2 \frac{L^3}{(2\pi)^3} \int \frac{\omega_2^2 d\omega_2}{c^3} \sum_{\vec{P}_2} w(\vec{P}_1 + \hbar \vec{k}_1 \rightarrow \vec{P}_2 + \hbar \vec{k}_2) \quad (1.49)$$

- Flux des photons incident

$$\hookrightarrow \frac{d\sigma}{d\Omega_2} = \frac{L^3}{c} \frac{dW}{d\Omega_2} = \frac{L^6}{c^4 (2\pi)^3} \int \omega_2^2 d\omega_2 \sum_{\vec{P}_2} w(\vec{P}_1 + \hbar \vec{k}_1 \rightarrow \vec{P}_2 + \hbar \vec{k}_2) \quad (1.50)$$

Calcul explicite de  $d\sigma/d\Omega_2$

- La fonction  $\delta$  de (1.48) s'annule pour  $\omega_2 = \tilde{\omega}_2$  avec

$$\tilde{\omega}_2 \simeq \omega_1 \left[ 1 - \frac{\hbar \omega_1}{m_e c^2} (1 - \cos \theta) \right] \quad (1.51)$$

On a utilisé  $\vec{P}_1 = \vec{0}$  et posé  $\vec{k}_1 \cdot \vec{k}_2 = k_1 k_2 \cos \theta$  ( $\theta$  angle entre  $\vec{k}_1$  et  $\vec{k}_2$ )

On peut donc écrire cette fonction  $\delta$  sous la forme

$$\frac{\delta(\omega_2 - \tilde{\omega}_2)}{1 + \frac{\hbar \omega_1}{m_e c^2} - \frac{\hbar \omega_2}{m_e c^2} \cos \theta} \simeq \delta(\omega_2 - \tilde{\omega}_2) \left[ 1 - \frac{\hbar \omega_1}{m_e c^2} (1 - \cos \theta) \right] \simeq \delta(\omega_2 - \tilde{\omega}_2) \frac{\tilde{\omega}_2}{\omega_1} \quad (1.52)$$

- On obtient alors pour  $\frac{d\sigma}{d\Omega_2}$

$$\begin{aligned} \frac{d\sigma}{d\Omega_2} &= \frac{L^6}{(2\pi)^3} \frac{1}{c^4} \frac{2\pi}{\hbar} \frac{q_e^4}{4m_e^2} \frac{\hbar^2}{\epsilon_0^2 L^6 \omega_1} \frac{(\vec{\epsilon}_1 \cdot \vec{\epsilon}_2)^2}{\hbar} \int \omega_2 d\omega_2 \delta(\omega_2 - \tilde{\omega}_2) \frac{\tilde{\omega}_2}{\omega_1} \\ &= r_0^2 \left( \frac{\tilde{\omega}_2}{\omega_1} \right)^2 (\vec{\epsilon}_1 \cdot \vec{\epsilon}_2)^2 \end{aligned} \quad (1.53)$$

où  $r_0 = q_e^2 / 4\pi \epsilon_0 m_e c^2$  est le rayon classique de l'électron

- Comme nous n'avons pas gardé tous les termes en  $1/c^2$  dans le calcul de  $H'_I$ , on peut remplacer  $\tilde{\omega}_2/\omega_1$  par 1, ce qui donne

$$\frac{d\sigma}{d\Omega_2} = r_0^2 (\vec{\epsilon}_1 \cdot \vec{\epsilon}_2)^2 \quad (1.54)$$

- Moyenne sur les 2 polarisations initiales  $\vec{\epsilon}_1$  possibles et sommation sur les 2 polarisations finales  $\vec{\epsilon}_2$

$$\frac{d\sigma}{d\Omega_2} = \frac{r_0^2}{2} (1 + \cos^2 \theta) \quad (1.55)$$

## Généralisations de la transformation de Pauli-Fierz (suite)

### ② Généralisation à des particules avec spin. Modèle simple de spins situés en des points fixes

- Modèle étudié - Hamiltonien
- Transformation unitaire éliminant les termes d'interaction linéaires en charge.
- Nouvel hamiltonien de spin et nouvel hamiltonien d'interaction. Interaction dipôle-dipôle et interaction de contact.
- Cas où les spins interagissent en plus avec un champ magnétique statique. Termes supplémentaires dans l'hamiltonien transformé.
- Nouvel hamiltonien d'interaction à un photons.
- Corrections radiatives à la précession de Larmor.

### ③ Généralisation à des particules avec spins non localisés Principe du calcul et quelques résultats

- Hamiltonien.
- Transformation unitaire éliminant les termes d'interaction linéaires en charge.
- Nouvel hamiltonien des particules à l'ordre 2 en  $q_\alpha$ .
- Cohérence des développements en  $1/c$ .

#### Hamiltonien

$$H = H_R + H_{IS} = H_R - \sum_\alpha \gamma_\alpha \vec{S}_\alpha \cdot \vec{B}(\vec{r}_\alpha) \quad (2.1)$$

1<sup>er</sup> terme : hamiltonien du rayonnement (ordre 0 en  $q_\alpha$ )

$$H_R = \int d^3k \sum_\varepsilon \hbar \omega [a_\varepsilon^\dagger(\vec{k}) a_\varepsilon(\vec{k}) + \frac{1}{2}] \quad (2.2)$$

2<sup>nd</sup> terme  $H_{IS}$  : interaction du moment magnétique de spin  $\gamma_\alpha S_\alpha$  où

$$\gamma_\alpha = g_\alpha \frac{q_\alpha}{2m_\alpha} \quad (g_\alpha : \text{facteur } g) \quad (2.3)$$

avec le champ magnétique du rayonnement évalué en  $\vec{r}_\alpha$  (ordre 1 en  $q_\alpha$ )

$$\vec{B}(\vec{r}_\alpha) = i \int d^3k \sum_\varepsilon \frac{1}{c} \sqrt{\frac{\hbar \omega}{2\varepsilon_0(2\pi)^3}} \vec{\kappa} \times \vec{\epsilon} [\vec{a}_\varepsilon(\vec{k}) e^{i\vec{k} \cdot \vec{r}_\alpha} - \vec{a}_\varepsilon^\dagger(\vec{k}) e^{-i\vec{k} \cdot \vec{r}_\alpha}] \quad (2.4)$$

#### Transformation unitaire

$$T = e^{iF_S/\hbar} \quad (2.5)$$

- On verra plus loin que  $F_S$  peut être pris linéaire en  $q_\alpha$ .
- Développement de  $H' = THT^+$  en puissances de  $q_\alpha$

$$H' = H_R + \\ + H_{IS} + \left[ \frac{iF_S}{\hbar}, H_R \right] + \\ + \left[ \frac{iF_S}{\hbar}, H_{IS} \right] + \frac{1}{2} \left[ \frac{iF_S}{\hbar}, \left[ \frac{iF_S}{\hbar}, H_R \right] \right] + \dots \quad (2.6)$$

- Annulation des termes en  $q_\alpha$  de  $H'$

$$H_{IS} + \left[ \frac{iF_S}{\hbar}, H_R \right] = 0 \quad (2.7)$$

Comme  $H_{IS}$  et  $H_R$  sont respectivement linéaire et quadratique en  $q_\alpha$ , on peut choisir  $F_S$  comme combinaison linéaire de  $a$  et  $a^\dagger$

$$\frac{iF_S}{\hbar} = \sum_{\epsilon} \int d^3k \sum_{\epsilon'} \left[ \beta'_{\epsilon}(\vec{k}, \alpha) a_{\epsilon}(\vec{k}) - \beta'_{\epsilon}(\vec{k}, \alpha) a_{\epsilon}^{\dagger}(\vec{k}) \right] \quad (2.8)$$

L'annulation du coefficient de  $a_{\epsilon}^{\dagger}(\vec{k})$  dans (2.7) donne

$$i\gamma_{\alpha} \frac{1}{c} \sqrt{\frac{\hbar\omega}{2\varepsilon_0(2n)^3}} \vec{S}_{\alpha} \cdot (\vec{k} \times \vec{\epsilon}) e^{-i\vec{k} \cdot \vec{r}_{\alpha}} + \hbar\omega \beta'_{\epsilon}(\vec{k}, \alpha) = 0 \quad (2.9)$$

c'est à dire

$$\beta'_{\epsilon}(\vec{k}, \alpha) = \frac{1}{\hbar} \gamma_{\alpha} \sqrt{\frac{\hbar}{2\varepsilon_0\omega^3(2n)^3}} \vec{S}_{\alpha} \cdot (-i\vec{k} \times \vec{\epsilon}) e^{-i\vec{k} \cdot \vec{r}_{\alpha}} \quad (2.10)$$

On en déduit, compte tenu de (2.8)

$$F_S = \sum_{\alpha} \gamma_{\alpha} \vec{S}_{\alpha} \cdot (\vec{\nabla} \times \vec{Z}(\vec{r}_{\alpha})) \quad (2.11)$$

Termes d'ordre 2 en  $q_\alpha$  dans le nouvel hamiltonien

$$H'_2 = \left[ \frac{iF_S}{\hbar}, H_{IS} \right] + \frac{1}{2} \left[ \frac{iF_S}{\hbar}, \underbrace{\left[ \frac{iF_S}{\hbar}, H_R \right]}_{= -H_{IS}} \right] = \frac{1}{2} \left[ \frac{iF_S}{\hbar}, H_{IS} \right] \quad (2.12)$$

c'est à dire encore, d'après (2.1) et (2.11)

$$H'_2 = -\frac{i}{2\hbar} \sum_{\alpha} \sum_{\beta} \gamma_{\alpha} \gamma_{\beta} \sum_{i,j} \underbrace{[(\vec{S}_{\alpha})_i (\vec{\nabla} \times \vec{Z}(\vec{r}_{\alpha}))_i, (\vec{S}_{\beta})_j (\vec{B}(\vec{r}_{\beta}))_j]}_{x,y,z} \quad (2.13)$$

Commutateurs des opérateurs de rayonnement

$$\begin{aligned} & \left[ (\vec{\nabla} \times \vec{Z}(\vec{r}_{\alpha}))_i, (\vec{Z}(\vec{r}_{\beta}))_j \right] = \int d^3k \sqrt{\frac{\hbar}{2\varepsilon_0\omega^3(2n)^3}} \int d^3k' \frac{1}{c} \sqrt{\frac{\hbar\omega'}{2\varepsilon_0(2n)^3}} \sum_{\epsilon} \sum_{\epsilon'} \\ & (-i) (\vec{k} \times \vec{\epsilon})_i (\vec{k}' \times \vec{\epsilon}')_j \underbrace{[\alpha_{\epsilon}(\vec{k}), \alpha_{\epsilon'}^{\dagger}(\vec{k}')] e^{i\vec{k} \cdot \vec{r}_{\alpha}} e^{-i\vec{k}' \cdot \vec{r}_{\beta}}}_{\delta_{\epsilon\epsilon'} \delta(\vec{k} - \vec{k}')} + c.c \\ & = -\frac{i\hbar}{c^2} \int d^3k \frac{1}{\varepsilon_0(2n)^3} \underbrace{\sum_{\epsilon} (\vec{k} \times \vec{\epsilon})_i (\vec{k} \times \vec{\epsilon})_j}_{\delta_{ij} - \frac{k_i k_j}{k^2}} e^{i\vec{k} \cdot (\vec{r}_{\alpha} - \vec{r}_{\beta})} \\ & = -\frac{i\hbar}{\varepsilon_0 c^2} \underbrace{\frac{1}{(2n)^3} \int d^3k (\delta_{ij} - \frac{k_i k_j}{k^2}) e^{i\vec{k} \cdot (\vec{r}_{\alpha} - \vec{r}_{\beta})}}_{\delta_{ij}^{\perp}(\vec{r}_{\alpha} - \vec{r}_{\beta})} = -i\hbar \delta_{ij}^{\perp}(\vec{r}_{\alpha} - \vec{r}_{\beta}) \quad (2.14) \end{aligned}$$

$\delta_{ij}^{\perp}(\vec{r}_{\alpha} - \vec{r}_{\beta})$  : "fonction delta-transverse" (voir  
Photons et Atomes - Complément A.I)

$$\delta_{ij}^{\perp}(\vec{p}) = \frac{2}{3} \delta_{ij} \delta(\vec{p}) + \frac{1}{4\pi p^3} \left( \frac{3p_i p_j}{p^2} - \delta_{ij} \right) \quad (2.15)$$

### Commutateur des opérateurs de spin

$$[(\vec{S}_\alpha)_i, (\vec{S}_\beta)_j] = i \hbar \delta_{\alpha\beta} \sum_k \epsilon_{ijk} (\vec{S}_\alpha)_k \quad (2.16)$$

$$\hookrightarrow H'_2 = -\frac{i}{2\hbar} \sum_\alpha \sum_\beta \sum_i \sum_j \gamma_\alpha \gamma_\beta \left\{ S_{\alpha i} S_{\beta j} [(\vec{\nabla} \times \vec{Z}(\vec{r}_\alpha))_i, (\vec{B}(\vec{r}_\beta))_j] + [(\vec{\nabla} \times \vec{Z}(\vec{r}_\alpha))_i, (\vec{B}(\vec{r}_\beta))_j] [S_{\alpha i}, S_{\beta j}] \right\} \quad (2.17)$$

Le 1<sup>er</sup> terme est un nouvel hamiltonien de spin  $H'_2(\text{spin})$

Le 2<sup>nd</sup> terme est un nouvel hamiltonien d'interaction  $H'_2(\text{interaction})$

### Nouvel hamiltonien de spin . D'après (2.14) et (2.17)

$$\begin{aligned} H'_2(\text{spin}) &= -\frac{1}{2\epsilon_0 C^2} \sum_\alpha \sum_\beta \sum_i \sum_j \gamma_\alpha \gamma_\beta S_{\alpha i} S_{\beta j} \delta_{ij}^\perp (\vec{r}_\alpha - \vec{r}_\beta) \\ &= \sum_{\alpha \neq \beta} H'_2(\alpha, \beta) + \sum_\alpha H'_2(\alpha) \end{aligned} \quad (2.18)$$

$\boxed{\alpha \neq \beta}$

$$\begin{aligned} H'_2(\alpha, \beta) + H'_2(\beta, \alpha) &= -\frac{2\gamma_\alpha \gamma_\beta}{3\epsilon_0 C^2} \vec{S}_\alpha \cdot \vec{S}_\beta \delta(\vec{r}_\alpha - \vec{r}_\beta) + \\ &+ \frac{\gamma_\alpha \gamma_\beta}{4\pi\epsilon_0 C^2} \left\{ \frac{\vec{S}_\alpha \cdot \vec{S}_\beta}{|\vec{r}_\alpha - \vec{r}_\beta|^3} - 3 \frac{[\vec{S}_\alpha \cdot (\vec{r}_\alpha - \vec{r}_\beta)][\vec{S}_\beta \cdot (\vec{r}_\alpha - \vec{r}_\beta)]}{|\vec{r}_\alpha - \vec{r}_\beta|^5} \right\} \end{aligned} \quad (2.19)$$

1<sup>er</sup> terme : interaction de contact de Fermi entre les 2 spins

2<sup>nd</sup> terme : interaction dipôle-dipôle entre les 2 spins

$\boxed{\alpha = \beta}$

$$H'_2(\alpha) = -\frac{\gamma_\alpha^2}{2\epsilon_0 C^2} \sum_i \sum_j S_{\alpha i} S_{\alpha j} \delta_{ij}^\perp (\vec{0}) \quad (2.20)$$

$$\delta_{ij}^\perp(\vec{0}) = \frac{1}{(2\pi)^3} \int_0^{k_c} k^2 dk \int d\Omega \left( \delta_{ij} - \frac{k_i k_j}{k^2} \right) = \frac{k_c^3}{9\pi^2} \delta_{ij} \quad (2.21)$$

$$H'_2(\alpha) = -\frac{\gamma_\alpha^2 k_c^3}{18\epsilon_0 \pi^2 C^2} \vec{S}_\alpha^2 \quad (2.22)$$

Terme d'énergie propre des moments magnétiques

Couplage de chaque spin avec son champ magnétique propre

### Nouvel hamiltonien d'interaction

$$\begin{aligned} H'_2(\text{interaction}) &= -\frac{i}{2\hbar} \sum_\alpha \sum_\beta \sum_i \sum_j i\hbar \delta_{\alpha\beta} \sum_k \epsilon_{ijk} (\vec{\nabla} \times \vec{Z}(\vec{r}_\alpha))_i (\vec{B}(\vec{r}_\beta))_j S_{\alpha k} \gamma_\alpha \gamma_\beta \\ &= \sum_\alpha \frac{\gamma_\alpha^2}{2} [\vec{\nabla} \times \vec{Z}(\vec{r}_\alpha)] \cdot [\vec{B}(\vec{r}_\alpha) \times \vec{S}_\alpha] \\ &= \sum_\alpha \frac{\gamma_\alpha^2}{2} \vec{S}_\alpha \cdot [(\vec{\nabla} \times \vec{Z}(\vec{r}_\alpha)) \times \vec{B}(\vec{r}_\alpha)] \end{aligned} \quad (2.23)$$

Terme à 2 photons, quadratique en  $a$  et  $a^\dagger$ .

## Couplage avec un champ magnétique statique $\vec{B}_0$

X-4

Il faut ajouter à l'hamiltonien  $H$  donné en (2.1)

$$H_S = - \sum_{\alpha} \gamma_{\alpha} \vec{S}_{\alpha} \cdot \vec{B}_0 \quad (2.24)$$

$H_S$  est d'ordre 1 en  $\gamma_{\alpha}$  et d'ordre 1 vis à vis des courants extérieurs créant  $\vec{B}_0$ .

Transformée de  $H_S$  par  $T = \exp(iF_S/\hbar)$

$$\begin{aligned} TH_S T^+ &= e^{iF_S/\hbar} H_S e^{-iF_S/\hbar} \\ &= H_S + \left[ \frac{iF_S}{\hbar}, H_S \right] + \frac{1}{2} \left[ \frac{iF_S}{\hbar}, \left[ \frac{iF_S}{\hbar}, H_S \right] \right] + \dots \end{aligned} \quad (2.25)$$

Terme  $\left[ \frac{iF_S}{\hbar}, H_S \right]$  D'après (2.11) et (2.24)

$$\begin{aligned} \left[ \frac{iF_S}{\hbar}, H_S \right] &= \frac{i}{\hbar} \sum_{\alpha} \sum_{\beta} \left[ \gamma_{\alpha} \vec{S}_{\alpha} \cdot (\vec{\nabla} \times \vec{Z}(\vec{r}_{\alpha})), -\gamma_{\beta} \vec{S}_{\beta} \cdot \vec{B}_0 \right] \\ &= -\frac{i}{\hbar} \sum_{\alpha} \sum_{\beta} \sum_i \sum_j \gamma_{\alpha} \gamma_{\beta} \underbrace{\left[ S_{\alpha i}, S_{\beta j} \right]}_{i \hbar \sum_k \epsilon_{ijk} \delta_{\alpha\beta} S_{\alpha k}} (\vec{\nabla} \times \vec{Z}(\vec{r}_{\alpha}))_i B_{0j} \\ &= \sum_{\alpha} \gamma_{\alpha}^2 (\vec{B}_0 \times \vec{S}_{\alpha}) \cdot (\vec{\nabla} \times \vec{Z}(\vec{r}_{\alpha})) \end{aligned} \quad (2.26)$$

Nouvel hamiltonien d'interaction à 1 photons (linéaire en  $a$  et  $a^+$ )

Manifestement lié à la précession des spins autour de  $\vec{B}_0$ .

Le spin ne peut rayonner et émettre de photons réels que parce qu'il tourne autour de  $\vec{B}_0$  et est donc accéléré.

Terme  $\frac{1}{2} \left[ \frac{iF_S}{\hbar}, \left[ \frac{iF_S}{\hbar}, H_S \right] \right]$  D'après (2.11) et (2.26),

$$\frac{1}{2} \left[ \frac{iF_S}{\hbar}, \left[ \frac{iF_S}{\hbar}, H_S \right] \right] = \frac{1}{2} \sum_{\alpha} \sum_{\beta} \frac{i \gamma_{\alpha}}{\hbar} \gamma_{\beta}^2 \left[ \vec{S}_{\alpha} \cdot \vec{\nabla} \times \vec{Z}(\vec{r}_{\alpha}), (\vec{B}_0 \times \vec{S}_{\beta}) \cdot (\vec{\nabla} \times \vec{Z}(\vec{r}_{\beta})) \right] \quad (2.27)$$

- Comme  $\vec{\nabla} \times \vec{Z}(\vec{r}_{\alpha})$  commute avec  $\vec{\nabla} \times \vec{Z}(\vec{r}_{\beta})$ , le commutateur (2.27) ne fait intervenir que les commutateurs entre  $\vec{S}_{\alpha}$  et  $\vec{S}_{\beta}$  qui sont nuls si  $\alpha \neq \beta$
- Contribution du spin  $\alpha$  à (2.27)

$$\frac{i \gamma_{\alpha}^3}{2\hbar} \left[ \vec{S}_{\alpha} \cdot \vec{\nabla} \times \vec{Z}(\vec{r}_{\alpha}), (\vec{B}_0 \times \vec{S}_{\alpha}) \cdot (\vec{\nabla} \times \vec{Z}(\vec{r}_{\alpha})) \right] \quad (2.28)$$

$$\begin{aligned} \left[ S_{\alpha i}, (\vec{B}_0 \times \vec{S}_{\alpha})_j \right] &= \sum_{kl} \epsilon_{jkl} B_{0k} [S_{\alpha i}, S_{\alpha l}] = i\hbar \sum_{kn} \epsilon_{jkn} \epsilon_{ilen} B_{0k} S_{\alpha n} \\ &= i\hbar \sum_{kn} [\delta_{jn} \delta_{ik} - \delta_{ij} \delta_{nk}] S_{\alpha n} B_{0k} = -i\hbar [\delta_{ij} \vec{S}_{\alpha} \cdot \vec{B}_0 - B_{0i} S_{\alpha j}] \end{aligned} \quad (2.29)$$

- Contribution du spin  $\alpha$  à (2.27)

$$\frac{\gamma_{\alpha}^3}{2} \sum_{ij} \left( \vec{\nabla} \times \vec{Z}(\vec{r}_{\alpha}) \right)_i \left( \vec{\nabla} \times \vec{Z}(\vec{r}_{\alpha}) \right)_j [\delta_{ij} \vec{S}_{\alpha} \cdot \vec{B}_0 - S_{\alpha j} B_{0i}] \quad (2.30)$$

- Valeur moyenne dans le vide de l'opérateur à 2 photons de (2.30)

$$\begin{aligned} & \langle 0 | (\vec{\nabla} \times \vec{E}(\vec{r}_\alpha))_i (\vec{\nabla} \times \vec{E}(\vec{r}_\alpha))_j | 0 \rangle = \\ & = \int d^3k d^3k' \frac{\hbar}{c^2} \frac{1}{2\varepsilon_0(2\pi)^3 \sqrt{\omega\omega'}} \sum_{\vec{E}} \sum_{\vec{E}'} (\vec{E}' \times \vec{E}')_i (\vec{E} \times \vec{E})_j \delta_{EE'} \delta(\vec{k} - \vec{k}') e^{i(\vec{k}' - \vec{k}).\vec{r}_\alpha} \\ & = \int d^3k \frac{\hbar}{2\varepsilon_0(2\pi)^3 c^2 \omega} \underbrace{\sum_{\vec{E}} (\vec{E} \times \vec{E})_i (\vec{E} \times \vec{E})_j}_{= \delta_{ij} - \frac{\vec{k}_i \vec{k}_j}{\vec{k}^2}} = \frac{\hbar k_m^3}{12\varepsilon_0 \pi^2 c^3} \delta_{ij} \quad (2.31) \end{aligned}$$

- Valeur moyenne dans le vide de (2.30)

$$\begin{aligned} & \frac{1}{2} \gamma_\alpha^3 \frac{\hbar k_m^2}{12\varepsilon_0 \pi^2 c^3} \sum_{ij} \delta_{ij} [\delta_{ij} \vec{S}_\alpha \cdot \vec{B}_0 - S_{\alpha j} B_{0i}] = \\ & = \frac{1}{2} \gamma_\alpha^3 \frac{\hbar k_m^2}{12\varepsilon_0 \pi^2 c^3} [3 \vec{S}_\alpha \cdot \vec{B}_0 - S_{\alpha 3} B_0] = \frac{\gamma_\alpha^3 \hbar k_m^2}{12\varepsilon_0 \pi^2 c^3} S_{\alpha 3} B_0 \quad (2.32) \end{aligned}$$

On a supposé  $\vec{B}_0$  parallèle à  $O_3$ .

- Combiné avec  $H_S = -\gamma_\alpha S_{\alpha 3} B_0$ , (2.32) donne

$$-\gamma_\alpha \left[ 1 - \frac{\gamma_\alpha^2 \hbar k_m^2}{12\varepsilon_0 \pi^2 c^3} \right] S_{\alpha 3} B_0 \quad (2.33)$$

Discussion physique : le terme corrigé dans le crochet de (2.33) représente une correction radiative à la fréquence de Larmor du spin  $\omega_L = -\gamma_\alpha B_0 = -g_\alpha \frac{q_\alpha}{2m_\alpha} B_0$

$$\omega_L \rightarrow \omega_L + \delta\omega_L \quad (2.34)$$

$$\frac{\delta\omega_L}{\omega_L} = - \frac{\gamma_\alpha^2 \hbar k_m^2}{12\varepsilon_0 \pi^2 c^3} = - \frac{g_\alpha^2}{4} \frac{q_\alpha^2 \hbar k_m^2}{12\varepsilon_0 m_\alpha^2 c^3 \pi^2} = - \frac{g_\alpha^2}{4} \frac{\alpha}{3\pi} \left( \frac{\hbar \omega_m}{m_\alpha c^2} \right)^2 \quad (2.35)$$

Modifications du moment magnétique de spins. Réduction de ce moment magnétique causée par la vibration angulaire du spin dans les fluctuations du vide

Remarque : Effet en  $(\hbar \omega_m / m_\alpha c^2)^2$ , donc plus petit que  $g_m^2 / m_\alpha$  (qui est en  $\hbar \omega_m / m_\alpha c^2$ ), donc plus petit que la variation de la fréquence cyclotron  $\omega_c = -q_\alpha B_0 / m_\alpha$  d'une particule de charge  $q_\alpha$  et de masse  $m_\alpha$  tournant dans un champ magnétique

Hamiltonien pour des particules non localisées avec spin (sans champ magnétique statique)

$$\begin{aligned} H = & \sum_\alpha \frac{1}{2m_\alpha} [\vec{p}_\alpha - q_\alpha \vec{A}_\perp(\vec{r}_\alpha)]^2 + \sum_\alpha E_{\text{coul}} + \sum_\alpha V_e(\vec{r}_\alpha) + H_R \\ & - \sum_\alpha g_\alpha \frac{q_\alpha}{2m_\alpha} \vec{S}_\alpha \cdot \vec{\nabla} \times \vec{A}_\perp(\vec{r}_\alpha) \quad (3.1) \end{aligned}$$

- Éléments nouveaux par rapport à l'hamiltonien du § 1

$\sum_{\alpha}$  dans la 1<sup>re</sup> ligne (plusieurs particules) - Terme d'interaction lié au spin dans la 2<sup>me</sup> ligne. Sera noté  $H_1^{SP}$

$$H_1^{SP} = - \sum_{\alpha} g_{\alpha} \frac{q_{\alpha}}{2m_{\alpha}} \vec{S}_{\alpha} \cdot \vec{\nabla} \times \vec{A}_{\perp}(\vec{r}_{\alpha}) \quad (3.2)$$

- $H = H_0 + H_1 + H_2$  (3.3)

$$H_0 = \sum_{\alpha} \frac{\vec{P}_{\alpha}^2}{2m_{\alpha}} + H_R \quad (3.4)$$

$$H_1 = H_1^{orb} + H_1^{SP} \quad (3.5)$$

$$H_1^{orb} = - \sum_{\alpha} q_{\alpha} \frac{\vec{P}_{\alpha}}{m_{\alpha}} \cdot \vec{A}_{\perp}(\vec{r}_{\alpha}) \quad (3.6)$$

$$H_2 = \sum_{\alpha} \frac{q_{\alpha}^2}{2m_{\alpha}} \vec{A}_{\perp}^2(\vec{r}_{\alpha}) + \sum_{\alpha} V_e(\vec{r}_{\alpha}) + \sum_{\alpha} \epsilon_{coul}^{\alpha} \quad (3.7)$$

Transformation unitaire  $T = e^{iF/\hbar}$

- Comme dans les paragraphes précédents,  $F$  doit satisfaire à

$$\left[ \frac{iF}{\hbar}, H_0 \right] + H_1 = 0 \quad (3.8)$$

pour que le nouvel hamiltonien  $THT^+$  ne contienne plus de terme d'interaction linéaire en  $q_{\alpha}$ .

- Comme  $H_1 = H_1^{orb} + H_1^{SP}$ , on peut choisir

$$F = F^{orb} + F^{SP} \quad (3.9)$$

et satisfaire (3.8) au moyen des 2 conditions

$$\left[ \frac{iF^{orb}}{\hbar}, H_0 \right] + H_1^{orb} = 0 \quad (3.10)$$

$$\left[ \frac{iF^{SP}}{\hbar}, H_0 \right] + H_1^{SP} = 0 \quad (3.11)$$

Nous connaissons déjà la solution de (3.10) qui s'écrit, à l'ordre le plus bas en  $P_{\alpha}/m_{\alpha}c$  (voir (1.24)) :

$$F^{orb} = \sum_{\alpha} \frac{q_{\alpha}}{m_{\alpha}} \vec{P}_{\alpha} \times \vec{Z}(\vec{r}_{\alpha}) \quad (3.12)$$

De même, (2.11) représente la solution de (3.11) à l'ordre le plus bas en  $P_{\alpha}/m_{\alpha}c$

$$F^{SP} = \sum_{\alpha} g_{\alpha} \frac{q_{\alpha}}{2m_{\alpha}} \vec{S}_{\alpha} \cdot \vec{\nabla} \times \vec{Z}(\vec{r}_{\alpha}) \quad (3.13)$$

Nouvel hamiltonien des particules

- Le nouvel hamiltonien à l'ordre 2 en  $q_{\alpha}$  est la somme de  $H_2$  et de

$$\frac{1}{2} \left[ \frac{iF}{\hbar}, H_1 \right] = \frac{i}{2\hbar} [F^{orb} + F^{SP}, H_1^{orb} + H_1^{SP}] \quad (3.14)$$

- Comme  $F^{orb}$  et  $F^{SP}$  sont, de même que  $H_1^{orb}$  et  $H_1^{SP}$ , des combinaisons linéaires de  $a$  et  $a^+$ , les commutateurs  $[a, a^+] = 1$  vont faire apparaître dans (3.14) un nouvel hamiltonien de particules

3 types de contributions apparaissent

1<sup>re</sup> contribution  $\frac{i}{2\hbar} [F^{\text{orb}}, H_1^{\text{orb}}] = \frac{i}{2\hbar} \sum_{\alpha} \sum_{\beta} [F_{\alpha}^{\text{orb}}, H_{1\beta}^{\text{orb}}]$  (3.15)

$\boxed{\alpha = \beta} \rightarrow$  Corrections d'énergie cinétique de la particule  $\alpha$  due à la correction de masse  $\delta m_{1\alpha}$  (voir § 1 précédent)

$$- \sum_{\alpha} \frac{\delta m_{1\alpha}}{m_{\alpha}} \frac{\vec{P}_{\alpha}^2}{2m_{\alpha}}$$
 (3.16)

$\boxed{\alpha \neq \beta} \rightarrow$  Interaction courant-courant étudiée dans le cours

$$- \sum_{\alpha < \beta} \frac{q_{\alpha} q_{\beta}}{8\pi\epsilon_0 m_{\alpha} m_{\beta} c^2} \left\{ \frac{\vec{P}_{\alpha} \cdot \vec{P}_{\beta}}{|\vec{r}_{\alpha} - \vec{r}_{\beta}|} + \frac{[\vec{P}_{\alpha} \cdot (\vec{r}_{\alpha} - \vec{r}_{\beta})][\vec{P}_{\beta} \cdot (\vec{r}_{\alpha} - \vec{r}_{\beta})]}{|\vec{r}_{\alpha} - \vec{r}_{\beta}|^3} \right\}$$
 (3.17)

2<sup>me</sup> contribution  $\frac{i}{2\hbar} [F^{\text{orb}}, H_1^{\text{SP}}] + \frac{i}{2\hbar} [F^{\text{SP}}, H_1^{\text{orb}}]$  (3.18)

Termes croisés spin-orbite

On trouve que les termes  $\alpha = \beta$  sont nuls. Les termes  $\alpha \neq \beta$  représentent l'interaction spin-autre orbite

Interaction spin  $\beta$ -orbite  $\alpha$

$$- \frac{g_{\alpha} g_{\beta}}{2m_{\beta} c^2} \vec{S}_{\beta} \cdot \vec{\nabla}_{\beta} \times \left\{ \frac{1}{8\pi\epsilon_0} \left[ \frac{\vec{P}_{\alpha}}{m_{\alpha}} \frac{q_{\alpha}}{|\vec{r}_{\alpha} - \vec{r}_{\beta}|} + \frac{q_{\alpha}}{|\vec{r}_{\alpha} - \vec{r}_{\beta}|} \left( \frac{\vec{P}_{\alpha}}{m_{\alpha}} \right) \right] \right\}$$
 (3.19)

3<sup>me</sup> contribution  $\frac{i}{2\hbar} [F^{\text{SP}}, H_1^{\text{SP}}] = \frac{i}{2\hbar} \sum_{\alpha} \sum_{\beta} [F_{\alpha}^{\text{SP}}, H_{1\beta}^{\text{SP}}]$  (3.20)

$\boxed{\alpha = \beta} \rightarrow$  Energie propre de spins calculée plus haut (voir (2.22))

$\boxed{\alpha \neq \beta} \rightarrow$  Interaction dipôle-dipôle + interaction de contact de Fermi calculées plus haut (voir (2.19))

### Cohérence du calcul en $1/C$

- Les termes obtenus en (3.16), (3.17), (3.19), (2.22), (2.19) sont en  $1/C^2$ . Comme les expressions de  $F^{\text{orb}}$  et  $F^{\text{SP}}$  utilisées pour obtenir ces résultats sont elles d'ordre le plus bas en  $1/C$ , de tels résultats ne sont pas modifiés par les corrections relativistes en  $1/C^2$  à  $H_0$  et  $H_1$ .

Les expressions (3.16), (3.17), (3.19), (2.22), (2.19) sont donc correctes

- Par contre, au même ordre en  $1/C^2$ , il faut ajouter à ces termes les corrections relativistes en  $1/C^2$  aux hamiltoniens des particules qui figurent dans  $H_0$  et  $H_2$ . Ce sont :

(i) La correction masse-vitesse  $- \sum_{\alpha} \frac{\vec{P}_{\alpha}^4}{8m_{\alpha}^3 c^2}$  (3.21)

(ii) Le terme de Darwin  $\sum_{\alpha} \frac{\hbar^2}{8m_{\alpha}^2 c^2} \Delta V_e(\vec{r}_{\alpha})$  (3.22)

(iii) le couplage spin-orbite de chaque particule

$$\sum_{\alpha} \frac{g_{\alpha} - 1}{2m_{\alpha} c^2} \vec{S}_{\alpha} \cdot \left[ (\vec{\nabla}_{\alpha} V_e(\vec{r}_{\alpha})) \times \frac{\vec{P}_{\alpha}}{m_{\alpha}} \right]$$
 (3.23)